

ISMAEL EMÍLIO DE OLIVEIRA JÚNIOR

MODELAGEM DO FUNCIONAMENTO DE UM SISTEMA
DE JATOS DE GÁS FRIO PARA CONTROLE DE
ATTITUDE DE SATÉLITES

Dissertação

~~Tese~~ apresentada à Escola Politécnica
da Usp para obtenção do Título de
Mestre em Engenharia

São Paulo, 1987

Biblioteca da Escola Politécnica
São Paulo

FD-741

FD-741

DEDALUS - Acervo - EPBC



31200028360

01

RESUMO

Neste trabalho apresenta-se um modelo para sistemas de jatos de gás frio que são empregados no controle de atitude de satélites. Este modelo inclui os períodos transitórios de ligamento e desligamento, nos quais a maior influência é exercida pela válvula de controle. Devido a isto, esta válvula é estudada em detalhe, sendo feita uma análise eletromagnética de sua atuação. A partir do modelo desenvolvido obtêm-se gráficos das principais grandezas relativas à válvula de controle e do empuxo produzido por um dos micromotores do sistema. Depois disto é feita a simulação de manobras de dessaturação de rodas de reação e de alteração de atitude do satélite.

ABSTRACT

In this work it is presented a model for cold gas jet systems which provide the attitude control for satellites. This model includes the on and off transient periods, in which the control valve exerts the major influence. Due to that, this valve is studied in detail, with an electromagnetic analysis of its actuation. From the model, one gets graphics of the main parameters related to the control valve and of the thrust produced by one of the micromotors of the system. Afterwards, one makes the simulation of reaction wheel desaturation and attitude changing manoeuvres.

Faint, illegible text at the top of the page, possibly a header or introductory paragraph.

Second block of faint, illegible text in the middle of the page.

Third block of faint, illegible text at the bottom of the page.

Agradecimentos

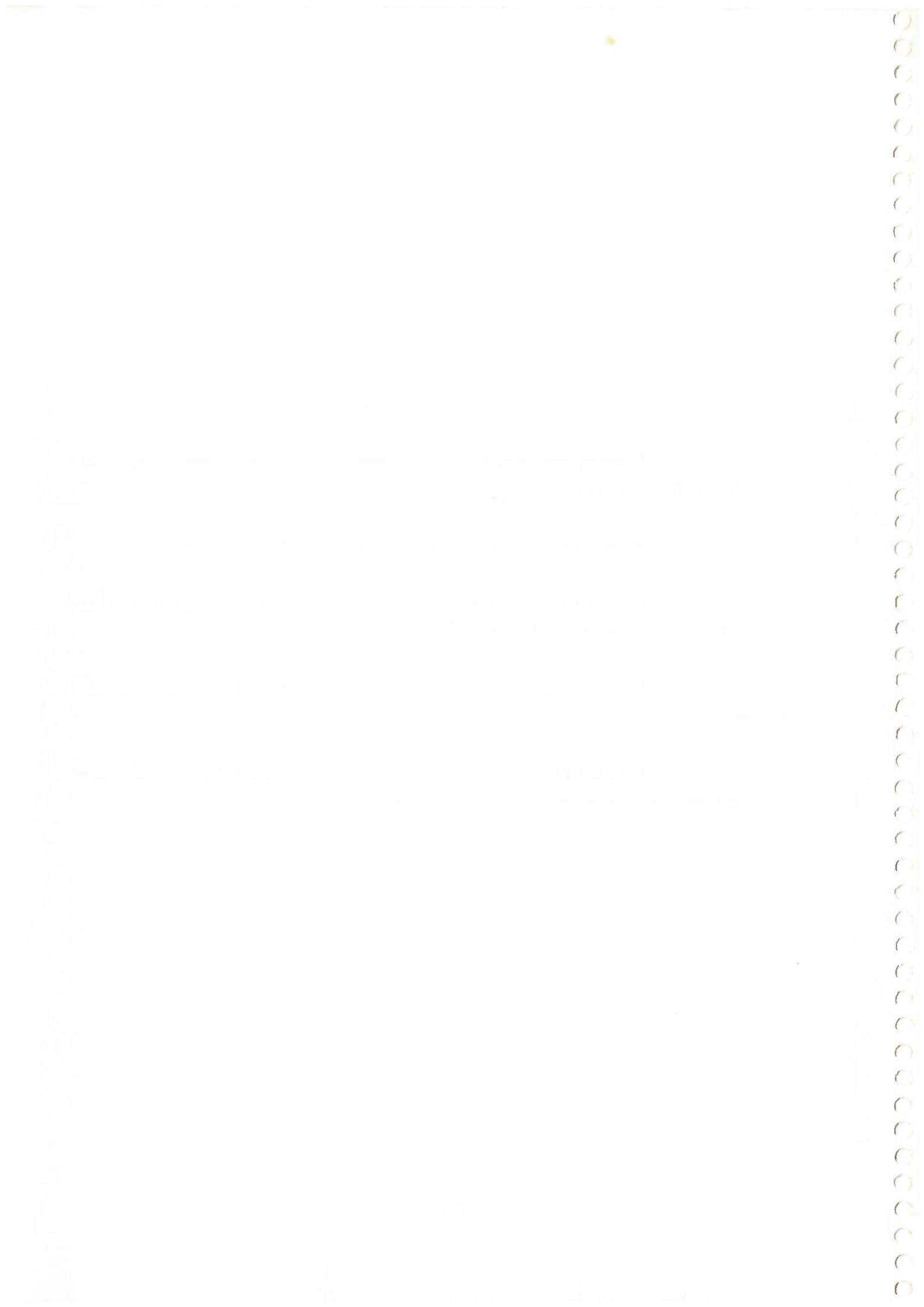
À minha Bete pelo apoio constante e pela compreensão nas minhas horas de ausência.

A meus pais por me haverem permitido chegar aonde estou.

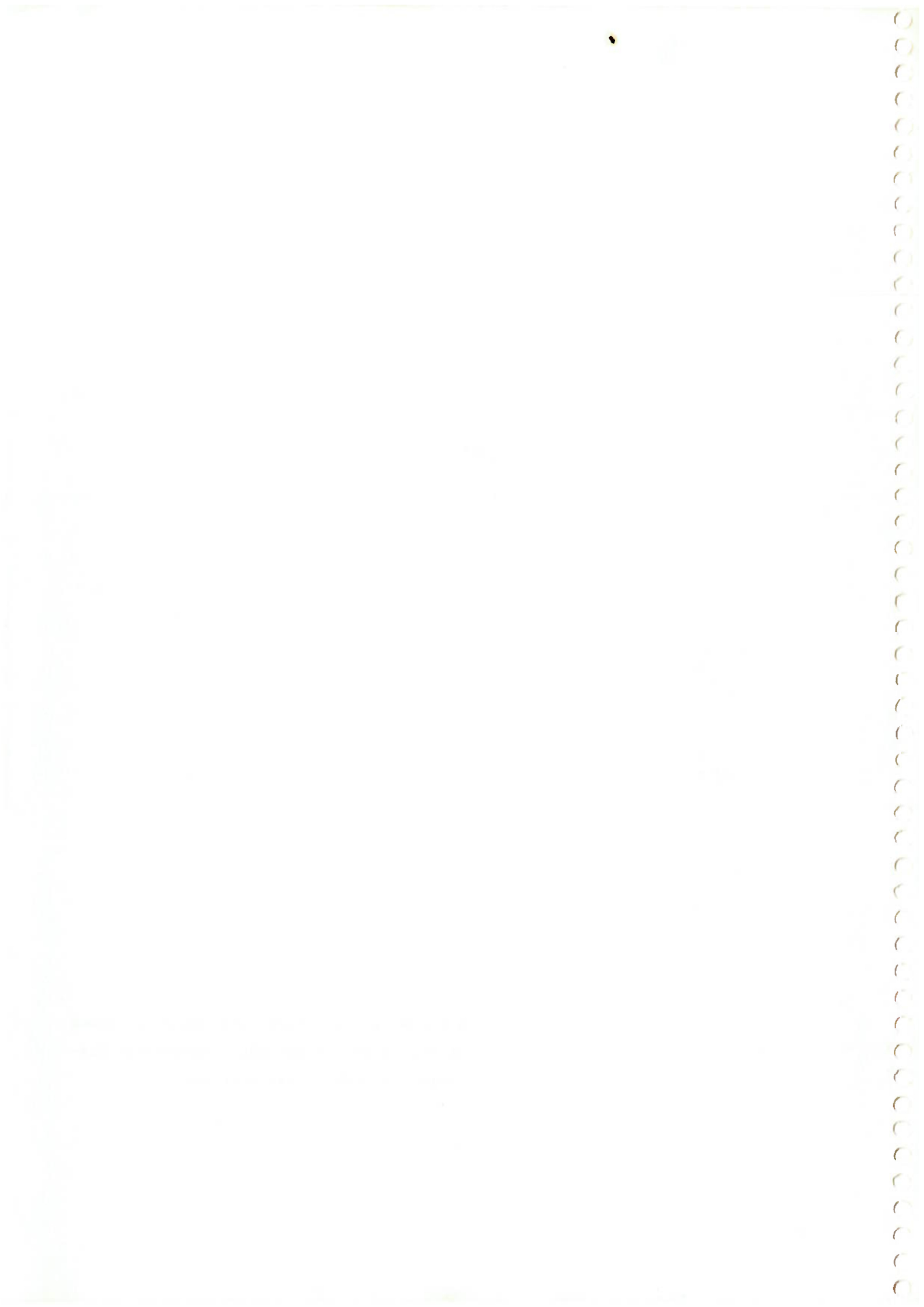
Ao meu orientador Otávio de Mattos Silves pelo auxílio prestado no decorrer de todo o trabalho.

Ao meu amigo Eduardo Augusto Gomes Pereira pela ajuda fundamental.

A todos os demais que, direta ou indiretamente, colaboraram para que este trabalho se tornasse realidade.



A todos os que creem que para o Homem
atingir a felicidade não é necessário des-
truir a si mesmo, nem a natureza.



SUMÁRIO

	pág.
<u>LISTA DE FIGURAS</u>	xi
<u>LISTA DE TABELAS</u>	xiii
<u>LISTA DE SÍMBOLOS</u>	xv
<u>CAPÍTULO I - INTRODUÇÃO</u>	1
<u>CAPÍTULO II - MODELAGEM DO REGIME PERMANENTE</u>	7
II.1 - Equacionamento do Escoamento na Tubulação.....	9
II.2 - Equacionamento do Escoamento no Bocal.....	13
<u>CAPÍTULO III - MODELAGEM DO REGIME TRANSITÓRIO</u>	19
III.1 - Modelo Termodinâmico da Válvula de Controle.....	21
III.2 - Cálculo da Força Magnética.....	24
III.2.1 - Equacionamento da Energia Magnética.....	28
III.2.2 - Equacionamento das Relutâncias no Circuito Magnético.....	32
III.2.3 - Equacionamento da Corrente no Solenóide.....	38
III.2.4 - Forma Final para a Força Magnética.....	47
III.3 - Cálculo das Demais Forças.....	47
III.3.1 - Forças Resistivas.....	47
III.3.2 - Força da Mola.....	48
<u>CAPÍTULO IV - MODELAGEM DAS MANOBRAS</u>	49
IV.1 - Dessaturação de Rodas de Reação.....	49
IV.2 - Alteração de Atitude.....	60
<u>CAPÍTULO V - RESOLUÇÃO DE EXEMPLOS</u>	71
V.1 - Métodos Numéricos Empregados.....	71
V.1.1 - Ajuste de Curvas.....	71
V.1.2 - Localização de Zeros de Funções.....	73
V.1.2.1 - Método de Newton-Raphson.....	73

	pág
V.1.2.2 - Método "Regula Falsi".....	76
V.1.3 - Solução de Sistema de Equações Diferenciais.....	77
V.1.3.1 - Método de Runge-Kutta.....	78
V.1.3.2 - Método Preditor-Corretor.....	79
V.2 - Seqüência de Resolução.....	81
V.2.1 - Regime Permanente.....	81
V.2.2 - Regime Transitório.....	83
V.3 - Exemplos.....	88
CAPÍTULO VI - <u>CONCLUSÕES E SUGESTÕES</u>	111
<u>BIBLIOGRAFIA</u>	115
APÊNDICE A - <u>CÁLCULO DAS ÁREA MÉDIAS NO CIRCUITO MAGNÉTICO</u>	
APÊNDICE B - <u>INTEGRAÇÃO DAS EQUAÇÕES DIFERENCIAIS QUE REGEM O ESCOAMENTO DE FANNO</u>	
APÊNDICE C - <u>LISTAGENS DE COMPUTADOR</u>	

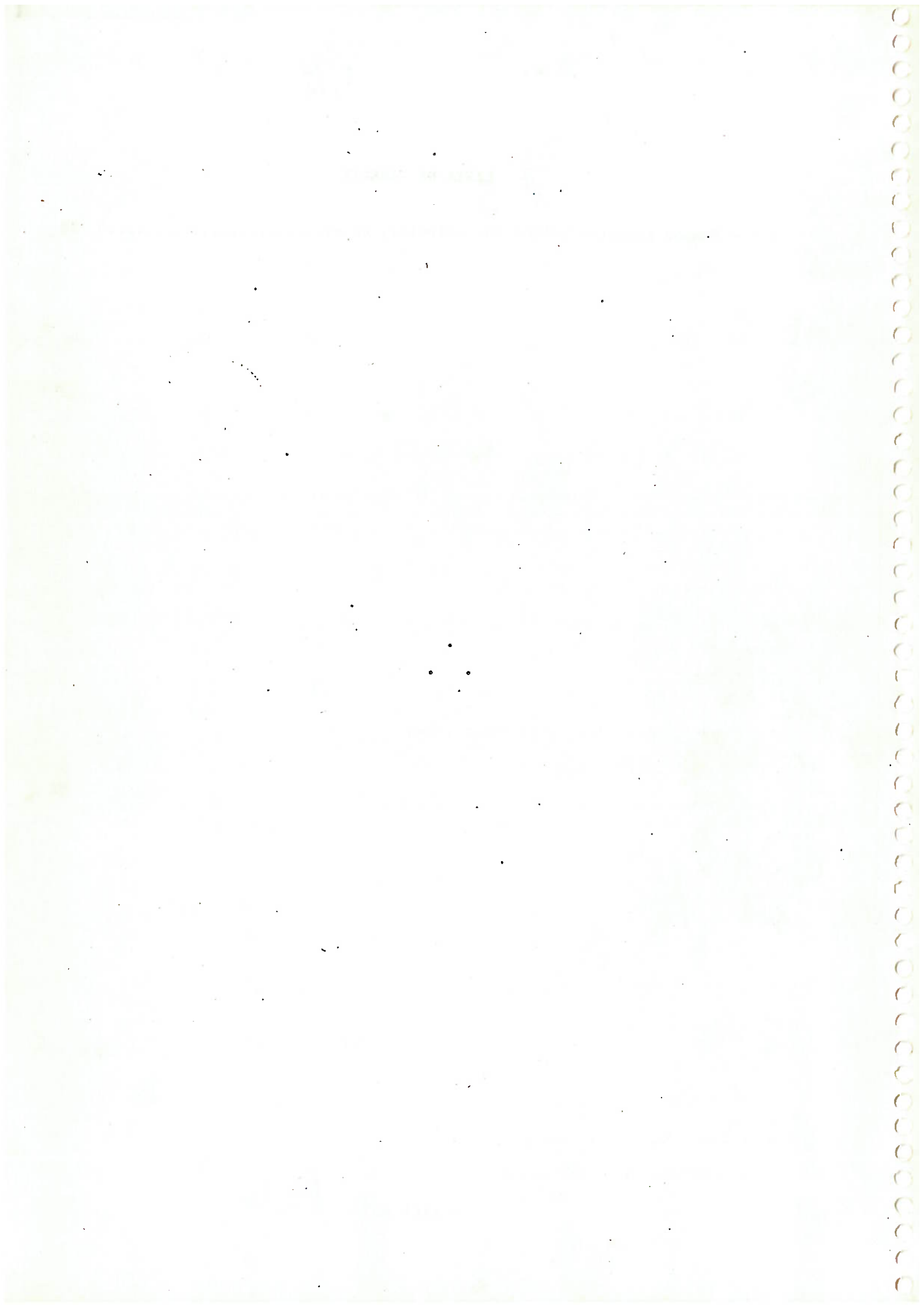
LISTA DE FIGURAS

I.1	- Esquema dos micromotores no satélite.....	3
II.1	- Esquema do sistema de controle de atitude do satélite por jatos de gás frio.....	7
II.2	- Esquema de um bocal tipo 'De Laval'.....	13
III.1	- Esquema da válvula de controle.....	20
III.2	- Válvula de controle:	
	a) esquema das principais secções;	
	b) modelo adotado.....	22
III.3	- Referencial de deslocamento e caminho percorrido pelo fluxo magnético.....	25
III.4	- Circuito elétrico equivalente ao circuito magnético.....	26
III.5	- Gráficos $B \times H$ e $\mu_r \times B$ para o aço 1030.....	29
III.6	- Gráficos $B \times H$ e $\mu_r \times B$ para o aço 430.....	30
III.7	- Gráficos $B \times H$ e $\mu_r \times B$ para a liga MAG PERM IPT-49.....	30
III.8	- Esquema do circuito elétrico da válvula.....	38
IV.1	- Evolução do empuxo dos micromotores.....	50
IV.2	- Aceleração, velocidade e posição angulares do satélite durante a dessaturação de uma roda de reação.....	52
IV.3	- Empuxo de dois micromotores opostos durante uma alteração de atitude.....	60
IV.4	- Aceleração, velocidade e posição angulares do satélite durante uma alteração de atitude.....	62
V.1	- Interpretação gráfica do método de Newton-Raphson.....	74
V.2	- Interpretação gráfica do método "Regula Falsi".....	76
V.3	- Gráficos para a válvula V1 e empuxo de um micromotor.....	95
V.4	- Gráficos para a válvula V2 e empuxo de um micromotor.....	96
V.5	- Velocidade da roda de reação durante sua dessaturação - Exemplo 1.....	100
V.6	- Posição angular do satélite durante a dessaturação da roda de reação - Exemplo 1.....	101

V.7	- Velocidade angular do satélite durante a dessaturação da roda de reação - Exemplo 1.....	101
V.8	- Posição angular do satélite durante a alteração da atitude - Exemplo 2.....	103
V.9	- Velocidade angular do satélite durante a alteração de atitude - Exemplo 2.....	103
V.10	- Velocidade angular da roda de reação durante sua dessaturação - Exemplo 3.....	105
V.11	- Posição angular do satélite durante a dessaturação da roda de reação - Exemplo 3.....	106
V.12	- Velocidade angular do satélite durante a dessaturação da roda de reação - Exemplo 3.....	106
V.13	- Posição angular do satélite durante a alteração de atitude - Exemplo 4.....	108
V.14	- Velocidade angular do satélite durante a alteração de atitude - Exemplo 4.....	108
A.1	- Caminho do fluxo magnético na válvula.....	115

LISTA DE TABELAS

V.1 - Tempos característicos das válvulas, em ms..... 98



LÍSTA DE SÍMBOLOS

- A - Área, m^2 ;
- A_e - Área da secção e do bocal, m^2 ;
- A_t - Área da tubulação, m^2 ;
- B - Densidade de fluxo magnético, T ;
- C - Custo de uma manobra de alteração de atitude, cruzados ;
- c - Velocidade do som, m/s ;
- C_g - Custo do gás empregado na manobra de alteração de atitude, cruzados ;
- c_p - Calor específico, J/(kg.K) ;
- C_t - Custo do tempo de duração de uma manobra de alteração de atitude, cruzados ;
- D_t - Diâmetro da tubulação, m ;
- D_v - Diâmetro mínimo de passagem do gás na válvula de controle, m ;
- D_1, D_2, D_3, D_4 - Diâmetros na válvula de controle, m ;
- e_1, e_2, e_3, e_4, e_c - Espessuras na válvula de controle, m ;
- f - Coeficiente de atrito na tubulação ;
- F_e - Empuxo do micromotor, N ;
- F_{erp} - Empuxo de um micromotor em regime permanente, N ;
- F_m - Força magnética, N ;
- FMM - Força magnetomotriz, A ;
- F_{mo} - Força da mola, N ;
- F_p - Força de pressão, N ;
- F_r - Força de resistência, N ;
- G_1 - Variável auxiliar ;
- G_2 - Variável auxiliar, H^{-1} ;
- G_3 - Variável auxiliar, H ;
- H - Campo magnético, A/m ;
- h - Comprimento da bobina, m ;

- h_{ev} - Entalpia específica do gás na entrada da válvula de controle, J/kg ;
 h_{sr} - Entalpia específica do gás na saída do reservatório, J/kg ;
 I - Corrente no solenóide, A ;
 INT_1 - Integral do empuxo em relação ao tempo durante o transitório de abertura, N.s ;
 INT_2 - Integral do empuxo em relação ao tempo durante o transitório de fechamento, N.s ;
 INT_{12} - Integral segunda do empuxo em relação ao tempo durante o transitório de abertura, N.s² ;
 INT_{22} - Integral segunda do empuxo em relação ao tempo durante o transitório de fechamento, N.s² ;
 I_r - Momento de inércia da roda de reação em relação ao seu eixo de rotação, kg.m² ;
 I_s - Momento de inércia do satélite em relação ao eixo considerado, kg.m² ;
 k - Relação entre os calores específicos do gás, $k = c_p/c_v$;
 K_g, K_t - Constantes de proporcionalidade do custo da manobra, cruzados/s ;
 K_{g1} - Constante de proporcionalidade do custo do gás, cruzados/kg ;
 k_m - Constante da mola, N/m ;
 K_m, K_{61} - Constantes geométricas da válvula de controle, m⁻¹ ;
 L_t - Comprimento equivalente da tubulação, m ;
 L - Comprimento, m ;
 L_c - Indutância do circuito magnético, H ;
 M - Número de Mach, $M = v/c$;
 \dot{m} - Vazão em massa do gás, kg/s ;
 m_c - Massa do cursor, kg ;
 m_g - Massa de gás expelida em uma manobra, kg ;
 N_b - Número de micromotores atuantes em cada sentido de cada eixo ;
 N_e - Número de espiras do solenóide ;
 p - Pressão, Pa ;
 p_{at} - Pressão ambiente ou atmosférica, Pa ;

Q - Variável auxiliar ;
 R - Relutância, H^{-1} ;
 R_e - Relutância do entreferro, H^{-1} ;
 R_g - Constante do gás, $J/(kg.K)$;
 R_p - Relutância equivalente no trecho 6-1, H^{-1} ;
 R_s - Raio de fixação dos micromotores, m ;
 R_{12} a R_{81} - Relutância do trecho considerado, H^{-1} ;
 S - Área da secção transversal, m^2 ;
 SCA - Significa Sistema de Controle de Atitude ;
 S_{e1} , S_{e2} - Áreas transversais ao entreferro, m^2 ;
 t - Tempo, s ;
 T - Temperatura, K ;
 t_{dr} - Tempo de dessaturação da roda de reação, s ;
 T_e - Temperatura na secção e do bocal, K ;
 T_r - Torque fornecido pela roda de reação, N.m ;
 t_0 , t_1 , t_2 , t_3 , t_4 , t_5 - Tempos característicos da válvula de controle, s ;
 U - Tensão aplicada no solenóide, V ;
 v - Velocidade, m/s ;
 VC - Significa válvula de controle ;
 VR - Significa válvula reguladora de pressão ;
 W - Energia, J ;
 w - Energia por unidade de volume, J/m^3 ;
 x - Distância, m ;
 x_0 - Deslocamento inicial da mola, m ;
 Z - Resistência do solenóide, Ω ;
 z - Comprimento do entreferro, m ;
 α , α_1 , α_2 , α_3 - Acelerações angulares do satélite, s^{-2} ;

Δt_{d1} - Tempo entre o desacionamento dos motores de um sentido e o acionamento dos motores opostos, s ;

Δt_s - Tempo entre o acionamento e o desligamento da VC, s ;

ζ_v - Coeficiente de pressão da VC ;

η_b - Rendimento do bocal ;

θ - Semi-ângulo do divergente do bocal, graus ;

λ - Fator de empuxo do bocal, $\lambda = (1 + \cos \theta)/2$;

μ - Permeabilidade magnética, H/m ;

μ_r - Permeabilidade magnética relativa, $\mu_r = \mu/\mu_0$;

ρ - Massa específica do gás, kg/m³ ;

$\Phi, \Phi_1, \Phi_2, \Phi_3$ - Posições angulares do satélite, graus ;

Φ_d - Ângulo da manobra de alteração de atitude, graus ;

Ψ - Fluxo magnético, Wb ;

ω - Velocidade angular, s⁻¹ ;

ω_r - Velocidade angular da roda de reação, s⁻¹ ;

ω_{ri} - Velocidade angular inicial da roda, s⁻¹ ;

ω_{rf} - Velocidade angular final da roda, s⁻¹ ;

$\omega_1, \omega_2, \omega_3$ - Velocidades angulares do satélite, s⁻¹ ;

Índices Inferiores

a - Referente à secção a da VC ;

b - Referente à secção b da VC ;

c - Referente à secção c da VC ;

e - Referente ao entreferro ;

eq - Significa equivalente ;

ev - Referente à entrada da VR ;

g - Referente à garganta do bocal ;

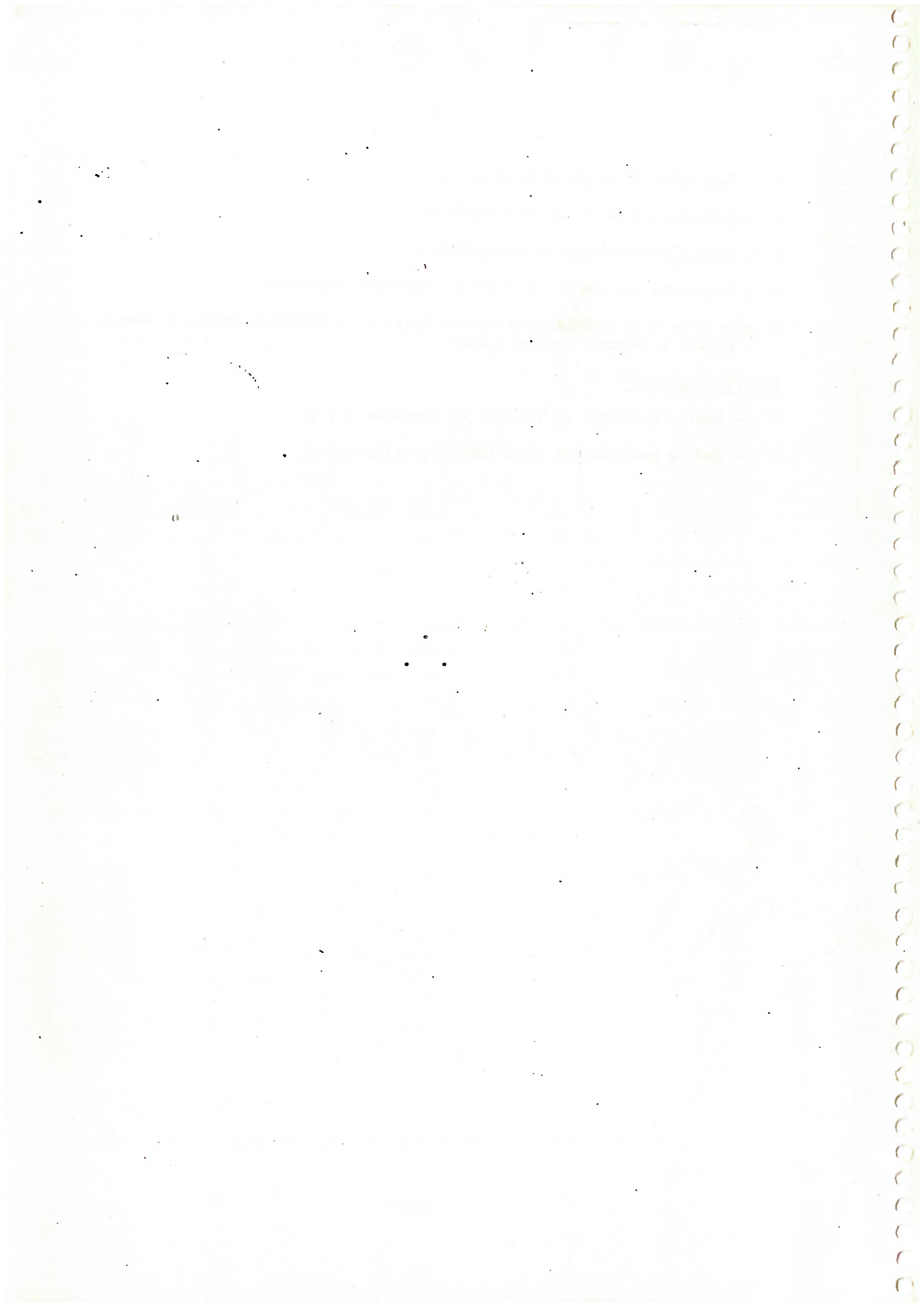
i - Referente ao isolante ;

m - Referente ao caminho 1-6 no circuito magnético ;

- s - Referente à secção s do bocal ;
- sr - Referente à saída do reservatório ;
- o - Indica propriedade de estagnação ;
- 61 - Referente ao caminho 6-7-8-1 no circuito magnético ;
- 01 a 51 e 02 a 52 - Colocados após a letra t: o primeiro indica o número do pulso; o segundo indica a fase.

Índices Especiais

- ($\dot{\quad}$) - Indica derivada em relação ao tempo de () ;
- ($\bar{\quad}$) - Indica propriedade real (não-isoentrópica) ;



CAPÍTULO I

INTRODUÇÃO

Na época atual, os satélites já fazem parte de nosso dia-a-dia e seus lançamentos já não causam surpresa nem chamam mais a atenção como faziam nos fins da década de 50.

Os satélites estão presentes mesmo em nossas atividades cotidianas, como, por exemplo, ao assistirmos a uma partida de futebol realizada na Europa, cuja recepção não seria possível sem um satélite para retransmissão das imagens. Também para se fazer a previsão de uma safra agrícola, ou o estudo das matas da Amazônia, ou mesmo uma análise da seca do Nordeste, em todos estes casos estão envolvidos satélites.

O que os satélites fazem, na verdade, é coletar algum tipo de informação em algum lugar e retransmiti-la a alguma estação de recepção. A informação coletada pode ser o conjunto das imagens de uma partida de futebol, as imagens de uma determinada região obtidas pelo próprio satélite, ou uma grande variedade de possibilidades.

Em qualquer dos casos, tanto a recepção quanto a retransmissão dos dados requerem um posicionamento do satélite bastante preciso, de forma a maximizar os sinais. Este posicionamento refere-se não apenas à órbita do satélite e à sua localização nesta órbita, mas também à sua orientação no espaço, ou atitude.

A precisão de apontamento do satélite, ou precisão em atitude, depende da missão a que ele se destina. Como exemplos de precisões típicas (Wertz, 1978), podem ser citados os seguintes satélites:

- Synphonie, França, 1974; missão de telecomunicações; precisão requerida: 1° ;
- Landsat C, EUA, 1977; missão de sensoriamento remoto; precisão requerida: $0,7^\circ$;

- Landsat D, EUA, 1981; missão de sensoriamento remoto; precisão requerida: $0,01^\circ$;
- ST, EUA, 1983; missão de observação de corpos celestes com telescópio transportado a bordo; precisão requerida: 0,1 segundos de arco ($\approx 2,8 \cdot 10^{-5}$ graus).

Há vários tipos de perturbações que tendem a alterar a órbita e a atitude de um satélite, tais como o arrasto aerodinâmico, a pressão de radiação solar, ou o gradiente de gravidade, entre outros. Além destes fatores, os próprios movimentos de rotação e translação da Terra provocam alterações naqueles parâmetros.

Para compensar estes efeitos sobre sua atitude, o satélite é equipado com um sistema de controle de atitude (SCA) que visa deixá-lo dentro de uma determinada faixa de apontamento em relação aos pontos de interesse. Existe atualmente uma grande variedade destes sistemas, que se baseiam em princípios e conceitos diferentes.

Basicamente, os sistemas de controle de atitude podem ser de dois tipos: os passivos e os ativos.

Os sistemas passivos são aqueles que continuamente forçam o satélite a tender para um posicionamento estável, fazendo com que o meio aja sobre o satélite, sem necessidade de atuação e sem consumo de energia ou massa de propelente do satélite. São os sistemas mais baratos, mas, em contrapartida, a precisão obtida não é grande e o tempo de resposta é bastante elevado, podendo variar desde cerca de 1 segundo até algumas centenas de segundos. Como exemplo deste tipo de atuadores podem ser citados os mastros para utilização do gradiente de gravidade e as barras magnéticas que interagem com o campo magnético terrestre.

Os sistemas ativos, como o próprio nome diz, são os que provocam uma atuação do satélite sobre o meio. Estes sistemas atuam somente se solicitados e consomem energia ou massa de propelente do satélite. São mais caros que os passivos, mas possibilitam precisões extremamente grandes, com tempos de resposta de alguns milissegundos.

Entre os sistemas ativos, dois grupos podem ser destacados: 1) o dos sistemas que não alteram a energia e a quantidade de movimento angular do satélite; 2) o dos que modificam estas grandezas.

Um exemplo de atuador do primeiro grupo é a roda de reação. Esta roda possui um eixo perpendicular ao seu plano, passando por seu centro, e pode ser acelerada em ambos os sentidos por meio de um sistema de controle. Quando o satélite sofre um desvio em torno deste eixo, a roda é acionada de forma a acelerar-se no mesmo sentido do desvio do satélite. Por reação, ela faz o satélite acelerar-se no sentido contrário. Controlando adequadamente os movimentos da roda, é possível corrigir o erro do satélite.

Um exemplo de atuador do segundo grupo é o dos jatos de gás. A Figura I.1 mostra o esquema de fixação dos micromotores no satélite, para um de seus eixos principais de inércia.

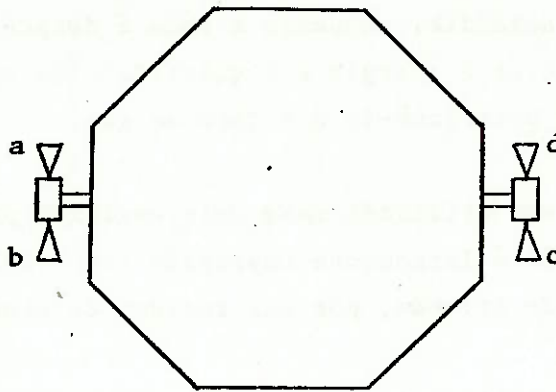


Fig. I.1 - Esquema dos micromotores no satélite.

Observe-se que só foram representados dois motores para cada sentido de rotação. Na verdade, este número é o mínimo para que se tenha um binário, podendo haver qualquer quantidade, desde que o número de motores atuantes em um sentido seja igual ao dos motores que atuam no sentido contrário.

Outro fato que deve ser mencionado é a representação de apenas um eixo de rotação. Admite-se que os outros eixos sejam análogos a este e que manobras mais complexas possam ser decompostas em rotações ao redor

dos eixos de referência.

Como se pode constatar da figura, ao serem acionados simultaneamente os motores a e c, eles produzem momentos no sentido anti-horário, da mesma forma que os motores b e d produzem momentos no sentido horário.

Verifica-se que um satélite não pode ser equipado somente com sistemas do grupo 1. Para explicar esta afirmação, imagine-se um satélite que só conte com rodas de reação para o seu controle de atitude. Se o satélite for submetido a perturbações que tenham efeito acumulativo (torque aerodinâmico, por exemplo) sobre um eixo, a roda que atua neste eixo poderá fazer a compensação destes efeitos somente até certo ponto, pois sua velocidade não pode ultrapassar um certo limite. Este limite é determinado sobretudo pela resistência estrutural da massa girante e pelos seus mancais. Atingida esta velocidade limite, diz-se que a roda está saturada. Neste ponto há necessidade de dessaturar a roda, ou seja, trazer sua velocidade a valores próximos de zero. Para efetuar esta operação é preciso que haja um sistema que 'segure' o satélite, enquanto a roda é desacelerada. Em outras palavras, é preciso alterar a energia e a quantidade de movimento angular do satélite. O melhor meio para fazê-lo é o jato de gás.

Além de ser utilizado como meio auxiliar para outros sistemas, o jato de gás também é largamente empregado como meio principal para aquisição ou alteração de atitude, por sua rapidez de atuação.

Os maiores inconvenientes deste tipo de sistema são a falta de precisão no apontamento e a necessidade de se ter embarcada uma determinada massa de propelente. Esta última restrição vincula a vida útil do sistema e, conseqüentemente, do satélite, à quantidade de propelente que, por isto mesmo, deve ser muito bem dimensionada.

Os sistemas de jatos de gás podem ser de gás frio ou quente. Ao contrário do que possa parecer, estes nomes não estão relacionados à temperatura do gás, mas, sim, ao fato de existir ou não uma reação química para produzi-lo.

Sistemas de jatos de gás quente frequentemente empregam hidrazina (N_2H_4), que é um líquido com aparência e propriedades físicas muito parecidas com as da água. Este líquido decompõe-se na presença de catalisadores, fornecendo, como produto principal, o gás nitrogênio (N_2).

Os sistemas de jatos de gás frio, por sua vez, armazenam o próprio gás que será empregado, por exemplo, nitrogênio, argônio ou outros. Este gás é armazenado sob pressão e é utilizado até que a pressão no reservatório caia ao ponto de não produzir atuação dos motores, quando o sistema pára de atuar.

As principais vantagens dos sistemas de jatos de gás quente sobre os de gás frio são possibilitar empuxos mais elevados e permitir reservatórios mais leves. Esta última característica se deve ao fato de o líquido ser armazenado a pressões muito inferiores às empregadas nos reservatórios de gás para os sistemas de gás frio. Em compensação, suas principais desvantagens são (Wertz, 1978): durante os primeiros segundos de atuação o empuxo fica abaixo do nominal, até que a reação química de catálise atinja seu regime permanente; o perfil do empuxo, ou sua dependência com o tempo, varia como função do tempo total de atuação. Estes problemas são críticos, sobretudo quando uma série longa de pulsos curtos é necessária.

Neste trabalho será feita a modelagem matemática dos jatos de gás frio a fim de que se possa prever seu desempenho. Esta previsão tem duas finalidades: torna-se possível programar com precisão o controle em um correção de atitude; pode-se fazer uma otimização dos parâmetros envolvidos, visando a um melhor desempenho ou um menor custo do sistema.

A modelagem feita leva em conta os períodos transitórios de ligamento e desligamento através do estudo detalhado da eletroválvula de controle, que é a componente que exerce maior influência nestes períodos. A importância de levar em conta estes transitórios é comprovada com a resolução de exemplos de manobras realizadas com este sistema.

O trabalho foi dividido em seis capítulos e três apêndices, de forma a facilitar a compreensão do leitor.

O Capítulo II mostra a modelagem do funcionamento do sistema em regime permanente, com base na teoria do escoamento compressível, de forma que, dadas as características do sistema em estudo, o modelo fornece o empuxo, o consumo de gás, etc.

No Capítulo III apresenta-se a modelagem dos transitórios de ligamento e desligamento dos atuadores. Para isto é feita uma análise eletromagnética da válvula de controle que, como já mencionado, é a principal responsável pelos atrasos do sistema. Obtêm-se, assim, em função do tempo, as curvas de abertura da válvula, do empuxo, da corrente no solenóide e da força magnética, além de outras curvas auxiliares.

Para uma avaliação do modelo final do sistema, desenvolve-se o equacionamento das manobras de dessaturação de uma roda de reação e de alteração de atitude. Isto está mostrado no Capítulo IV.

No Capítulo V são resolvidos exemplos de utilização do sistema de jatos de gás nas duas manobras mencionadas. Para isto, inicialmente apresenta-se a seqüência de resolução das equações, da forma como se programa para solução por computador. Também são descritos, de maneira sucinta, os métodos numéricos empregados.

O Capítulo VI traz as conclusões e os comentários concernentes ao trabalho, além de algumas sugestões para desenvolvimentos futuros.

Finalmente são incluídos, como complemento, três apêndices, que visam ajudar na compreensão do texto principal. O primeiro deles mostra o cálculo das áreas médias no circuito magnético da eletroválvula. O segundo mostra a integração das equações diferenciais do escoamento de Fanno e o terceiro apresenta as listagens dos programas de computador empregados.

CAPÍTULO II

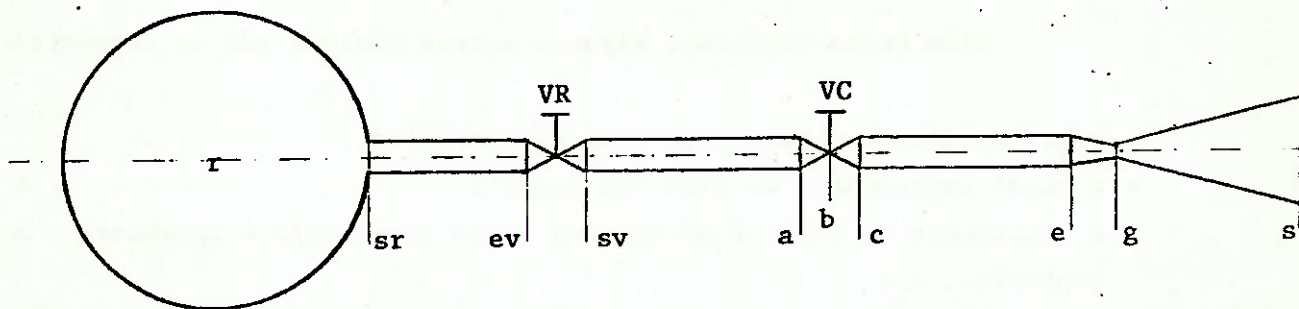
MODELAGEM DO REGIME PERMANENTE

O funcionamento do sistema de jatos de gás frio pode ser descrito como sendo composto de três fases: um período transitório de acionamento, um período de regime permanente e um outro período transitório, este de desligamento.

Durante os transitórios a válvula de controle passa de totalmente aberta a totalmente fechada, e vice-versa. Estes períodos serão estudados detalhadamente no Capítulo III.

Neste capítulo será analisado o desempenho do sistema durante o regime permanente.

A Figura II.1 esquematiza o Sistema de Controle de Atitude (SCA) do satélite.



- | | |
|--------------------------------------|-------------------------------------|
| r - reservatório ; | sr - saída do reservatório ; |
| VR - válvula reguladora de pressão ; | ev - entrada da VR ; |
| sv - saída da VR ; | VC - válvula de controle de fluxo ; |
| a - entrada da VC ; | b - menor área de passagem da VC ; |
| c - saída da VC ; | e - entrada do bocal ; |
| g - garganta do bocal ; | s - saída do bocal . |

Fig. II.1 - Esquema do Sistema de Controle de Atitude do Satélite por Jatos de Gás Frio.

A válvula reguladora de pressão tem a função de manter constante a pressão a juzante de si. Na realidade, esta válvula trabalha dentro de uma faixa, isto é, se a pressão desejada é p , a pressão real de saída estará entre $p-l_i$ e $p+l_s$, l_i sendo o limite inferior e l_s o superior de variação da pressão. Quando a pressão a juzante da válvula cai ao valor $p-l_i$ ela permite a entrada de gás em seu interior, até que a pressão na saída atinja o valor $p+l_s$, quando ela interrompe a entrada do gás. Após esta interrupção, a pressão na saída começa a cair até atingir $p-l_i$, quando, então, o ciclo reinicia-se. Verifica-se, portanto, que a pressão na saída da válvula não é realmente constante, mas oscila em torno de um valor médio. Quanto melhor a válvula, menores os valores l_i e l_s . Uma válvula ideal teria $l_i = l_s = 0$, o que faria com que a pressão a juzante dela fosse constante.

Neste estudo, será admitido que a válvula reguladora de pressão seja ideal. Entretanto, levando em conta os cálculos do regime transitório (ver Cap. III), durante o qual a velocidade do gás na saída da válvula varia, ao invés de considerar a pressão a juzante constante, é mais razoável admitir que a pressão de estagnação neste ponto seja constante.

Além desta hipótese, algumas outras básicas são as seguintes:

- o gás utilizado comporta-se como gás perfeito;
- o bocal empregado é do tipo 'De Laval';
- o escoamento no bocal é adiabático e seu rendimento é constante e conhecido, η_b ;
- a válvula de controle é adiabática e isoentálpica, tendo um coeficiente de pressão constante, ζ_v ;
- a válvula reguladora de pressão é adiabática e isoentálpica;
- todas as dimensões do sistema e de seus componentes necessárias aos cálculos são conhecidas;
- o escoamento entre os pontos 'c' e 'e' é isoentrópico;
- o escoamento entre as válvulas é isoentrópico;
- entre o reservatório e a válvula reguladora de pressão o escoamento é adiabático com atrito (escoamento de Fanno).

As três últimas hipóteses baseiam-se no fato de, normalmente,

ambas as válvulas e o bocal serem posicionados próximos, ficando distantes do reservatório.

No estudo do regime permanente, os dois aspectos mais importantes a serem analisados são o empuxo fornecido pelos bocais e o consumo de gás, pois eles definem o desempenho e a vida do sistema de controle de atitude.

O empuxo fornecido por um bocal é dado por:

$$F_e = \lambda \cdot \dot{m} \cdot v_s + (p_s - p_{at}) \cdot A_s \quad , \quad (II.1)$$

sendo:

- λ - fator de correção do empuxo do bocal;
- \dot{m} - vazão em massa do gás;
- v_s - velocidade do gás na área de saída (s) do bocal;
- p_s - pressão na secção 's';
- p_{at} - pressão ambiente ou atmosférica;
- A_s - área da secção de saída.

Como as dimensões do bocal são dadas, são conhecidos os valores de λ e A_s . Também considera-se dado o valor de p_{at} . Os demais fatores que comparecem nesta equação serão calculados nos próximos itens.

II.1 - Equacionamento do Escoamento na Tubulação

Durante uma atuação dos jatos de gás, pode-se calcular os valores da pressão, da temperatura ou de outra grandeza, na saída do reservatório ou na entrada da válvula reguladora de pressão. Neste caso deve-se analisar o escoamento do gás na tubulação.

Nos cálculos de escoamentos compressíveis, um adimensional de grande valia é o número de Mach, definido como a relação entre a velocidade do gás e a velocidade do som nas mesmas condições, isto é:

$$M = \frac{v}{c} \quad (II.2)$$

Como já mencionado, o escoamento entre o reservatório e a valvula reguladora de pressão é adiabático com atrito, ou escoamento de Fanno. As equações que regem este tipo de escoamento são (Shapiro, 1953):

$$\frac{dM^2}{M^2} = k.M^2 \cdot \frac{1 + \frac{k-1}{2}.M^2}{1 - M^2} \cdot f \cdot \frac{dx}{D_t}, \quad (II.3)$$

$$\frac{dp}{p} = -k.M^2 \cdot \frac{1 + (k-1).M^2}{2.(1 - M^2)} \cdot f \cdot \frac{dx}{D_t}, \quad (II.4)$$

$$\frac{d\rho}{\rho} = -\frac{k.M^2}{2.(1 - M^2)} \cdot f \cdot \frac{dx}{D_t}, \quad (II.5)$$

$$\frac{dv}{v} = \frac{k.M^2}{2.(1 - M^2)} \cdot f \cdot \frac{dx}{D_t}, \quad (II.6)$$

$$\frac{dT}{T} = -\frac{k.(k-1).M^4}{2.(1 - M^2)} \cdot f \cdot \frac{dx}{D_t}, \quad (II.7)$$

$$\frac{dp_o}{p_o} = \frac{d\rho_o}{\rho_o} = -\frac{k.M^2}{2} \cdot f \cdot \frac{dx}{D_t} \quad (II.8)$$

Nestas equações, dx é um incremento infinitesimal na distância ao longo da tubulação, cujo diâmetro é D_t . f é o fator de atrito que pode ser obtido facilmente de tabelas ou a partir do diagrama de Moody. Os símbolos p , T , ρ e v representam, respectivamente, a pressão, a temperatura, a densidade ou massa específica e a velocidade do gás. O índice 'o' representa propriedade de estagnação.

A integração destas equações fornece o valor das grandezas

envolvidas para cada ponto da tubulação, e pode ser encontrada no Apêndice B.

Note-se que este tipo de escoamento, por hipótese, só ocorre entre o reservatório e a válvula VR. Desta forma, segundo a Figura II.1, as equações integradas são aplicadas na saída 'sr' e na entrada da VR, secção 'ev'.

.As formas integradas das Equações II.3 a II.8 são (Oliveira Jr., 1985):

$$\frac{1}{M_{sr}^2} = \frac{1}{M_{ev}^2} + \frac{k+1}{2} \cdot \ln \frac{M_{sr}^2 \cdot [2+(k-1) \cdot M_{ev}^2]}{M_{ev}^2 \cdot [2+(k-1) \cdot M_{sr}^2]} = \frac{k \cdot f \cdot L_t}{D_t}, \quad (II.9)$$

$$\frac{P_{ev}}{P_{sr}} = \frac{M_{sr}}{M_{ev}} \cdot \left[\frac{2 + (k-1) \cdot M_{sr}^2}{2 + (k-1) \cdot M_{ev}^2} \right]^{1/2}, \quad (II.10)$$

$$\frac{\rho_{ev}}{\rho_{sr}} = \frac{M_{sr}}{M_{ev}} \cdot \left[\frac{2 + (k-1) \cdot M_{ev}^2}{2 + (k-1) \cdot M_{sr}^2} \right]^{1/2}, \quad (II.11)$$

$$\frac{v_{ev}}{v_{sr}} = \frac{M_{ev}}{M_{sr}} \cdot \left[\frac{2 + (k-1) \cdot M_{sr}^2}{2 + (k-1) \cdot M_{ev}^2} \right]^{1/2}, \quad (II.12)$$

$$\frac{T_{ev}}{T_{sr}} = \frac{2 + (k-1) \cdot M_{sr}^2}{2 + (k-1) \cdot M_{ev}^2}, \quad (II.13)$$

$$\frac{P_{0ev}}{P_{0sr}} = \frac{\rho_{0ev}}{\rho_{0sr}} = \frac{M_{ev}}{M_{sr}} \cdot \left[\frac{2 + (k-1) \cdot M_{sr}^2}{2 + (k-1) \cdot M_{ev}^2} \right]^{\frac{k}{k-1}}. \quad (II.14)$$

As equações acima foram integradas entre os pontos 'sr' e

'ev' (ver Figura II.1), por não haver grande interesse no valor destas grandezas em pontos intermediários da tubulação.

Como a válvula reguladora de pressão é isoentálpica, tem-se:

$$h_{ev} = h_{sv} \quad , \text{ ou}$$

$$h_{ev} - h_{sv} = 0 \quad .$$

Para um gás perfeito pode-se escrever:

$$c_p \cdot (T_{ev} - T_{sv}) = 0 \quad ,$$

onde c_p é o calor específico a pressão constante do gás. Desta relação deduz-se:

$$T_{ev} = T_{sv} \quad . \quad (II.15)$$

Por hipótese, o escoamento entre as válvulas é isoentrópico, o que permite concluir que as condições em 'a' são idênticas às de 'sv'.

Para a válvula de controle, a análise a ser feita é semelhante. Por hipótese, ela é isoentálpica, de onde se conclui:

$$T_a = T_c \quad . \quad (II.16)$$

A partir deste ponto, será introduzido o coeficiente de pressão da válvula, mas para isto, é necessário fazer a distinção entre as grandezas reais e as isoentrópicas. Isto será feito através da colocação de uma barra sobre as reais.

Levando em conta essa distinção, define-se o coeficiente de pressão da válvula de controle, que quantifica a perda de pressão nesta válvula, como:

$$\zeta_v = \frac{\overline{p_c}}{p_c} = \frac{\overline{p_{0c}}}{p_{0c}} \quad , \quad (II.17)$$

para a mesma velocidade em 'c'. Conforme já mencionado, o índice '0' indica propriedade de estagnação.

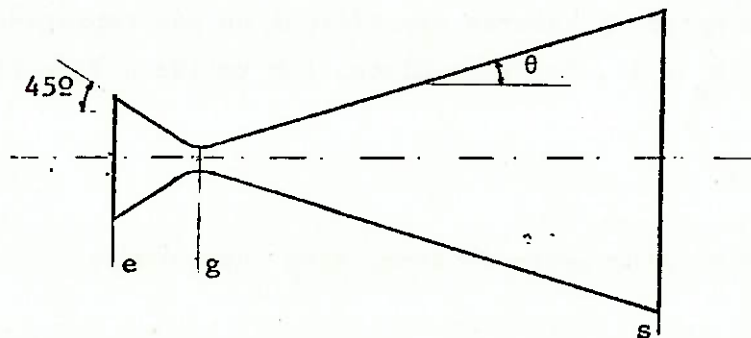
Observe-se que, não havendo mudança significativa na velocidade do gás em 'c' e levando em conta a Equação II.16, tanto a velocidade do som quanto o número de Mach não são afetados nesta secção. Portanto, conhecido o valor de ζ_v , têm-se todas as condições em 'c'.

Para poder aplicar a expressão do empuxo, relação II.1, precisa-se da pressão de estagnação em 'e'. Esta propriedade é calculada a partir da Equação II.17. Além disto, é preciso lembrar que, se o escoamento na válvula fosse isoentrópico, a pressão em 'a' seria igual à em 'c'. Desta forma,

$$\overline{p_{0e}} = p_{0a} \cdot \zeta_v \quad (II.18)$$

II.2 - Equacionamento do Escoamento no Bocal

A figura II.2 mostra um bocal do tipo 'De Laval' e suas secções mais importantes.



- e - secção de entrada ;
- g - garganta do bocal ;
- s - secção de saída ;
- θ - semi-ângulo de abertura do bocal .

Fig. II.2 - Esquema de um bocal tipo 'De Laval'.

Para resolver a Equação II.1 é preciso analisar a figura acima. Como o sistema está operando em regime permanente, as condições em cada ponto não variam. Inicialmente será resolvido o caso de um bocal isoentrópico e depois será introduzido o rendimento do bocal real.

Do estudo de escoamentos compressíveis em bocais convergente-divergentes sabe-se que pequenas variações nas condições do escoamento (na pressão de estagnação, por exemplo) podem causar a mudança da velocidade do gás no divergente, de subsônica a supersônica, ou vice-versa. Por outro lado, a Expressão II.1 mostra que quanto maior a velocidade na secção de saída do bocal, maior o empuxo produzido. Assim, é desejável ter sempre escoamento supersônico após a garganta do bocal.

Para garantir esta condição é preciso lembrar que, para um bocal isoentrópico as propriedades de estagnação são as mesmas em qualquer secção. Assim, se a pressão de estagnação do bocal e a pressão na garganta satisfizerem a seguinte relação:

$$\frac{p_0}{p_g} = \left[\frac{k+1}{2} \right]^{\frac{k}{k-1}}, \quad (\text{II.19})$$

onde k é a relação entre os calores específicos do gás empregado, então na garganta ter-se-á $M_g = 1$. Se, além disto, for válida a seguinte relação:

$$p_s \cong p_{at}, \quad (\text{II.20})$$

então o escoamento no divergente do bocal será supersônico.

No caso de um bocal de um satélite que esteja em órbita da Terra, p_{at} pode ser considerada nula e a condição acima sempre é satisfeita. Desta forma, escolhendo as dimensões do bocal e regulando p_0 adequadamente, tem-se sempre escoamento supersônico após a garganta.

As seguintes relações são válidas para qualquer secção do bocal:

$$\frac{p_0}{p} = \left(1 + \frac{k-1}{2} \cdot M^2\right)^{\frac{k}{k-1}}, \quad (\text{II.21})$$

$$\frac{T_0}{T} = 1 + \frac{k-1}{2} \cdot M^2, \quad (\text{II.22})$$

$$\frac{\rho_0}{\rho} = \left(1 + \frac{k-1}{2} \cdot M^2\right)^{\frac{1}{k-1}} \quad e \quad (\text{II.23})$$

$$c = \sqrt{k \cdot R_g \cdot T}. \quad (\text{II.24})$$

O símbolo R_g , que aparece acima, representa a constante do gás em questão.

Em uma secção genérica a vazão em massa do gás é dada por:

$$\dot{m} = \rho \cdot v \cdot A. \quad (\text{II.25})$$

Utilizando as expressões do escoamento, Equações II.21 a II.24, e a expressão da lei dos gases perfeitos,

$$p = \rho \cdot R_g \cdot T,$$

a relação da vazão toma a forma:

$$\dot{m} = A \cdot \frac{k}{\sqrt{R_g}} \cdot \frac{p_0}{\sqrt{T_0}} \cdot \frac{M}{\left[1 + \frac{k-1}{2} \cdot M^2\right]^{\frac{k+1}{2 \cdot (k-1)}}}, \quad (\text{II.26})$$

sendo A a área da secção considerada.

A fim de simplificar as equações, define-se uma variável auxiliar e_p como o expoente do denominador da relação anterior, isto é:

$$e_p = \frac{k + 1}{2 \cdot (k - 1)}. \quad (\text{II.27})$$

Da teoria do escoamento compressível sabe-se que, se na garganta do bocal o número de Mach é unitário, então a vazão em massa é a máxima possível. Nesta ocasião diz-se que o bocal está bloqueado. Fazendo estas considerações, a Equação II.26, aplicada à garganta do bocal, torna-se:

$$\dot{m} = \frac{A_g \cdot p_o}{\sqrt{T_o}} \cdot \frac{k}{\sqrt{R_g}} \cdot \left(\frac{2}{k+1} \right)^{\frac{k+1}{k-1}} \quad (\text{II.28})$$

Uma relação bastante importante, que pode ser obtida desta última, é a que relaciona as áreas em duas secções e seus respectivos números de Mach. Assim, aplicando a Expressão II.26 a duas secções genéricas A_1 e A_2 , com números de Mach M_1 e M_2 , obtém-se:

$$\frac{M_2 \cdot \left(1 + \frac{k-1}{2} \cdot M_1^2 \right)^{e_p}}{M_1 \cdot \left(1 + \frac{k-1}{2} \cdot M_2^2 \right)^{e_p}} = \frac{A_1}{A_2} \quad (\text{II.29})$$

Particularmente, se em uma área A_g o número de Mach é unitário, esta relação torna-se:

$$\frac{1}{M} \cdot \left[\left(\frac{2}{k+1} \right) \cdot \left(1 + \frac{k-1}{2} \cdot M^2 \right) \right]^{e_p} = \frac{A}{A_g} \quad (\text{II.30})$$

sendo M o número de Mach na secção genérica A . Esta relação permite obter o valor de M em uma secção qualquer, desde que seja fornecida a área da garganta (onde $M = 1$). A resolução desta equação, neste trabalho, é feita por meio de métodos numéricos, explicados no Capítulo V.

Para calcular v_s e p_s é preciso conhecer o número de Mach em 's', que é obtido da Relação II.30. Com este valor tira-se v_s de uma combinação entre as Expressões II.18 e II.24, isto é:

$$v_s = M_s \cdot c_s = M_s \cdot \sqrt{k \cdot R_g \cdot T_s} \quad , \quad (\text{II.31})$$

sendo T_s dada pela Equação II.22, ou seja:

$$T_s = \frac{T_o}{1 + \frac{k-1}{2} \cdot M_s^2} \quad . \quad (\text{II.32})$$

O valor de p_s vem da aplicação de M_s na Equação II.21, resultando:

$$p_s = \frac{p_o}{\left(1 + \frac{k-1}{2} \cdot M_s^2\right)^{\frac{k}{k-1}}} \quad . \quad (\text{II.33})$$

O fator de correção do empuxo que aparece na Relação II.1 tem a função de corrigir o empuxo teórico devido ao fato de o escoamento na secção de saída do bocal não ser paralelo ao seu eixo. Seu valor é dado por (Oliveira Jr., 1985):

$$\lambda = \frac{1 + \cos \theta}{2} \quad . \quad (\text{II.34})$$

É necessário, agora, corrigir as expressões obtidas com a introdução do rendimento do bocal, η_b . Sendo a pressão real de saída igual à do caso isoentrópico, define-se este rendimento como:

$$\eta_b = \frac{\overline{v_s}^2}{v_s^2} = \frac{\overline{v_s}^2 / 2 - v_e^2 / 2}{c_p \cdot (T_e - T_s)} \quad , \quad (\text{II.35})$$

onde $\overline{v_s}$ é a velocidade real do gás na secção de saída do bocal. Nesta equação somente $\overline{v_s}$ é desconhecida, o que permite escrever:

$$\overline{v}_s = \sqrt{[2 \cdot c_p \cdot (T_e - T_s) + v_e^2] \cdot \eta_b} \quad (II.36)$$

Para se ter o empuxo real fornecido pelo bocal, falta apenas obter a vazão em massa real. Para isto, inicialmente calcula-se a temperatura real na secção 's'. Da 1ª Lei da Termodinâmica tem-se:

$$\frac{\overline{v}_s^2 - v_e^2}{2} = c_p \cdot (T_e - \overline{T}_s) \quad , \quad \text{ou}$$

$$\overline{T}_s = T_e + \frac{v_e^2 - \overline{v}_s^2}{2 \cdot c_p} \quad (II.37)$$

Com a temperatura na secção 's', dada pela relação acima, e a pressão nesta secção, que é igual à do caso isoentrópico, calcula-se, com base na Lei dos Gases Perfeitos:

$$\overline{\rho}_s = \frac{P_s}{R_g \cdot \overline{T}_s} \quad (II.38)$$

A expressão da vazão em massa real, então, pode ser obtida da Expressão II.25 aplicada à secção de saída e com os valores reais, resultando:

$$\overline{m} = \overline{\rho}_s \cdot \overline{v}_s \cdot A_s \quad (II.39)$$

Com o valor da velocidade real em 's', dada pela Expressão II.36, pode-se calcular o número de Mach real nesta secção. A relação que o define é obtida de uma combinação entre as Equações II.22 e II.24, sendo:

$$\overline{M}_s = \frac{\overline{v}_s}{\sqrt{k \cdot R_g \cdot T_0 - \frac{k-1}{2} \cdot \overline{v}_s^2}} \quad (II.40)$$

Obtidos os valores reais \overline{m} e \overline{v}_s , dados por II.39 e II.36, pode-se substituí-los na Equação II.1 para ter os valores reais do empuxo.

CAPÍTULO III

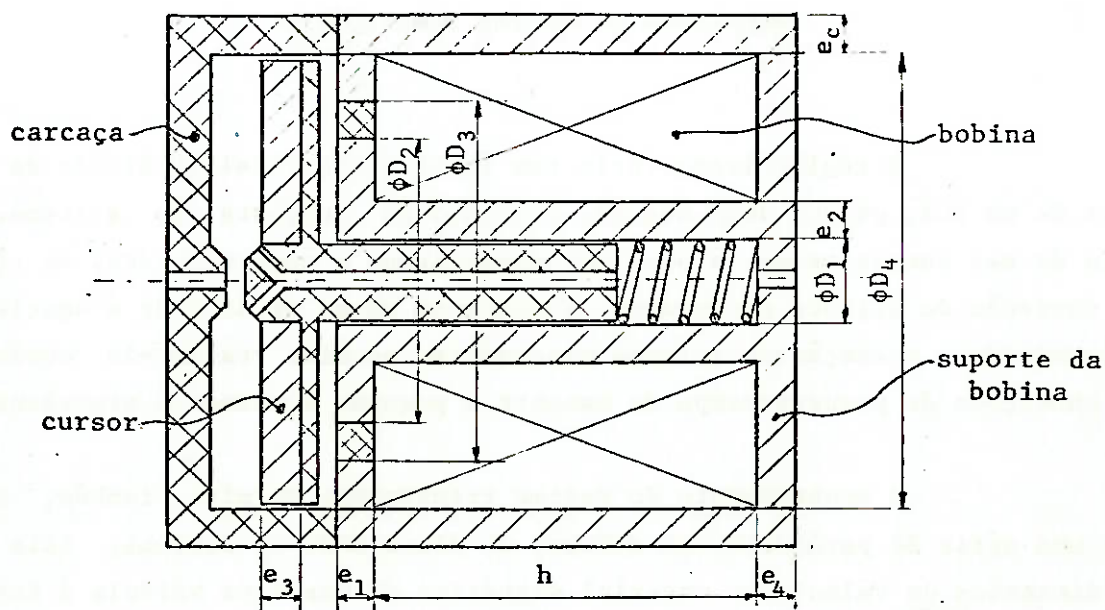
MODELAGEM DO REGIME TRANSITÓRIO

O regime transitório tem importância vital no estudo da dinâmica de um SCA, porque dele depende o atraso na resposta do sistema. Por meio de seu conhecimento, é possível estabelecer o controle ideal em função da correção de atitude necessária. O controle ideal de atitude é aquele que, determinada a correção de atitude necessária, permite realizá-la coadunando as condições de pequeno tempo de manobra e pequeno consumo de propelente.

O conhecimento do regime transitório permite, também, otimizar uma série de parâmetros em relação ao desempenho do sistema, tais como as dimensões da válvula, o material magnético de que esta válvula é feita, a pressão de armazenamento do gás no reservatório e outros.

Entre os componentes de um SCA (ver Fig. II.1), a principal responsável pelo atraso do sistema é a válvula de controle. Caso esta componente fosse ideal, ela passaria de totalmente fechada a totalmente aberta, e vice-versa, instantaneamente; como ela não o é, há um atraso em sua resposta. Isto se deve a dois fatos: primeiro, como o cursor possui massa, para passar de uma posição a outra, ele deve ser acelerado para deslocar-se, o que consome tempo; em segundo lugar, a força magnética que atua no cursor é função da corrente e, portanto, sua variação leva tempo. Enquanto o cursor está parado e o equilíbrio de forças não é rompido, não há movimento, caracterizando-se um atraso.

Um tipo de válvula de controle desenvolvida no INPE para uso em sistemas de controle de atitude é mostrado na Figura III.1. Esta figura apresenta um esquema da válvula de controle com suas partes mais importantes.



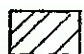

-  - material ferromagnético ;
-  - material não-ferromagnético .

Fig. III.1 - Esquema da Válvula de Controle .

Nesta figura, o que se chama de material não-ferromagnético é um material com permeabilidade relativa muito próxima à do vácuo.

Quando não está sendo solicitada, a válvula permanece fechada, pois a bobina (solenóide) está desenergizada e a mola pressiona o cursor contra a carcaça, vedando o orifício de passagem do fluido. Ao ser acionada a válvula, uma tensão constante é aplicada aos terminais do solenóide, fazendo crescer a corrente que o percorre e criando um campo magnético que atrai o cursor em direção ao suporte da bobina. Quando a força magnética gerada por este campo supera as forças de resistência, o cursor começa a deslocar-se.

Um raciocínio análogo pode ser aplicado durante o fechamento: inicialmente há uma força magnética, maior que as forças de resistência, que mantém o cursor encostado no suporte da bobina. Ao ser dado o sinal de desligamento, imediatamente desaparece a tensão nos terminais do solenóide, o

que faz cair a corrente e, conseqüentemente, o campo magnético. Com isto, cai a força magnética e, quando seu valor torna-se menor que as forças de resistência, o cursor começa a mover-se em direção à carcaça, diminuindo a área mínima de passagem do gás, até eliminar o escoamento.

Verifica-se, então, que é necessário conhecer a localização do cursor no tempo, ou seja, é preciso determinar uma função que forneça sua posição em cada instante. Isto vai permitir determinar o escoamento através da válvula, segundo o modelo que será apresentado no item III.1.

Um balanço de forças no cursor fornece sua equação do movimento:

$$m_c \cdot \ddot{x} = F_m - F_{mo} - F_r \quad , \quad (III.1)$$

onde m_c - massa do cursor ;

F_m - força magnética ;

F_{mo} - força da mola ;

F_r - somatória das forças de resistência.

Uma outra hipótese que se faz é considerar, nas forças de resistência, apenas a força de pressão do fluido, desprezando-se os atritos. Para justificar esta hipótese, basta ver que, se a válvula estiver ao nível do mar, o peso de seu cursor será da ordem de 0,15 N (ver exemplos no Capítulo V). Considerando um coeficiente de atrito de 0,15 entre aço-aço, verifica-se que a força de atrito é da ordem de 0,02 N. Comparando este valor com as forças de pressão calculadas nos exemplos do Capítulo V, da ordem de 2 N, nota-se que a força de atrito realmente pode ser desprezada. Além desta hipótese, admite-se também que não haja rebatimento do cursor, ou seja, quando ele atinge uma extremidade, ele bate e pára instantaneamente.

O item III.1 mostra o modelo admitido para o escoamento do gás. Os itens seguintes mostram as expressões das forças que comparecem na Equação III.1, que vai permitir determinar a posição do cursor em função do tempo.

III.1 - Modelo Termodinâmico da Válvula de Controle

A válvula de controle é um elemento cuja função é permitir ou impedir a passagem do gás, de acordo com sinais de comando recebidos.

Conforme já mencionado, uma válvula ideal seria aquela que passasse da posição fechada à aberta, e vice-versa, instantaneamente, além do que, quando totalmente aberta, não introduzisse perdas no escoamento.

Infelizmente, as válvulas reais dispendem tempo para mudar de posição e introduzem perdas de pressão na linha. Assim, torna-se necessário estudar o escoamento do gás na válvula durante os transitórios.

O modelo admitido para a válvula é o de um bocal convergente-divergente com área de garganta variável em função do tempo e com coeficiente de pressão constante (ver item II.2). A Figura III.2 mostra o modelo adotado e a equivalência de seus pontos principais com os da válvula real.

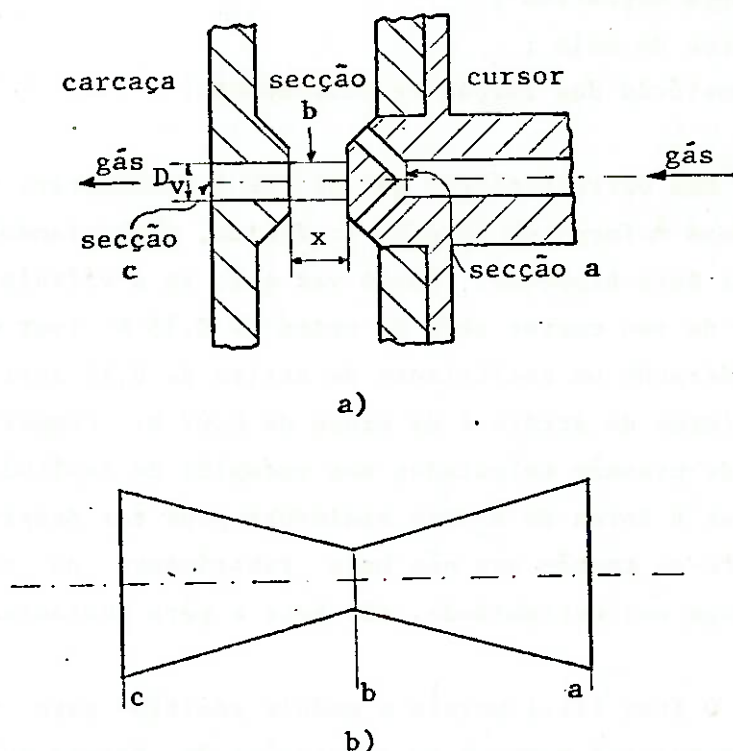


Fig. III.2 - Válvula de Controle:

- a) esquema das principais secções ;
- b) modelo adotado .

Observe-se que os diâmetros das secções 'a' e 'c' são iguais ao diâmetro da tubulação. A área da secção 'b' é dada por:

$$A_b(t) = \pi \cdot D_v \cdot x(t) \quad , \quad (\text{III.2})$$

x e D_v podendo ser visualizados na figura acima.

Verifica-se, pela figura, que o escoamento do gás é radial entre o cursor e o corpo da válvula, sendo a área A_b calculada na secção cilíndrica indicada por 'b'.

O equacionamento do escoamento é feito admitindo, inicialmente, que o bocal seja isoentrópico e aplicando, após isto, o coeficiente ζ_v aos resultados obtidos.

Serão empregadas no modelo as equações para escoamento compressível mostradas no capítulo precedente.

No acionamento da válvula, a partir do instante inicial de sua abertura, a área A_b aumenta. Enquanto esta área for inferior a A_g , a área da garganta do bocal, ela será a menor área de escoamento e haverá número de Mach unitário em A_b e escoamento supersônico em todo o restante da linha. Quando A_b iguala-se a A_g , o número de Mach unitário desloca-se instantaneamente para a secção 'g' (ver Figura II.1). Subseqüentes aumentos em A_b não afetarão o escoamento.

Conforme mencionado, o equacionamento empregado é o mesmo desenvolvido no item II.2. Assim, as equações utilizadas para o cálculo do empuxo e da vazão em massa durante o transitório são:

$$\frac{1}{M_a} \cdot \left[\frac{2}{k+1} \cdot \left(1 + \frac{k-1}{2} \cdot M_a^2 \right) \right]^{e_p} = \frac{A_a}{A_b} \quad ; \quad (\text{III.3})$$

$$\frac{1}{M_c} \cdot \left[\frac{2}{k+1} \cdot \left(1 + \frac{k-1}{2} \cdot M_c^2 \right) \right]^{e_p} = \frac{A_c}{A_b} \quad ; \quad (\text{III.4})$$

$$T_{oc} = T_{oa} \quad ; \quad (III.5)$$

$$T_c = T_{oc} \cdot \left(1 + \frac{k-1}{2} \cdot M_c^2\right) \quad ; \quad (III.6)$$

$$P_{oe} = P_{oc} = P_{oa} \cdot \zeta_v \quad ; \quad (III.7)$$

$$P_a = P_{oa} \cdot \left(1 + \frac{k-1}{2} \cdot M_a^2\right)^{\frac{k}{1-k}} \quad ; \quad (III.8)$$

$$P_c = P_{oc} \cdot \left(1 + \frac{k-1}{2} \cdot M_c^2\right)^{\frac{k}{1-k}} \quad . \quad (III.9)$$

Pelas hipótese feitas e pelas equações obtidas, verifica-se que o número de Mach em 'c' é o mesmo para o caso real ou isoentrópico. O mesmo ocorre com T_{oc} . Com isto, constata-se que a vazão em massa (\dot{m}) diminui, no caso real, por um fator igual a ζ_v . Considerando a importância de \dot{m} no cálculo do empuxo, conclui-se que é fundamental escolher uma válvula que tenha um coeficiente de pressão o mais próximo possível da unidade.

Como o escoamento entre 'c' e 'e' (Ver Figura II.1) é isoentrópico, as condições em 'e' são idênticas às de 'c', isto é, conhece-se o escoamento na entrada do bocal.

Para o escoamento no bocal e o cálculo do empuxo, aplicam-se as Expressões II.21 a II.40 e II.1.

Falta, ainda, obter a função $x(t)$ que determinará $A_b(t)$, para que as equações acima sejam empregadas e se obtenha o empuxo desejado.

Este cálculo de $x(t)$ não é trivial e será mostrado no restante deste capítulo.

III.2 - Cálculo da Força Magnética

A Figura III.3 mostra o referencial adotado e também o cami-

nho percorrido pelo fluxo magnético. Para reconhecer os materiais magnéticos e não-magnéticos, veja-se a Figura III.1.

Note-se que o valor do entreferro máximo é pequeno (da ordem de 0,5 mm) quando comparado com as demais dimensões da válvula. Isto permite fazer a hipótese de que não haja fugas magnéticas. Além disto, admite-se também que o fluxo magnético siga o caminho indicado na figura.

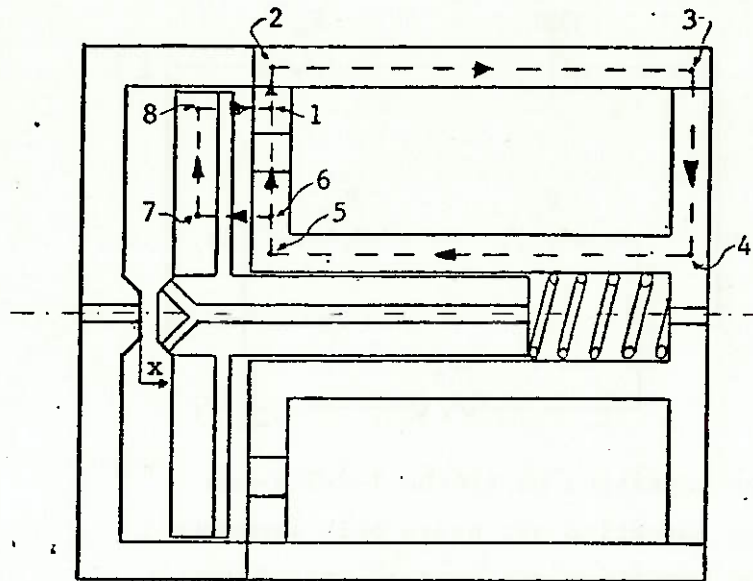


Fig. III.3 - Referencial de Deslocamento e Caminho Percorrido pelo Fluxo Magnético.

O caminho seguido pelo fluxo é 1-2-3-4-5-6; no ponto 6 há uma bifurcação e uma parte do fluxo prossegue por 6-7-8-1 e a outra pelo caminho 6-1 diretamente.

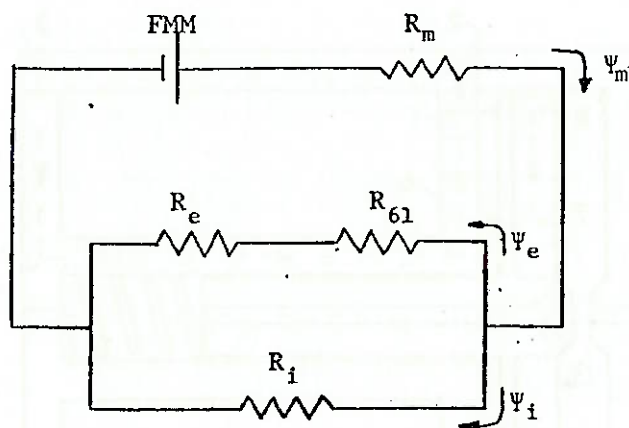
A força magnética entre os pólos de um entreferro, supondo fluxo magnético constante durante um deslocamento elementar, é calculada como (Kraus e Carver, 1978):

$$F_m = \frac{dW_m}{dz}, \quad (\text{III.10})$$

onde:

- W_m - energia magnética do circuito ;
- z - comprimento do entreferro .

Para poder equacionar a energia magnética desejada é feita uma analogia entre circuitos magnéticos e elétricos. Nesta analogia, o fluxo magnético Ψ equivale à corrente, as relutâncias às resistências e a força magnetomotriz, à tensão elétrica. A Figura III.4 fornece o circuito elétrico análogo.



- Ψ_m - fluxo magnético no trecho 1-2-3-4-5-6 ;
- Ψ_i - fluxo magnético que passa pelo isolante ;
- Ψ_e - fluxo magnético que cruza o entreferro ;
- R_i - relutância do isolante ;
- R_e - relutância do entreferro ;
- R_{61} - relutância entre os pontos 6 e 1 no caminho 6-7-8-1, excluído o entreferro ;
- R_m - relutância equivalente do trecho 1-2-3-4-5-6 ;
- FMM- força magnetomotriz .

Fig, III.4 - Circuito Elétrico Equivalente ao Circuito Magnético.

Os pontos 1 e 6 indicados nesta figura correspondem aos pontos 1 e 6 da Figura III,3.

A força magnetomotriz é definida como:

$$FMM = N_e \cdot I \quad , \quad (III.11)$$

onde N_e é o número de espiras do solenóide e I é a corrente elétrica que o percorre. De acordo com a analogia feita, a força magnetomotriz relaciona-se com o fluxo magnético e com a relutância do circuito segundo a relação:

$$FMM = \Psi_m \cdot R_{eq} \quad , \quad (III.12)$$

sendo Ψ_m o fluxo magnético total e R_{eq} a relutância equivalente do circuito.

Das duas últimas equações obtêm-se:

$$\Psi_m = \frac{N_e \cdot I}{R_{eq}} \quad . \quad (III.13)$$

É preciso, agora, calcular os valores de Ψ_e e de Ψ_i . Da Figura III.4 e tendo em mente a analogia feita, tem-se:

$$\Psi_m = \Psi_e + \Psi_i \quad , \quad (III.14)$$

sendo Ψ_i o fluxo magnético que passa pelo isolante. Além disto, é válida a relação

$$\Psi_i \cdot R_i = \Psi_e \cdot (R_e + R_{\epsilon 1}) \quad (III.15)$$

por ser a queda de potencial magnético idêntica para R_i e para $R_e + R_{\epsilon 1}$ (no circuito elétrico corresponderiam à tensão).

Isolando Ψ_i de III.14 e substituindo seu valor em III.15, obtêm-se:

$$\Psi_e = \frac{R_i}{R_i + R_e + R_{\epsilon 1}} \cdot \Psi_m \quad .$$

Definindo uma grandeza auxiliar Q como

$$Q = \frac{R_i}{R_i + R_e + R_{G1}} \quad , \quad (III.16)$$

chega-se a:

$$\Psi_e = Q \cdot \Psi_m \quad e \quad (III.17)$$

$$\Psi_i = (1 - Q) \cdot \Psi_m \quad . \quad (III.18)$$

III.2.1 - Equacionamento da Energia Magnética

A energia magnética é definida como:

$$W_m = \int_V w_m \, dV \quad , \quad (III.19)$$

onde V é o volume do caminho percorrido pelo fluxo magnético dentro do material e w_m é a densidade de energia magnética, definida como

$$w_m = \int_0^B H \, dB \quad , \quad (III.20)$$

sendo H o campo magnético e B a densidade de fluxo magnético.

Define-se a permeabilidade magnética de um meio como:

$$\mu = \frac{B}{H} \quad . \quad (III.21)$$

No vácuo seu valor é :

$$\mu_0 = 4\pi \cdot 10^{-7} \text{ H/m} \quad .$$

Utilizando a Relação III.21, a Equação III.20 modifica-se para:

$$w_m = \int_0^B \frac{B}{\mu} dB, \quad (III.22)$$

A permeabilidade magnética relativa de um meio é dada por:

$$\mu_r = \frac{\mu}{\mu_0}, \quad (III.23)$$

tendo o vácuo, portanto, $\mu_r = 1$.

·Materiais diamagnéticos e paramagnéticos são aqueles que possuem permeabilidade relativa constante e muito próxima da unidade, respectivamente abaixo e acima dela. Nos materiais ferromagnéticos, por outro lado, esta grandeza varia bastante em função da densidade de fluxo magnético, podendo facilmente atingir vários milhares de unidades.

Nos exemplos do Capítulo V, três materiais são utilizados: o aço 1030, o aço 430 e a liga MAG PERM IPT-49, preparada pelo Instituto de Pesquisas Tecnológicas. Seus gráficos de $B \times H$ e $\mu_r \times B$ são mostrados nas figuras III.5, III.6 e III.7.

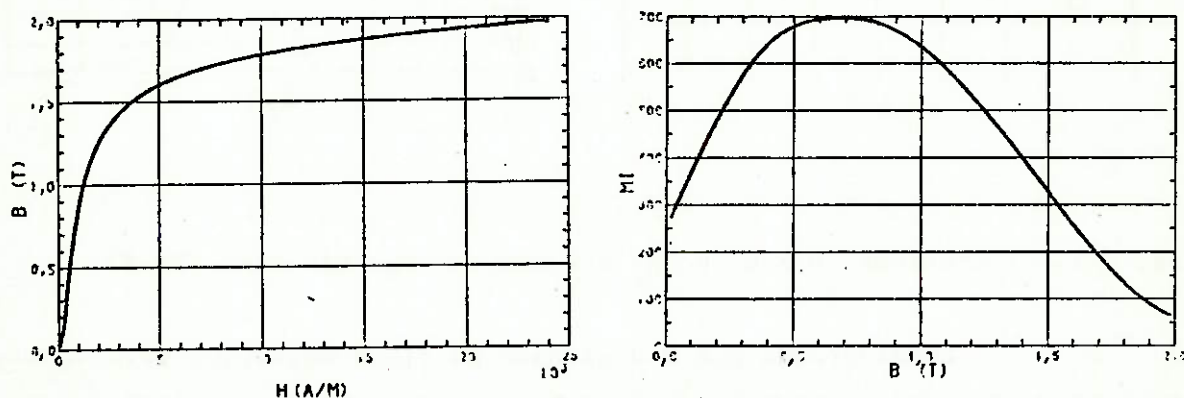


Fig. III.5 - Gráficos $B \times H$ e $\mu_r \times B$ para o aço 1030.

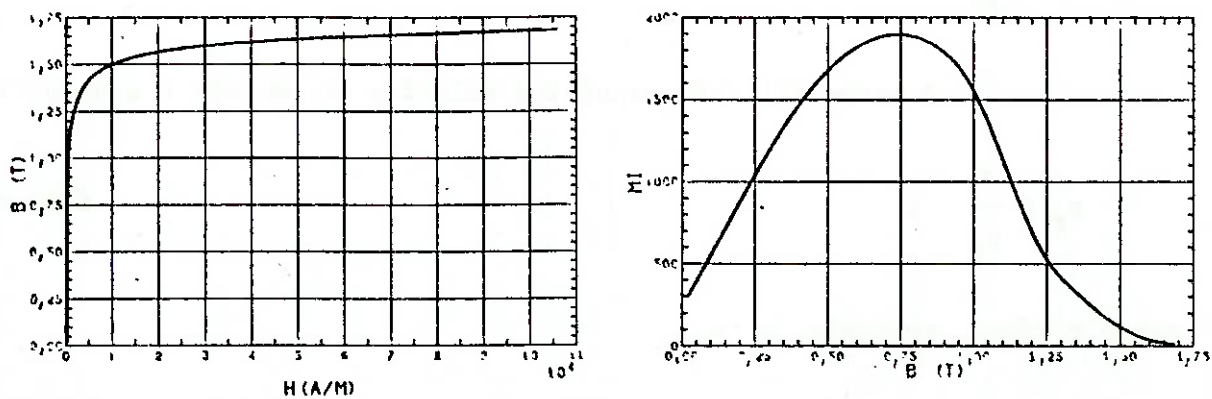


Fig. III.6 - Gráficos $B \times H$ e $\mu_r \times B$ para o aço 430.

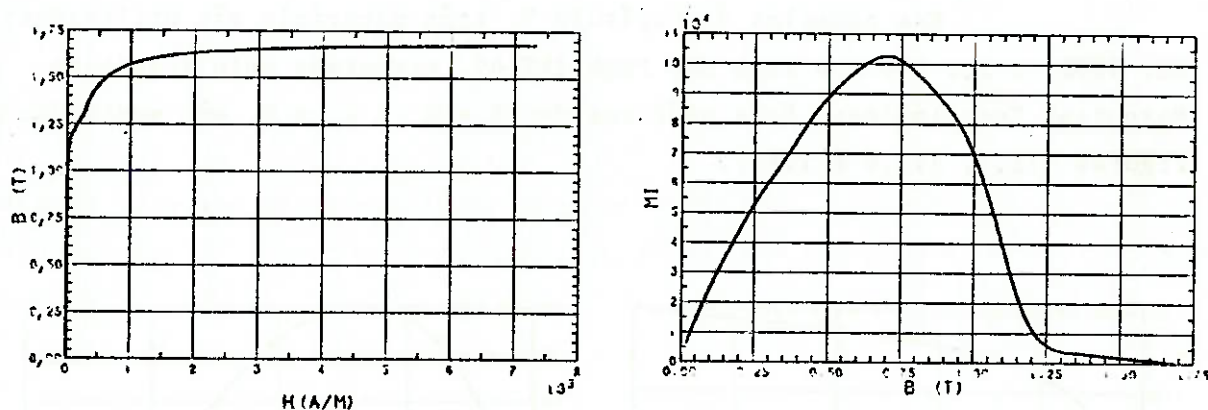


Fig. III.7 - Gráficos $B \times H$ e $\mu_r \times B$ para a liga MAG PERM IPT-49.

Considerando que a densidade de fluxo magnético relaciona-se com o fluxo magnético por meio da área da secção considerada, isto é:

$$\Psi = B.S \quad , \quad (III.24)$$

então, numa dada secção, uma variação de B produz uma alteração em Ψ segun-

do a relação:

$$d\Psi = S dB \quad . \quad (III.25)$$

Com III.24 e III.25, a Expressão III.22 torna-se:

$$w_m = \int_0^{\Psi} \frac{\Psi}{\mu \cdot S^2} d\Psi \quad . \quad (III.26)$$

Como o volume infinitesimal é:

$$dV = S dl \quad , \quad (III.27)$$

a Equação III.19 modifica-se para:

$$W_m = \int_0^L \frac{1}{S} \int_0^{\Psi} \frac{\Psi}{\mu} \cdot d\Psi \cdot dl \quad . \quad (III.28)$$

A rigor, esta equação deveria ser aplicada a todo o circuito, vale dizer, a toda a válvula, para se ter a energia magnética total. Entretanto, segundo procedimentos de vários autores (Kraus e Carver, 1978, por exemplo), considera-se apenas a energia acumulada no entreferro, por ser esta substancialmente maior que a energia do resto do circuito.

A energia magnética do entreferro pode ser calculada como:

$$W_e = \int_e \frac{1}{S} \int_0^{\Psi} \frac{\Psi}{\mu_0} \cdot d\Psi dl = \int_e \frac{\Psi_e^2}{2 \mu_0 S} \cdot dl \quad , \quad \text{ou}$$
$$W_e = \frac{\Psi_e^2 \cdot z}{2 \mu_0 S_{e1}} + \frac{\Psi_e^2 \cdot z}{2 \mu_0 S_{e1}} = \frac{\Psi_e^2 \cdot z}{2 \mu_0 S_{eq}} \quad . \quad (III.29)$$

Na expressão acima, z representa o comprimento do entreferro e relaciona-se com x pela equação:

$$z = x_{\text{máx}} - x .$$

A letra e colocada em um dos limites da integral indica que a integração se dá ao longo do entreferro. Nestas equações, S_{e1} e S_{e2} são as áreas, respectivamente, da coroa interna e da externa ao isolante, através das quais o fluxo magnético Ψ_e cruza o entreferro. São dadas por:

$$S_{e1} = \frac{\pi}{4} \cdot (D_2^2 - D_1^2) \quad e \quad \text{(III.30)}$$

$$S_{e2} = \frac{\pi}{4} \cdot (D_4^2 - D_3^2) \quad . \quad \text{(III.31)}$$

O valor de S_{eq} que aparece representa uma área equivalente transversal ao caminho do fluxo no entreferro, e é dado por:

$$\frac{1}{S_{eq}} = \frac{1}{S_{e1}} + \frac{1}{S_{e2}} \quad , \quad \text{ou}$$

$$S_{eq} = \frac{S_{e1} \cdot S_{e2}}{S_{e1} + S_{e2}} \quad . \quad \text{(III.32)}$$

III.2.2 - Equacionamento das Relutâncias do Circuito Magnético

A relutância equivalente do circuito é calculada como:

$$R_{eq} = R_p + R_m \quad , \quad \text{(III.33)}$$

onde R_p é a relutância equivalente entre os pontos 6 e 1. Pela Figura III.4 pode-se calcular R_p , que resulta:

$$R_p = \frac{R_i \cdot (R_e + R_{61})}{R_i + R_e + R_{61}} \quad (\text{III.34})$$

Desprezam-se as relutâncias entre o ponto 6 e o isolante e entre este e o ponto 1 por serem muito menores que a relutância do isolante.

As relutâncias podem ser calculadas a partir da fórmula geral:

$$R = \int_0^L \frac{dx}{\mu \cdot S}, \quad (\text{III.35})$$

onde x é a distância medida no caminho do fluxo magnético e S é a área transversal da secção.

Seguindo o caminho do fluxo magnético, verifica-se que a área somente varia ao longo do percurso nos trechos 6-1, 7-8 e 3-4. A relutância nestes casos é calculada sabendo que a área é dada por uma função do raio multiplicada pela espessura e . Assim, tem-se:

$$dR = \frac{dr}{\mu \cdot 2\pi r \cdot e} \quad (\text{III.36})$$

Então,

$$R = \frac{1}{2\pi e} \int_{\frac{D_i}{2}}^{\frac{D_f}{2}} \frac{dr}{\mu \cdot r} \quad (\text{III.37})$$

Na expressão acima, D_i e D_f são os diâmetros inicial e final da secção no caminho do fluxo magnético e μ é a permeabilidade no trecho cuja relutância deseja-se calcular.

Nos demais trechos, que possuem secção constante, a relutân-

cia é dada por:

$$R = \frac{1}{S} \int_0^L \frac{dx}{\mu} \quad (III.38)$$

A integração destas equações depende do conhecimento da permeabilidade magnética ao longo do circuito magnético. Como esta grandeza é função apenas da densidade de fluxo magnético (B) e esta relaciona-se com o fluxo (Ψ) por meio da Expressão III.24, o procedimento adotado é descrito a seguir.

De acordo com a analogia feita, a Figura III.4 permite observar que o fluxo Ψ_m não varia ao longo do caminho 1-2-3-4-5-6 em um dado instante. Por outro lado, como a área transversal neste caminho varia em função do trecho, o valor de B também varia. Para simplificar os cálculos, entretanto, será feita uma aproximação. Serão consideradas duas áreas médias, uma para o caminho 1-2-3-4-5-6, designada por S_m , e a outra para o caminho 6-7-8-1, denominada S_{61} . Cada uma delas é calculada como a média das áreas do percurso, ponderadas com seu comprimento. O detalhamento do cálculo destas áreas está no Apêndice A.

Feita esta aproximação, obtêm-se dois valores de densidades de fluxo magnético médios a partir da Expressão III.24, isto é:

$$B_m = \frac{\Psi_m}{S_m} = \frac{N_e \cdot I}{S_m \cdot R_{eq}} \quad e \quad (III.39)$$

$$B_{61} = \frac{\Psi_e}{S_{61}} \quad (III.40)$$

Com estes valores, μ assume, então, dois valores médios também, denominados μ_m e μ_{61} . Com base nestes valores médios de μ , a integração das Equações III.37 e III.38 simplifica-se, resultando:

$$R = \frac{1}{2\pi \cdot \mu \cdot e} \ln \frac{D_f}{D_i} \quad (\text{III.41})$$

para as secções variáveis e

$$R = \frac{L}{\mu \cdot S} \quad (\text{III.42})$$

para as secções constantes com comprimento L; nestas equações, μ representa um dos dois valores médios calculados, ou μ_0 , dependendo de qual área esteja sendo considerada.

A relutância R_m é calculada como a soma das relutâncias dos trechos do caminho 1-2-3-4-5-6 e pode ser visualizada na Figura III.3. Seu valor é dado por:

$$R_m = R_{12} + R_{23} + R_{34} + R_{45} + R_{56} \quad (\text{III.43})$$

Com base nas Equações III.41 e III.42 podem-se definir as relutâncias desta última equação. Desta forma obtêm-se:

$$R_{12} = \frac{1}{2\pi \cdot \mu_m \cdot e_1} \cdot \ln \frac{2 \cdot (D_4 + e_c)}{D_3 + D_4} ; \quad (\text{III.44})$$

$$R_{23} = \frac{2h + e_1 + e_4}{2\pi \cdot \mu_m \cdot e_c \cdot (D_4 + e_c)} ; \quad (\text{III.45})$$

$$R_{34} = \frac{1}{2\pi \cdot \mu_m \cdot e_4} \cdot \ln \frac{D_4 + e_c}{D_1 + e_2} ; \quad (\text{III.46})$$

$$R_{45} = \frac{2h + e_1 + e_4}{2\pi \cdot \mu_m \cdot e_2 \cdot (D_1 + e_2)} ; \quad (\text{III.47})$$

$$R_{56} = \frac{1}{2\pi \cdot \mu_m \cdot e_1} \cdot \ln \frac{D_1 + D_2}{2 \cdot (D_1 + e_2)} \quad (\text{III.48})$$

Para simplificar a Equação III.43, define-se a constante K_m , que só depende da geometria da válvula, como a soma das relutâncias acima, multiplicada por μ_m :

$$K_m = \frac{1}{2\pi} \cdot \left\{ \frac{1}{e_1} \ln \frac{(D_1 + D_2) \cdot (D_4 + e_c)}{(D_1 + e_2) \cdot (D_3 + D_4)} + \frac{1}{e_4} \ln \frac{D_4 + e_c}{D_1 + e_2} + (2h + e_1 + e_4) \cdot \left[\frac{1}{e_c \cdot (D_4 + e_c)} + \frac{1}{e_2 \cdot (D_1 + e_2)} \right] \right\} \quad (III.49)$$

Com isto a equação III.43 torna-se:

$$R_m = \frac{K_m}{\mu_m} \quad (III.50)$$

Para calcular R_p , obtêm-se suas componentes e aplicam-se estes valores na Expressão III.34.

O cálculo de R_{61} é semelhante ao de R_m , isto é:

$$R_{61} = R_{67} + R_{78} + R_{81} \quad (III.51)$$

Vale lembrar que neste caminho a permeabilidade magnética é μ_{61} e não μ_m . Novamente, das Equações III.37 e III.38 obtêm-se:

$$R_{67} = \frac{e_1 + e_3}{2\mu_{61} \cdot S_{e_1}} \quad (III.52)$$

$$R_{78} = \frac{1}{2\pi \cdot \mu_{61} \cdot e_3} \ln \frac{D_3 + D_4}{D_1 + D_2} \quad (III.53)$$

$$R_{81} = \frac{e_1 + e_3}{2\mu_{61} \cdot S_{e_2}} \quad (III.54)$$

Analogamente a K_m , define-se uma constante K_{61} a ser introdu

zida em III.51 que, também, só depende da geometria da válvula:

$$K_{61} = \frac{1}{2} \left(\frac{e_1 + e_3}{S_{eq}} + \frac{1}{\pi \cdot e_3} \ln \frac{D_3 + D_4}{D_1 + D_2} \right) \quad (III.55)$$

Tem-se, então:

$$R_{61} = \frac{K_{61}}{\mu_{61}} \quad (III.56)$$

O cálculo de R_1 é feito com base na Equação III.37 e admitindo que a permeabilidade magnética do material seja igual à do vácuo. Então:

$$R_1 = \frac{1}{2\pi \cdot \mu_0 \cdot e_1} \ln \frac{D_3}{D_2} \quad (III.57)$$

Por último deve-se calcular a relutância do entreferro. Como já foi mencionado, o fluxo magnético cruza o entreferro em dois lugares: o primeiro na coroa interna ao isolante e o segundo na coroa externa a ele. Desta forma, a relutância total é a soma dessas duas componentes, que pode ser obtida com a ajuda da equação III.42, resultando:

$$R_e = \frac{z}{\mu_0 \cdot S_{e1}} + \frac{z}{\mu_0 \cdot S_{e2}}$$

Lembrando a equação III.32, fica-se com:

$$R_e = \frac{z}{\mu_0 \cdot S_{eq}} \quad (III.58)$$

III.2.3 - Equacionamento da Corrente no Solenóide

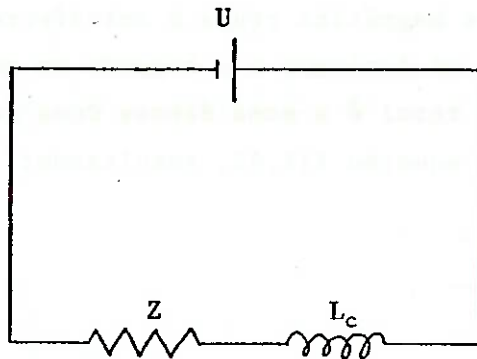
Para se obter a força magnética é necessário conhecer, a cada instante, a corrente que circula no solenóide e as relutâncias do circuito. A corrente pode ser obtida de uma análise do circuito elétrico do solenóide. Este circuito é do tipo R-L com indutância variável, e sua equação característica é:

$$U = Z \cdot I + \frac{d}{dt}(L_c \cdot I) \quad .$$

A expressão acima pode ser reescrita como:

$$U = Z \cdot I + L_c \cdot \frac{dI}{dt} + I \cdot \frac{dL_c}{dt} \quad . \quad \text{(III.59)}$$

A Figura III.8 esquematiza este circuito.



- U - tensão elétrica aplicada ;
- Z - resistência elétrica total ;
- L - indutância .

Fig. III.8 - Esquema do Circuito Elétrico da Válvula.

A indutância é calculada como a relação entre o enlace total de fluxo magnético e a corrente que passa pelo indutor (solenóide), ou:

$$L_c = \frac{N_e \cdot \Psi_m}{I} \quad (III.60)$$

Lembrando a Relação III.13, obtêm-se:

$$L_c = \frac{N_e}{I} \cdot \frac{N_e \cdot I}{R_{eq}} = \frac{N_e^2}{R_{eq}} \quad (III.61)$$

Verifica-se, portanto, que L_c é função apenas de N_e e de R_{eq} . Esta última, por sua vez, é função da posição do cursor da válvula (que determina o entreferro) e da corrente no solenóide. Então, como o solenóide tem um número fixo de espiras, pode-se escrever:

$$L_c = L_c(x, I) \quad ,$$

o que permite escrever:

$$\frac{dL_c}{dt} = \frac{\partial L_c}{\partial x} \cdot \frac{dx}{dt} + \frac{\partial L_c}{\partial I} \cdot \frac{dI}{dt} \quad (III.62)$$

Deve-se, agora, calcular as duas derivadas parciais de L_c . Com base na Equação III.61 tem-se:

$$\frac{\partial L_c}{\partial x} = - \frac{N_e^2}{R_{eq}^2} \cdot \frac{\partial R_{eq}}{\partial x} \quad (III.63)$$

e, a partir das Expressões III.33 e III.34,

$$\frac{\partial R_{eq}}{\partial x} = \frac{\partial R_m}{\partial x} + \frac{R_i}{(R_i + R_e + R_{e1})^2} \cdot \left[(R_i + R_e + R_{e1}) \cdot \frac{\partial(R_e + R_{e1})}{\partial x} - (R_e + R_{e1}) \cdot \frac{\partial(R_i + R_e + R_{e1})}{\partial x} \right]$$

Como R_l é constante, as duas derivadas dentro dos colchetes são iguais, o que produz:

$$\frac{\partial R_{eq}}{\partial x} = \frac{\partial R_m}{\partial x} + Q^2 \cdot \frac{\partial (R_e + R_{s1})}{\partial x} \quad (III.64)$$

Lembrando a definição da Relutância R_m , Equação III.50, tem-se:

$$\frac{\partial R_m}{\partial x} = - \frac{K_m}{\mu_m^2} \cdot \frac{\partial \mu_m}{\partial x}$$

Como a permeabilidade magnética é função apenas da densidade de fluxo magnético, a relação acima pode ser reescrita da seguinte forma:

$$\frac{\partial R_m}{\partial x} = - \frac{K_m}{\mu_m^2} \cdot \frac{d\mu_m}{dB_m} \cdot \frac{\partial B_m}{\partial x} \quad (III.65)$$

A partir da Equação III.39 pode-se escrever:

$$\frac{\partial B_m}{\partial x} = - \frac{N_e \cdot I}{S_m \cdot R_{eq}^2} \cdot \frac{\partial R_{eq}}{\partial x} \quad (III.66)$$

Designando $d\mu_m/dB_m$ por μ_m' , a substituição de III.66 em III.65 produz a seguinte expressão:

$$\frac{\partial R_m}{\partial x} = \frac{K_m \cdot N_e \cdot I}{S_m \cdot R_{eq}^2} \cdot \frac{\mu_m'}{\mu_m^2} \cdot \frac{\partial R_{eq}}{\partial x} \quad (III.67)$$

Da Figura III.3 obtém-se facilmente:

$$x = x_{\text{máx}} - z \quad (\text{III.68})$$

e, portanto, a Equação III.58 fornece:

$$\frac{\partial R_e}{\partial x} = \frac{dR_e}{dx} = - \frac{1}{\mu_0 \cdot S_{eq}} \quad (\text{III.69})$$

O cálculo de $\partial R_{61}/\partial x$ é semelhante ao de $\partial R_m/\partial x$. Assim,

$$\frac{\partial R_{61}}{\partial x} = - \frac{K_{61}}{\mu_{61}^2} \cdot \frac{\partial \mu_{61}}{\partial x} = - \frac{K_{61}}{\mu_{61}^2} \cdot \frac{d\mu_{61}}{dB_{61}} \cdot \frac{\partial B_{61}}{\partial x} \quad (\text{III.70})$$

Com base nas Equações III.40, III.17 e III.13 obtém-se, então:

$$\frac{\partial B_{61}}{\partial x} = \frac{N_e \cdot I}{S_{61}} \cdot \frac{\partial}{\partial x} \left(\frac{Q}{R_{eq}} \right) = \frac{N_e \cdot I}{S_{61} \cdot R_{eq}^2} \left(R_{eq} \cdot \frac{\partial Q}{\partial x} - Q \cdot \frac{\partial R_{eq}}{\partial x} \right) \quad (\text{III.71})$$

A Expressão III.16 permite calcular:

$$\begin{aligned} \frac{\partial Q}{\partial x} &= - \frac{R_i}{(R_i + R_e + R_{61})^2} \cdot \frac{\partial (R_i + R_e + R_{61})}{\partial x} = \\ &= - \frac{Q^2}{R_i} \cdot \left(- \frac{1}{\mu_0 \cdot S_{eq}} + \frac{\partial R_{61}}{\partial x} \right) \quad (\text{III.72}) \end{aligned}$$

Assim, a Relação III.71 torna-se:

$$\frac{\partial B_{61}}{\partial x} = \frac{N_e \cdot I \cdot Q}{S_{61} \cdot R_{eq}} \cdot \left(\frac{Q}{\mu_0 \cdot S_{eq} \cdot R_i} - \frac{Q}{R_i} \cdot \frac{\partial R_{61}}{\partial x} - \frac{1}{R_{eq}} \cdot \frac{\partial R_{eq}}{\partial x} \right) \quad (\text{III.73})$$

Portanto, tem-se a forma final para III.70:

$$\frac{\partial R_{61}}{\partial x} = - \frac{K_{61} \cdot N_e \cdot I \cdot Q}{S_{61} \cdot R_{eq}} \cdot \frac{\mu_{61}'}{\mu_{61}^2} \cdot \left(\frac{Q}{\mu_0 \cdot S_{eq} \cdot R_i} - \frac{Q \cdot \partial R_{61}}{R_i \partial x} - \frac{1}{R_{eq}} \cdot \frac{\partial R_{eq}}{\partial x} \right)$$

Nesta equação, μ_{61}' é a forma reduzida para indicar $d\mu_{61}/dB_{61}$. Isolando $\partial R_{61}/\partial x$, obtém-se:

$$\frac{\partial R_{61}}{\partial x} = \frac{\frac{K_{61} \cdot N_e \cdot I \cdot Q}{S_{61} \cdot R_{eq}} \cdot \frac{\mu_{61}'}{\mu_{61}^2} \cdot \left(\frac{1}{R_{eq}} \cdot \frac{\partial R_{eq}}{\partial x} - \frac{Q}{\mu_0 \cdot S_{eq} \cdot R_i} \right)}{1 - \frac{K_{61} \cdot N_e \cdot I \cdot Q^2}{S_{61} \cdot R_{eq} \cdot R_i} \cdot \frac{\mu_{61}'}{\mu_{61}^2}} \quad (\text{III.74})$$

Definem-se as seguintes variáveis auxiliares:

$$G_1 = 1 - \frac{K_m \cdot N_e \cdot I}{S_m \cdot R_{eq}^2} \cdot \frac{\mu_m'}{\mu_m^2} \quad (\text{III.75})$$

$$G_2 = \frac{K_{61} \cdot N_e \cdot I \cdot Q^2}{S_{61} \cdot R_{eq}} \cdot \frac{\mu_{61}'}{\mu_{61}^2} \quad e \quad (\text{III.76})$$

$$G_3 = \frac{1}{R_i} + \frac{Q}{R_{eq} \cdot G_1} \quad (\text{III.77})$$

Substituindo as Equações III.67, III.69 e III.74 na III.64 e utilizando as definições acima, obtém-se:

$$\frac{\partial R_{eq}}{\partial x} = (1 - G_1) \cdot \frac{\partial R_{eq}}{\partial x} - \frac{Q^2}{\mu_0 \cdot S_{eq}} + \frac{G_2 \cdot Q \cdot \left(\frac{1}{R_{eq}} \cdot \frac{\partial R_{eq}}{\partial x} - \frac{Q}{S_{eq} \cdot R_i} \right)}{1 - \frac{G_2}{R_i}}$$

Isolando $\partial R_{eq} / \partial x$ chega-se a:

$$\frac{\partial R_{eq}}{\partial x} = \frac{Q^2}{\mu_0 \cdot S_{eq} \cdot G_1 \cdot (G_2 \cdot G_3 - 1)} \quad (III.78)$$

Com este resultado a Expressão III.63 toma a forma:

$$\frac{\partial L_c}{\partial x} = \frac{Q^2 \cdot N_e^2}{\mu_0 \cdot S_{eq} \cdot R_{eq}^2 \cdot G_1 \cdot (1 - G_2 \cdot G_3)} \quad (III.79)$$

O procedimento para o cálculo da outra derivada parcial de L_c é semelhante. Analogamente ao que foi feito para obter a Equação III.63, parte-se da Relação III.61:

$$\frac{\partial L_c}{\partial I} = - \frac{N_e^2}{R_{eq}^2} \cdot \frac{\partial R_{eq}}{\partial I} \quad (III.80)$$

Tém-se também:

$$\frac{\partial R_{eq}}{\partial I} = \frac{\partial R_m}{\partial I} + Q^2 \cdot \frac{\partial R_{61}}{\partial I} \quad (III.81)$$

A primeira parcela destas equação é calculada como:

$$\frac{\partial R_m}{\partial I} = - \frac{K_m}{\mu_m^2} \cdot \frac{\partial \mu_m}{\partial I} = - \frac{K_m}{\mu_m^2} \cdot \frac{d\mu_m}{dB_m} \cdot \frac{\partial B_m}{\partial I}$$

Com base em III.39 calcula-se:

$$\frac{\partial B_m}{\partial I} = \frac{N_e}{S_m \cdot R_{eq}^2} \cdot \left(R_{eq} - I \cdot \frac{\partial R_{eq}}{\partial I} \right) \quad (III.82)$$

o que fornece:

$$\frac{\partial R_m}{\partial I} = - \frac{K_m \cdot N_e}{S_m \cdot R_{eq}^2} \cdot \frac{\mu_m'}{\mu_m^2} \cdot \left(R_{eq} - I \cdot \frac{\partial R_{eq}}{\partial I} \right), \text{ ou}$$

$$\frac{\partial R_m}{\partial I} = (G_1 - 1) \cdot \left(\frac{R_{eq}}{I} - \frac{\partial R_{eq}}{\partial I} \right) \quad (III.83)$$

Para a segunda parcela tem-se:

$$\frac{\partial R_{61}}{\partial I} = - \frac{K_{61}}{\mu_{61}^2} \cdot \frac{\partial \mu_{61}}{\partial I} = - \frac{K_{61}}{\mu_{61}^2} \cdot \frac{d\mu_{61}}{dB_{61}} \cdot \frac{\partial B_{61}}{\partial I} \quad (III.84)$$

A partir das Equações III.40, III.17 e III.13 pode-se escrever:

$$\frac{\partial B_{61}}{\partial I} = \frac{N_e}{S_{61}} \cdot \left(\frac{I}{R_{eq}} \cdot \frac{\partial Q}{\partial I} + \frac{Q}{R_{eq}} - \frac{Q \cdot I}{R_{eq}^2} \cdot \frac{\partial R_{eq}}{\partial I} \right) \quad (III.85)$$

Da Expressão III.16 tira-se:

$$\frac{\partial Q}{\partial I} = - \frac{R_i}{(R_i + R_e + R_{61})^2} \cdot \frac{\partial R_{61}}{\partial I} = - \frac{Q^2}{R_i} \cdot \frac{\partial R_{61}}{\partial I}$$

Portanto, a Equação III.85 torna-se:

$$\frac{\partial B_{61}}{\partial I} = \frac{N_e}{S_{61}} \cdot \left(- \frac{Q^2 \cdot I}{R_{eq} \cdot R_i} \cdot \frac{\partial R_{61}}{\partial I} + \frac{Q}{R_{eq}} - \frac{Q \cdot I}{R_{eq}^2} \cdot \frac{\partial R_{eq}}{\partial I} \right) \quad (III.86)$$

e a Expressão III.84:

$$\frac{\partial R_{61}}{\partial I} = - \frac{K_{61} \cdot N_e \cdot Q \cdot \mu_{61}'}{S_{61} \cdot R_{eq} \cdot \mu_{61}^2} \cdot \left(- \frac{Q \cdot I}{R_i} \cdot \frac{\partial R_{61}}{\partial I} + 1 - \frac{I}{R_{eq}} \cdot \frac{\partial R_{eq}}{\partial I} \right), \quad (\text{III.87})$$

ou, isolando $\partial R_{61}/\partial I$ e substituindo nesta última as definições III.75 a III.77, chega-se a:

$$\frac{\partial R_{61}}{\partial I} = \frac{R_i \cdot G_2}{Q \cdot R_{eq} \cdot (R_i - G_2)} \cdot \frac{\partial R_{eq}}{\partial I} - \frac{R_i \cdot G_2}{Q \cdot I \cdot (R_i - G_2)}. \quad (\text{III.88})$$

Com a Relação III.88 e mais a III.83 substituídas na III.81 obtêm-se:

$$\begin{aligned} \frac{\partial R_{eq}}{\partial I} = (G_1 - 1) \cdot \left(\frac{R_{eq}}{I} - \frac{\partial R_{eq}}{\partial I} \right) + \frac{Q \cdot R_i \cdot G_2}{R_{eq} \cdot (R_i - G_2)} \cdot \frac{\partial R_{eq}}{\partial I} + \\ - \frac{Q \cdot R_i \cdot G_2}{I \cdot (R_i - G_2)}, \end{aligned} \quad (\text{III.89})$$

Isolando o valor de $\partial R_{eq}/\partial I$ nesta equação, fica-se com:

$$\frac{\partial R_{eq}}{\partial I} = \frac{R_{eq}}{I} \cdot \frac{R_{eq} \cdot (G_1 - 1) \cdot (R_i - G_2) - Q \cdot R_i \cdot G_2}{R_{eq} \cdot G_1 \cdot (R_i - G_2) - Q \cdot R_i \cdot G_2}. \quad (\text{III.90})$$

Com esta última relação, a Equação III.80 torna-se:

$$\frac{\partial L_c}{\partial I} = - \frac{N_e^2}{R_{eq} \cdot I} \cdot \frac{R_{eq} \cdot (G_1 - 1) \cdot (R_i - G_2) - Q \cdot R_i \cdot G_2}{R_{eq} \cdot G_1 \cdot (R_i - G_2) - Q \cdot R_i \cdot G_2}. \quad (\text{III.91})$$

Lembrando que, para o cursor, $dx/dt = v_c$, e substituindo as Expressões III.79 e III.91 na Relação III.62, obtêm-se a derivada temporal da indutância do circuito:

$$\frac{dL_c}{dt} = \frac{N_e^2 \cdot Q^2 \cdot v_c}{\mu_0 \cdot S_{eq} \cdot R_{eq}^2 \cdot G_1 \cdot (1 - G_2 \cdot G_3)} - \frac{N_e^2}{R_{eq} \cdot I} \cdot \left[\frac{R_{eq} \cdot (G_1 - 1) \cdot (R_i - G_2) - Q \cdot R_i \cdot G_2}{R_{eq} \cdot G_1 \cdot (R_i - G_2) - Q \cdot R_i \cdot G_2} \cdot \frac{dI}{dt} \right] \quad (III.92)$$

Com este último resultado substituído na Relação III.59, esta equação toma a seguinte forma:

$$U = Z \cdot I + \frac{N_e^2}{R_{eq}} \cdot \frac{dI}{dt} + \frac{N_e^2 \cdot Q^2 \cdot I \cdot v_c}{\mu_0 \cdot S_{eq} \cdot R_{eq}^2 \cdot G_1 \cdot (1 - G_2 \cdot G_3)} - \frac{N_e^2}{R_{eq}} \cdot \frac{R_{eq} \cdot (G_1 - 1) \cdot (R_i - G_2) - Q \cdot R_i \cdot G_2}{R_{eq} \cdot G_1 \cdot (R_i - G_2) - Q \cdot R_i \cdot G_2} \cdot \frac{dI}{dt}$$

Isolando dI/dt nesta relação obtêm-se:

$$\frac{dI}{dt} = \frac{R_{eq} \cdot G_1 \cdot (R_i - G_2) - Q \cdot R_i \cdot G_2}{N_e^2 \cdot (R_i - G_2)} \cdot \left(U - Z \cdot I + \frac{N_e^2 \cdot I \cdot Q^2 \cdot v_c}{\mu_0 \cdot S_{eq} \cdot R_{eq}^2 \cdot G_1 \cdot (1 - G_2 \cdot G_3)} \right) \quad (III.93)$$

Esta última equação, integrada, fornecerá a expressão da corrente no solenóide, em função do tempo. Com esta corrente, torna-se possível avaliar as grandezas magnéticas envolvidas e obter a força magnética que atrai o cursor. Isto feito, tem-se o valor de x (ou z, o entreferro), da integração da Relação III.1. O próximo item mostra a expressão da força magnética.

III.2.4 - Forma Final para a Força Magnética

Para o cálculo da força magnética, basta introduzir a Expressão III.29 na III.10, ou seja, diferenciar a primeira em relação a z . Assim, obtém-se, para a força magnética:

$$F_m = \frac{\psi_e^2}{2\mu_0 \cdot S_{eq}} \quad (III.94)$$

Substituindo as Equações III.17 e III.13 nesta última, obtém-se:

$$F_m = \left(\frac{N_e \cdot I \cdot Q}{R_{eq}} \right)^2 \cdot \frac{1}{2\mu_0 \cdot S_{eq}} \quad (III.95)$$

Como algumas grandezas que comparecem nesta equação são obtidas por processos numéricos, não foi possível explicitar F_m em função do tempo.

III.3 - Cálculo das Demais Forças

Tendo obtido a força magnética com a última relação, para ser possível utilizar a Expressão III.1 no cálculo da abertura da válvula, falta avaliar as duas outras forças, a saber, as resistivas e a da mola. Os dois próximos itens estão dedicados a este cálculo.

III.3.1 - Forças Resistivas

Como já mencionado anteriormente, a única força resistiva a ser considerada será a de pressão do fluido, desconsiderando-se atritos no interior da válvula.

Retomando a Figura III.1, verifica-se que, quando a válvula está fechada, a pressão em c é a ambiente; se a válvula estiver instalada em

um satélite que esteja em órbita da Terra, esta pressão será nula.

No outro extremo do funcionamento da válvula, quando ela está totalmente aberta, a pressão em c é igual à pressão em a multiplicada pelo coeficiente de pressão ζ_v .

A força de pressão F_p é provocada pela diferença entre as pressões em a e em c, que atuam sobre a área A_c . Tem-se, então:

$$F_r = F_p = (p_a - p_c) \cdot A_c \quad . \quad (III.96)$$

Com esta equação, basta obter as pressões nos pontos a e c por meio das Expressões III.8 e III.9 para poder calcular esta força. Observe-se que se a válvula de controle for perfeita, seu coeficiente de pressão será unitário e só haverá diferença de pressão entre a e c enquanto a área A_b for menor que A_g , pois durante este período o escoamento em a é subsônico e em c é supersônico.

III.3.2 - Força da Mola

A mola empregada pode ser de diversos tipos. De qualquer forma, admite-se que a variação máxima de seu comprimento, nos limites de sua atuação, seja suficientemente pequeno para que se possa considerar a força produzida por ela como linear com seu comprimento.

Desta forma, a força efetuada pela mola é proporcional ao deslocamento do cursor, que está ligado a uma de suas extremidades, isto é,

$$F_{mo} = F_{ab} + k_m \cdot x \quad , \quad (III.97)$$

sendo F_{ab} a força produzida pela mola quando a válvula está totalmente fechada. Esta força, somada à força de pressão máxima, é a resistência total a ser vencida pela força magnética para iniciar a abertura da válvula.

Tendo sido calculadas todas as forças que participam da Equação III.1, pode-se resolvê-la para obter $x(t)$. No Capítulo V mostra-se a seqüência de resolução destas equações.

CAPÍTULO IV

MODELAGEM DAS MANOBRAS

Como já mencionado, as principais funções de um sistema de jatos de gás são dessaturar rodas de reação e permitir ao satélite uma alteração ou aquisição de atitude. Neste capítulo serão modeladas estas duas manobras para que se possa avaliar o modelo e para que, posteriormente, se possa verificar o desempenho do sistema.

A resolução de algumas das equações obtidas para o modelo foi efetuada por meio de métodos numéricos, os quais estão descritos no próximo capítulo.

IV.1 - Dessaturação de Rodas de Reação

A aquisição de atitude de um satélite pode ser e frequentemente é feita com um sistema de jatos de gás. O apontamento fino do satélite, todavia, normalmente é obtido por meio de rodas de reação, que propiciam precisões maiores que os jatos de gás.

Quando o satélite começa a perder seu apontamento, aciona-se a roda de reação que, ao acelerar-se em um sentido, acelera o satélite em sentido contrário.

Se a perturbação é cíclica, como por exemplo, a pressão de radiação solar, seus efeitos em uma metade da órbita são compensados na outra metade. Neste caso, a roda só tem a função de acumular a energia retirada do satélite em uma das metades da órbita para devolver-lha na outra.

Quando, por outro lado, as perturbações são seculares, como, por exemplo, o arrasto aerodinâmico, para compensar seus efeitos, a roda pode ficar saturada, conforme explicação dada no Capítulo I. Quando isto ocorre, é preciso dessaturá-la, isto é, diminuir sua velocidade a valores próximos de zero.

A dessaturação da roda é feita como descrito a seguir. Inicialmente é enviado à roda um sinal para que ela seja freada. Durante esta desaceleração, o satélite, por reação, tende a acelerar-se, de forma a manter constante a quantidade de movimento do conjunto satélite-roda de reação. Para evitar este movimento do satélite, aciona-se o jato de gás, que é encarregado de suprir o torque contrário que visa manter o satélite em sua posição nominal.

Para efeito desta modelagem, será admitido que a roda de reação tenha respostas instantâneas aos comandos.

Os jatos de gás, por seu turno, apresentam um período transitório de ligamento e outro de desligamento, que serão levados em conta nesta modelagem. Se os micromotores fossem ideais, o perfil do empuxo fornecido por eles seria um retângulo. Como há atrasos, conforme foi estudado no Capítulo III, este perfil é diferente, tendo o aspecto mostrado na Figura IV.1.

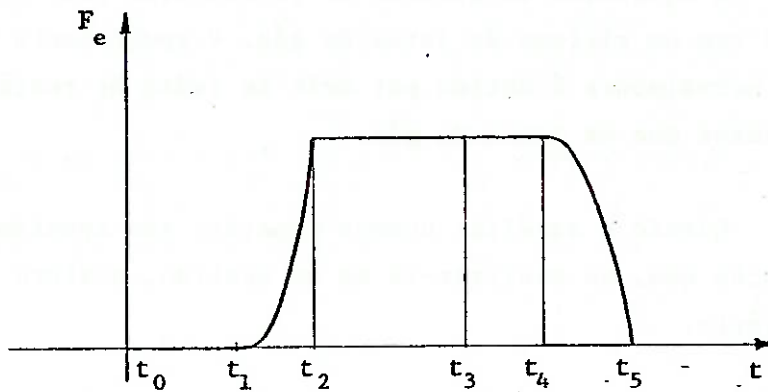


Fig. IV.1 - Evolução do Empuxo dos Micromotores.

O funcionamento da válvula é dividido em etapas, conforme descrito a seguir. O acionamento da válvula se dá em t_0 ; em t_1 inicia-se sua abertura, isto é, entre t_0 e t_1 nenhum empuxo é fornecido, sendo este intervalo de tempo chamado atraso de abertura; em t_2 a válvula está totalmente aberta e o transitório de abertura encerrado; em t_3 a válvula recebe o sinal para fechar, mas somente em t_4 terá início esta operação, devido ao atraso de fechamento; em t_5 a válvula está totalmente fechada e o micromotor não

fornece mais qualquer empuxo.

Fixada a válvula a ser empregada, são conhecidos os seguintes intervalos de tempo, referentes ao transitório:

$$\Delta t_1 = t_1 - t_0 \quad ;$$

$$\Delta t_2 = t_2 - t_1 \quad ;$$

$$\Delta t_4 = t_4 - t_3 \quad ;$$

$$\Delta t_5 = t_5 - t_4 \quad .$$

Define-se o intervalo de tempo entre o sinal de abertura e o de fechamento como t_s , ou seja:

$$\Delta t_s = t_3 - t_0 \quad .$$

Denomina-se t_{dr} ao tempo necessário para a total dessaturação da roda, ou seja, é o tempo entre seu acionamento e seu desligamento. O equacionamento deste tempo é mostrado mais adiante.

Como a roda de reação é utilizada para manobras mais precisas que os jatos de gás, seus torques são mais baixos que os destes últimos. Assim, uma manobra de dessaturação com uso do jato de gás de forma contínua pode ser descrita como segue:

- inicia-se a desaceleração da roda no instante $t = 0$;
- no instante $t = t_0$ acionam-se os micromotores de forma a produzir um torque contrário ao da roda ;
- no instante $t = t_3$ desligam-se os micromotores, com a roda ainda em desaceleração ;
- em $t = t_{dr}$ a roda é desligada; neste instante ela deve estar com a velocidade final desejada (próxima de zero) e o satélite deve estar

com seu apontamento fixo no ponto desejado.

A Figura IV.2 mostra a aceleração, a velocidade e a posição angulares do satélite durante esta manobra.

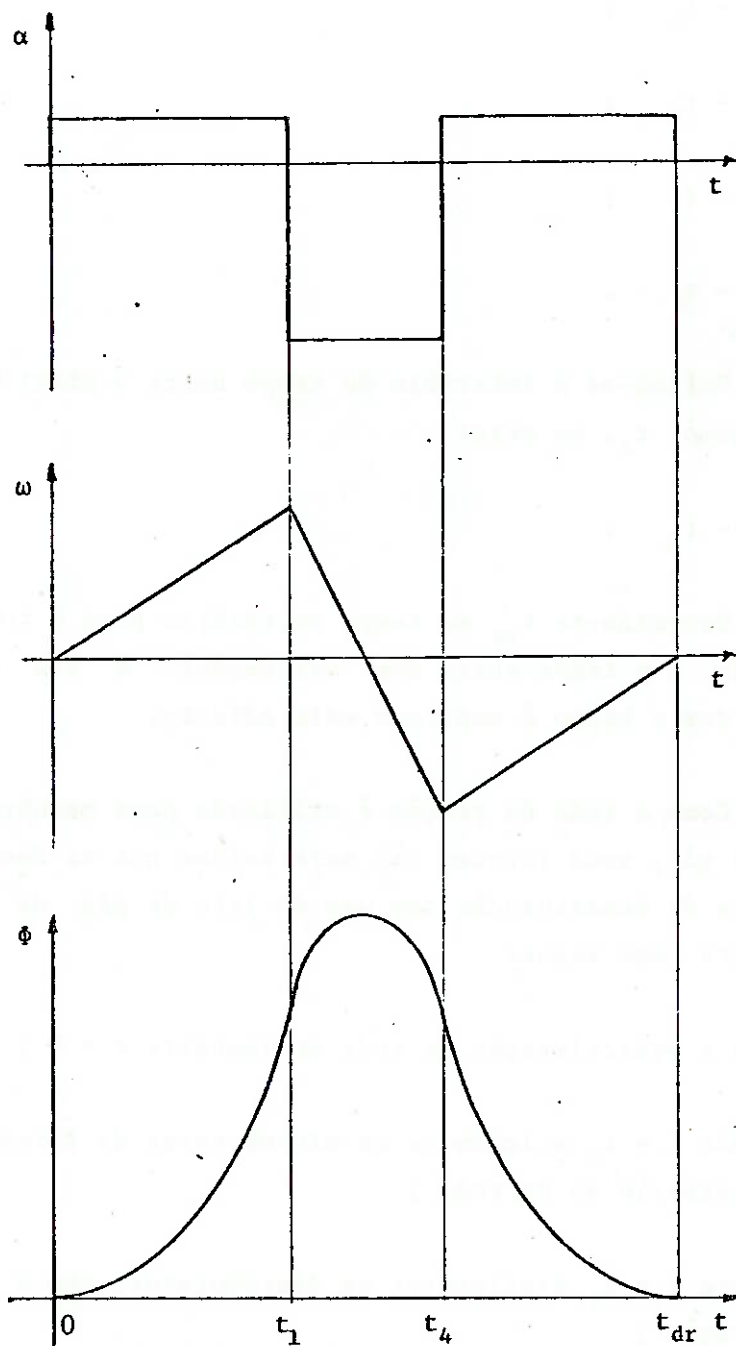


Fig. IV.2 - Aceleração, Velocidade e Posição Angulares do Satélite durante a Dessaturação da Roda de Reação.

Os instantes t_0 , t_2 , t_3 e t_5 não foram representados na figura devido à escala de tempo. Como os intervalos de tempo dos transitórios são consideravelmente menores que os tempos de regime permanente, t_0 e t_2 coincidiriam com t_1 , e t_3 e t_5 coincidiriam com t_4 .

A modelagem desta manobra será feita por fases. Para identificação dos tempos mencionados a seguir, veja-se a Figura IV.1. A primeira fase vai desde $t = 0$ até $t = t_1$; a segunda inicia-se em $t = t_1$ e vai até $t = t_5$; a terceira e última começa neste instante e termina em $t = t_{dr}$.

Para a roda, o equacionamento de sua desaceleração é o seguinte:

$$\alpha_r = - \frac{T_r}{I_r} \quad (IV.1)$$

$$\omega_r = \int - \frac{T_r}{I_r} dt \quad , \text{ ou seja:}$$

$$\omega_{rf} - \omega_{ri} = - \frac{T_r}{I_r} \cdot t_{dr} \quad (IV.2)$$

Nas equações acima, I_r e T_r são, respectivamente, o momento de inércia da roda de reação em relação ao seu eixo de rotação e o torque fornecido por ela. A velocidade da roda quando da decisão de dessaturá-la é ω_{ri} e a velocidade final desejada é ω_{rf} . t_{dr} é o tempo necessário para a dessaturação. Então:

$$t_{dr} = \frac{I_r}{T_r} \cdot (\omega_{ri} - \omega_{rf}) \quad (IV.3)$$

Portanto, dadas as características da roda, sua velocidade inicial (no estado de saturação) e a velocidade final desejada, o tempo de dessaturação já está determinado. Os tempos relacionados aos jatos de gás são equacionados levando em conta as fases mencionadas. O equacionamento mostrado a seguir diz respeito somente ao satélite.

Primeira Fase: $0 \leq t \leq t_1$.

Nesta fase somente a roda atua. Tem-se, então,

$$\alpha_1(t) = \frac{T_r}{I_s} ; \quad (IV.4)$$

$$\omega_1(t) = \frac{T_r}{I_s} \cdot t ; \quad (IV.5)$$

$$\phi_1(t) = \frac{T_r}{2 \cdot I_s} \cdot t^2 . \quad (IV.6)$$

Em $t = t_1$, estas duas últimas equações fornecem:

$$\omega_1(t_1) = \frac{T_r}{I_s} \cdot t_1 ;$$

$$\phi_1(t_1) = \frac{T_r}{2 \cdot I_s} \cdot t_1^2 .$$

Segunda Fase: $t_1 \leq t \leq t_5$.

Nesta fase atuam simultaneamente a roda e os micromotores. Incluem-se aqui, também, os transitórios de ligamento e desligamento dos micromotores, ocorrendo o primeiro entre t_1 e t_2 e o segundo entre t_4 e t_5 . As equações do movimento do satélite durante esta fase são:

$$\alpha_2(t) = \frac{T_r}{I_s} - \frac{N_b \cdot R_s \cdot F_e(t)}{I_s} , \quad (IV.7)$$

onde:

N_b - número de micromotores (bocais) que atuam em cada sentido;

- R_s - raio de fixação dos micromotores em relação ao eixo de rotação;
 $F_e(t)$ - empuxo fornecido por um micromotor no instante t ;
 I_s - momento de inércia do satélite em relação ao eixo considerado.

A velocidade angular do satélite é dada pela integral no tempo da Equação IV.7:

$$\omega_2(t) = \int_{t_1}^t \alpha_2 dt = \frac{T_r}{I_s} \cdot (t - t_1) - \frac{N_b \cdot R_s}{I_s} \cdot \int_{t_1}^t F_e dt + \omega_1(t_1) .$$

Como o intervalo de tempo entre t_1 e t_2 , durante o qual ocorre o transitório, é muito menor que o tempo em que o sistema opera em regime permanente (entre t_2 e t_4), admite-se que o sinal de desligamento da válvula seja enviado durante o regime permanente. Assim sendo, pode-se dividir a integral considerada em duas parcelas:

$$\int_{t_1}^t F_e dt = \int_{t_1}^{t_2} F_e dt + \int_{t_2}^t F_e dt .$$

A primeira parcela envolve o empuxo no transitório de abertura. Seu cálculo depende da evolução do empuxo quando da movimentação do cursor da VC. É função da válvula de controle e das características do sistema, mas não da manobra. Define-se, então:

$$INT_1 = \int_{t_1}^{t_2} F_e dt .$$

Para a segunda parcela, nota-se que o empuxo é constante por ter assumido seu valor de regime permanente, denominado F_{erp} . Esta parcela é dada por:

$$\int_{t_2}^t F_e dt = F_{erp} \cdot (t - t_2) \quad .$$

Após a obtenção destes dois últimos resultados e lembrando o valor de $\omega_1(t_1)$ calculado no final da primeira fase, pode-se escrever:

$$\omega_2(t) = \frac{T_r}{I_s} \cdot t - \frac{N_b \cdot R_s \cdot F_{erp}}{I_s} \cdot (t - t_2) - \frac{N_b \cdot R_s \cdot INT_1}{I_s} \quad . \quad (IV.8)$$

A determinação da posição angular do satélite é conseguida com a integração desta última equação. Para proceder a esta integração é necessário lembrar que as duas últimas parcelas referem-se aos efeitos dos micromotores na velocidade. Assim, a parcela com INT_1 deve ser integrada lembrando que ela vai fornecer dois termos: um que será sua participação no ângulo de giro durante o transitório e outro que considera sua influência total após o transitório. Desta forma, fica-se com:

$$\phi_2(t) = \int_{t_1}^t \omega_2(t) dt + \omega_1(t_1) \cdot (t - t_1) + \alpha_1(t_1) \quad .$$

O resultado final é:

$$\phi_2(t) = \frac{T_r}{2 \cdot I_s} \cdot t^2 - \frac{N_b \cdot R_s}{I_s} \cdot \left[\frac{F_{erp}}{2} \cdot (t - t_2)^2 + INT_1 \cdot (t - t_2) + INT_{12} \right] \quad , \quad (IV.9)$$

onde $INT_{12} = \left[\int_{t_1}^t \left(\int_{t_2}^t F_e dt \right) dt \right]_{t_1}^{t_2} \quad .$

É necessário saber os valores de ω_2 e ϕ_2 , dados pelas Equações IV.8 e IV.9 no instante t_5 , que é o ponto divisor entre as fases 2 e 3. Para isto é preciso considerar que há um outro transitório, de fechamento, entre t_4 e t_5 . Este transitório é tratado da mesma forma que o de abertura. Definindo:

$$INT_2 = \int_{t_4}^{t_5} F_e dt \quad e$$

$$INT_{22} = \left[\int \left(\int F_e dt \right) dt \right]_{t_4}^{t_5}, \text{ tem-se:}$$

$$\omega_2(t_5) = \frac{T_r}{I_s} \cdot t_5 - \frac{N_b \cdot R_s}{I_s} \cdot \left[F_{erp} \cdot (t_4 - t_2) + INT_1 + INT_2 \right] e$$

$$\begin{aligned} \phi_2(t_5) = & \frac{T_r}{2 \cdot I_s} \cdot t_5^2 - \frac{N_b \cdot R_s}{I_s} \cdot \left[\frac{F_{erp}}{2} \cdot (t_4 - t_2)^2 + \right. \\ & \left. + INT_1 \cdot (t_5 - t_2) + INT_{12} + INT_{22} \right] . \end{aligned}$$

Terceira Fase: $t_5 \leq t \leq t_{dr}$.

Nesta fase os micromotores já cessaram sua atuação e, novamente, só a roda atua sobre o satélite. As equações para esta fase são:

$$\alpha_3(t) = \frac{T_r}{I_s} \quad ; \quad (IV.10)$$

$$\omega_3(t) = \frac{T_r}{I_s} \cdot (t - t_5) + \omega_2(t_5) \quad , \text{ ou}$$

$$\omega_3(t) = \frac{T_r}{I_s} \cdot t - \frac{N_b \cdot R_s}{I_s} \cdot \left[F_{erp} \cdot (t_4 - t_2) + INT_1 + INT_2 \right] \quad ; \quad (IV.11)$$

$$\phi_3(t) = \frac{T_r}{2 \cdot I_s} \cdot t^2 - \frac{N_b \cdot R_s}{I_s} \cdot \left[F_{erp} \cdot (t_4 - t_2) + INT_2 \right] \cdot (t - t_5) +$$

$$\begin{aligned}
 & - \frac{N_b \cdot R_s \cdot INT_1}{I_s} \cdot (t - t_2) - \frac{N_b \cdot R_s}{I_s} \cdot \left[\frac{F_{erp}}{2} \cdot (t_4 - t_2)^2 + \right. \\
 & \left. + INT_{12} + INT_{22} \right] \quad . \quad (IV.12)
 \end{aligned}$$

Ao final desta terceira fase, em t_{dr} , o satélite deve estar na mesma posição inicial e com velocidade angular nula. Então:

$$\omega_3(t_{dr}) = 0 \quad e$$

$$\phi_3(t_{dr}) = 0 \quad .$$

Estas duas condições de contorno permitirão achar os valores de Δt_s e de mais um dos tempos envolvidos, de forma que será possível determinar os demais tempos. Com a primeira destas condições a Equação IV.11 fornece:

$$\frac{T_r}{I_s} \cdot t_{dr} - \frac{N_b \cdot R_s}{I_s} \cdot \left[F_{erp} \cdot (t_4 - t_2) + INT_1 + INT_2 \right] = 0 \quad , \text{ ou}$$

$$T_r \cdot t_{dr} - N_b \cdot R_s \cdot [F_{erp} \cdot (t_3 + \Delta t_4 - t_0 - \Delta t_1 - \Delta t_2) + INT_1 + INT_2] = 0$$

Lembrando que $t_3 - t_0 = \Delta t_s$, pode-se isolar esta variável, o que resulta:

$$\Delta t_s = \Delta t_1 + \Delta t_2 - \Delta t_4 + \frac{T_r \cdot t_{dr}}{N_b \cdot R_s \cdot F_{erp}} - \frac{INT_1 + INT_2}{F_{erp}} \quad . \quad (IV.13)$$

Esta equação mostra o tempo que se deve esperar para enviar à válvula o sinal de fechamento, após o sinal de abertura. A outra incógnita procurada, um dos tempos da válvula, pode ser obtida utilizando a segunda condição de contorno na Equação IV.12. Assim,

$$\begin{aligned}
 & \frac{T_r}{2 \cdot I_s} \cdot t_{dr}^2 - \frac{N_b \cdot R_s}{I_s} \cdot [F_{erp} \cdot (t_4 - t_2) + INT_2] \cdot (t_{dr} - t_5) + \\
 & - \frac{N_b \cdot R_s \cdot INT_1}{I_s} \cdot (t_{dr} - t_2) - \frac{N_b \cdot R_s}{I_s} \cdot \left[\frac{F_{erp}}{2} \cdot (t_4 - t_2)^2 + \right.
 \end{aligned}$$

$$+ INT_{12} + INT_{22}] = 0 .$$

Da equação IV.13 tira-se:

$$t_4 - t_2 = \frac{T_r \cdot t_{dr}}{N_b \cdot R_s \cdot F_{erp}} - \frac{INT_1 + INT_2}{F_{erp}} .$$

Substituindo este resultado na equação anterior e juntando os termos semelhantes, chega-se a:

$$T_r \cdot t_{dr} \cdot \left(t_5 - \frac{t_{dr}}{2} \right) - \frac{T_r^2 \cdot t_{dr}^2}{2 \cdot N_b \cdot R_s \cdot F_{erp}} + \frac{T_r \cdot t_{dr} \cdot INT_2}{F_{erp}} +$$

$$- \frac{N_b \cdot R_s}{T_r \cdot t_{dr}} \left[\frac{INT_2^2 - INT_1^2}{2 \cdot F_{erp}} + INT_1 \cdot \Delta t_5 + INT_{12} + INT_{22} \right] = 0 .$$

Isolando t_5 obtêm-se:

$$t_5 = \frac{t_{dr}}{2} + \frac{T_r \cdot t_{dr}}{2 \cdot N_b \cdot R_s \cdot F_{erp}} - \frac{INT_2}{F_{erp}} + \frac{N_b \cdot R_s}{T_r \cdot t_{dr}} \left[\frac{INT_2^2 - INT_1^2}{2 \cdot F_{erp}} +$$

$$+ INT_1 \cdot \Delta t_5 + INT_{12} + INT_{22} \right] . \quad (IV.14)$$

As equações IV.13 e IV.14 fornecem os valores de Δt_s e de t_5 . De posse destes tempos, todos os demais podem ser obtidos através das definições dos intervalos referentes aos transitórios. Fica-se com:

$$t_4 = t_5 - \Delta t_5 ; \quad (IV.15)$$

$$t_3 = t_4 - \Delta t_4 ; \quad (IV.16)$$

$$t_0 = t_3 - \Delta t_s ; \quad (IV.17)$$

$$t_1 = t_0 + \Delta t_1 ; \quad (IV.18)$$

$$t_2 = t_1 + \Delta t_2 \quad (IV.19)$$

IV.2 - Alteração de Atitude

Uma alteração de atitude em um satélite difere de uma correção de atitude, quanto à manobra em si, por ser o ângulo de giro muito maior no primeiro caso.

Inicialmente o satélite tem velocidade angular nula em relação ao eixo considerado, e ângulo de rotação nulo, ou seja, o referencial coincide com sua posição inicial. Ao final da manobra, o satélite deverá ter girado de um ângulo ϕ_d , dado e deverá estar novamente com velocidade nula.

Um gráfico qualitativo da atuação dos micromotores pode ser visto na Figura IV.3.

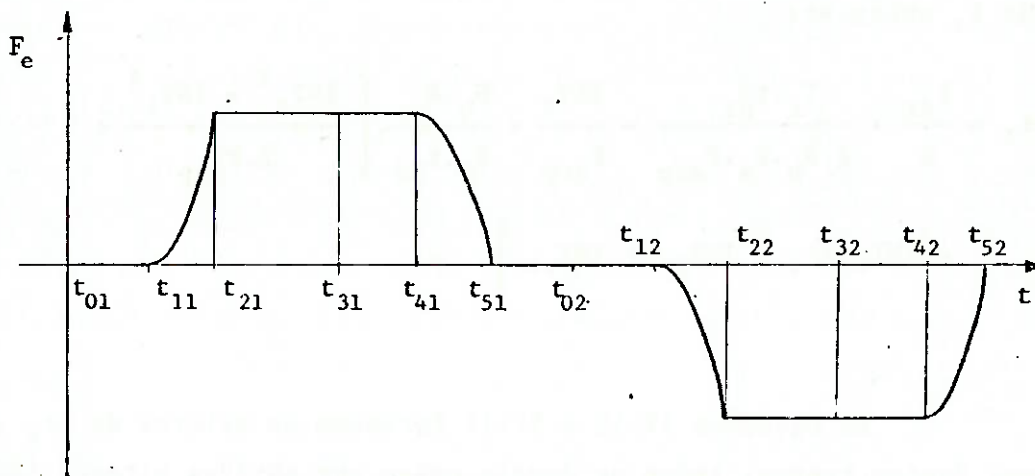


Fig. IV.3 - Empuxo de dois micromotores opostos durante uma alteração de atitude.

Esta manobra pode, então, ser descrita da forma que se segue, lembrando a Figura I.1:

- no instante inicial ligam-se os motores a e c, que permanecem funcionando até o instante t_{51} ;

- neste instante os dois motores deixam de atuar e o satélite gira livremente até t_{12} ;
- em t_{12} começam a atuar os motores b e d ;
- em t_{52} estes motores cessam sua atuação e a manobra está encerrada.

Neste ponto define-se um novo intervalo de tempo, Δt_d , que é o intervalo entre o sinal de desligamento dos primeiros motores e o sinal de ligamento dos outros. Com base nos símbolos da Figura IV.3 tem-se:

$$\Delta t_d = t_{02} - t_{31} \quad (IV.20)$$

O comportamento do satélite em termos de sua aceleração, sua velocidade e sua posição angulares durante esta manobra está mostrado na Figura IV.4.

Para simplificar o equacionamento, divide-se a manobra total em três fases: a primeira tem início em t_{11} e término em t_{51} ; a segunda vai de t_{51} a t_{12} ; e a terceira começa em t_{12} e prolonga-se até t_{52} . Os índices 1, 2 e 3 colocados nos símbolos α , β e ϕ indicam a que fase se refere a grandeza.

Não estão representados nesta figura todos os instantes de tempo envolvidos na manobra devido à escala de tempo (ver comentário após a Figura IV.2).

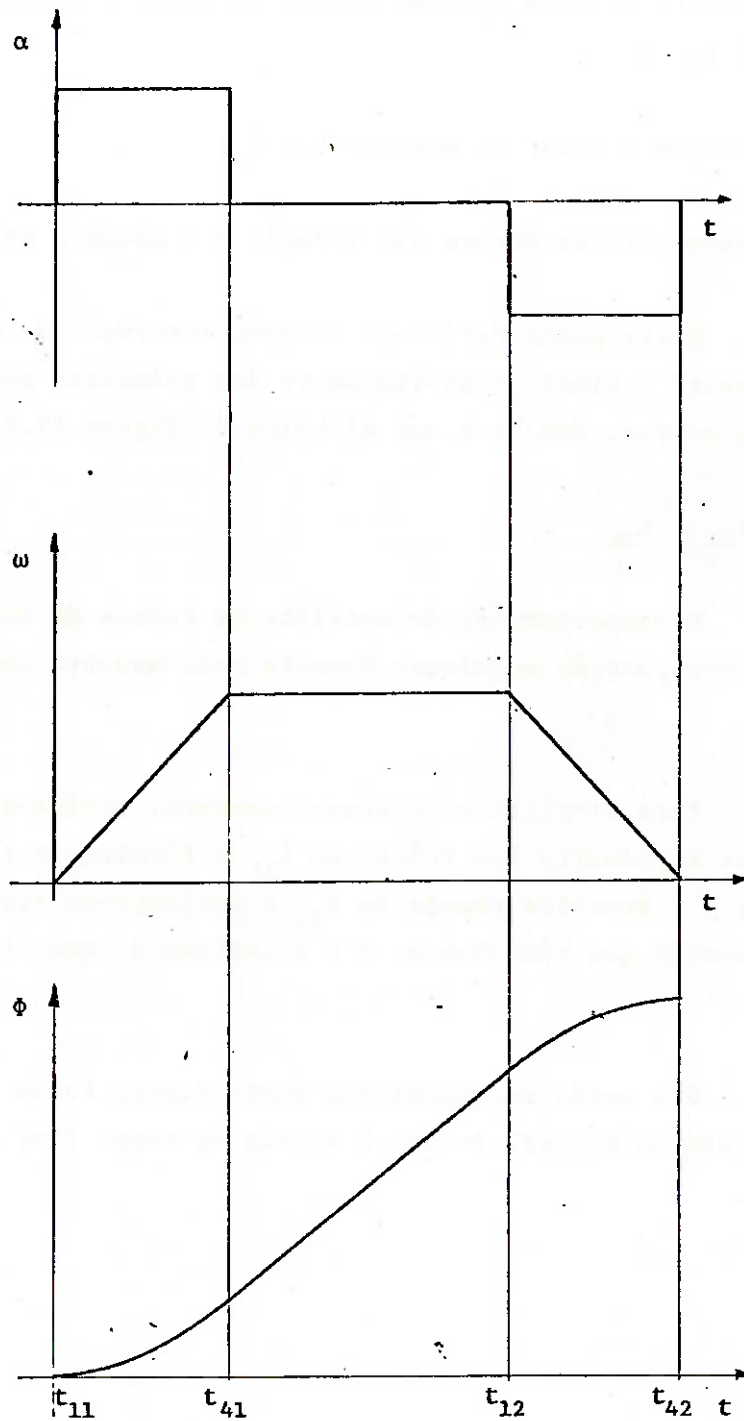


Fig. IV.4 - Aceleração, Velocidade e Posição angulares do Satélite durante uma Alteração de Atitude.

Primeira Fase: $t_{11} \leq t \leq t_{51}$.

Esta fase possui três subfases, a primeira e a última levando em conta os transitórios e a segunda considerando o regime permanente. Para melhor compreensão, cada subfase será tratada independentemente.

- $t_{11} \leq t \leq t_{21}$

$$\alpha_1(t) = \frac{N_b \cdot R_s \cdot F_e(t)}{I_s} ; \quad (\text{IV.21})$$

$$\omega_1(t) = \frac{N_b \cdot R_s}{I_s} \cdot \int_{t_{11}}^t F_e(t) dt ; \quad (\text{IV.22})$$

$$\phi_1(t) = \frac{N_b \cdot R_s}{I_s} \cdot \left[\int \left[\int F_e(t) dt \right] dt \right]_{t_{11}}^t . \quad (\text{IV.23})$$

Para os cálculos referentes à próxima subfase é preciso especificar as expressões IV.22 e IV.23 no instante t_{21} :

$$\omega_1(t_{21}) = \frac{N_b \cdot R_s \cdot \text{INT}_1}{I_s} ;$$

$$\phi_1(t_{21}) = \frac{N_b \cdot R_s \cdot \text{INT}_{12}}{I_s} .$$

- $t_{21} \leq t \leq t_{41}$

$$\alpha_1(t) = \frac{N_b \cdot R_s \cdot F_{\text{exp}}}{I_s} ; \quad (\text{IV.24})$$

$$\omega_1(t) = \omega_1(t_{21}) + \frac{N_b \cdot R_s \cdot F_{erp}}{I_s} \cdot (t - t_{21}) \quad ; \quad (IV.25)$$

$$\phi_1(t) = \phi_1(t_{21}) + \omega_1(t_{21}) \cdot (t - t_{21}) + \frac{N_b \cdot R_s \cdot F_{erp}}{2 \cdot I_s} \cdot (t - t_{21})^2 \quad . \quad (IV.26)$$

As duas últimas equações, calculadas no ponto t_{41} fornecem as condições iniciais para a próxima subfase. Então têm-se:

$$\omega_1(t_{41}) = \frac{N_b \cdot R_s}{I_s} \cdot [F_{erp} \cdot (t_{41} - t_{21}) + INT_1] \quad ;$$

$$\phi_1(t_{41}) = \frac{N_b \cdot R_s}{I_s} \cdot \left[\frac{F_{erp}}{2} \cdot (t_{41} - t_{21})^2 + INT_1 \cdot (t_{41} - t_{21}) + INT_{12} \right]$$

$$- t_{41} \leq t \leq t_{51}$$

$$\alpha_1(t) = \frac{N_b \cdot R_s \cdot F_e(t)}{I_s} \quad ; \quad (IV.27)$$

$$\omega_1(t) = \omega_1(t_{41}) + \frac{N_b \cdot R_s}{I_s} \cdot \int_{t_{41}}^t F_e(t) dt \quad ; \quad (IV.28)$$

$$\phi_1(t) = \phi_1(t_{41}) + \omega_1(t_{41}) \cdot (t - t_{41}) + \frac{N_b \cdot R_s}{I_s} \cdot \left[\int \left[\int F_e(t) dt \right] dt \right]_{t_{41}}^t \quad . \quad (IV.29)$$

Aplicando essas duas últimas equações ao instante t_{51} , obtêm-se as condições iniciais para a segunda fase:

$$\omega_1(t_{51}) = \frac{N_b \cdot R_s}{I_s} \cdot \left[F_{\text{erp}} \cdot (t_{41} - t_{21})^2 + \text{INT}_1 + \text{INT}_2 \right] ;$$

$$\phi_1(t_{51}) = \frac{N_b \cdot R_s}{I_s} \cdot \left[\frac{F_{\text{erp}}}{2} \cdot (t_{41} - t_{21})^2 + F_{\text{erp}} \cdot (t_{41} - t_{21}) \cdot (t_{51} - t_{41}) + \text{INT}_1 \cdot (t_{51} - t_{21}) + \text{INT}_{12} + \text{INT}_{22} \right] .$$

Segunda Fase: $t_{51} \leq t \leq t_{12}$.

Nesta fase não há torques sendo aplicados ao satélite, que gira livremente com velocidade constante. Portanto, têm-se:

$$\alpha_2(t) = 0 ; \quad (\text{IV.30})$$

$$\omega_2(t) = \omega_1(t_{51}) ; \quad (\text{IV.31})$$

$$\phi_2(t) = \phi_1(t_{51}) + \omega_1(t_{51}) \cdot (t - t_{51}) . \quad (\text{IV.32})$$

Interessam nesta fase os valores de ω_2 e ϕ_2 no instante t_{12} , que é quando começa a fase 3. Têm-se:

$$\omega_2(t_{12}) = \frac{N_b \cdot R_s}{I_s} \cdot \left[F_{\text{erp}} \cdot (t_{41} - t_{21}) + \text{INT}_1 + \text{INT}_2 \right] ;$$

$$\phi_2(t_{12}) = \frac{N_b \cdot R_s}{I_s} \cdot \left[F_{\text{erp}} \cdot (t_{41} - t_{21}) \cdot (t_{12} - t_{41}) + \frac{F_{\text{erp}}}{2} \cdot (t_{41} - t_{21})^2 + \text{INT}_1 \cdot (t_{12} - t_{21}) + \text{INT}_2 \cdot (t_{12} - t_{51}) + \text{INT}_{12} + \text{INT}_{22} \right] .$$

Terceira Fase: $t_{12} \leq t \leq t_{52}$.

Analogamente à primeira fase, três subfases são definidas.

Têm-se, então:

$$- t_{12} \leq t \leq t_{22}$$

$$\alpha_3(t) = - \frac{N_b \cdot R_s \cdot F_e(t)}{I_s} ; \quad (IV.33)$$

$$\omega_3(t) = \omega_2(t_{12}) - \frac{N_b \cdot R_s}{I_s} \cdot \int_{t_{12}}^t F_e(t) dt ; \quad (IV.34)$$

$$\begin{aligned} \phi_3(t) = & \phi_2(t_{12}) + \omega_2(t_{12}) \cdot (t - t_{12}) + \\ & - \frac{N_b \cdot R_s}{I_s} \cdot \left[\int \left[\int F_e(t) dt \right] dt \right]_{t_{12}}^t . \end{aligned} \quad (IV.35)$$

No instante t_{22} , quando se inicia a segunda subfase, têm-se:

$$\omega_3(t_{22}) = \frac{N_b \cdot R_s}{I_s} \cdot \left[F_{erp} \cdot (t_{41} - t_{21}) + INT_2 \right] ;$$

$$\begin{aligned} \phi_3(t_{22}) = & \frac{N_b \cdot R_s}{I_s} \cdot \left[\frac{F_{erp}}{2} \cdot (t_{41} - t_{21})^2 + F_{erp} \cdot (t_{41} - t_{21}) \cdot (t_{22} - t_{41}) + \right. \\ & \left. + INT_1 \cdot (t_{22} - t_{21}) + INT_2 \cdot (t_{22} - t_{51}) + INT_{22} \right] . \end{aligned}$$

$$- t_{22} \leq t \leq t_{42}$$

Para esta subfase, as equações válidas são:

$$\alpha_3(t) = - \frac{N_b \cdot R_s \cdot F_{erp}}{I_s} ; \quad (IV.36)$$

$$\omega_3(t) = \omega_3(t_{22}) - \frac{N_b \cdot R_s \cdot F_{erp}}{I_s} \cdot (t - t_{22}) \quad ; \quad (IV.37)$$

$$\phi_3(t) = \phi_3(t_{22}) + \omega_3(t_{22}) \cdot (t - t_{22}) - \frac{N_b \cdot R_s \cdot F_{erp}}{2 \cdot I_s} \cdot (t - t_{22})^2 \quad . \quad (IV.38)$$

Esta subfase termina em t_{42} . Neste instante têm-se:

$$\omega_3(t_{42}) = \frac{N_b \cdot R_s}{I_s} \cdot \left[F_{erp} \cdot (t_{41} - t_{21}) - F_{erp} \cdot (t_{42} - t_{22}) + INT_2 \right] \quad ;$$

$$\begin{aligned} \phi_3(t_{42}) = \frac{N_b \cdot R_s}{I_s} \cdot \left[\frac{F_{erp}}{2} \cdot (t_{41} - t_{21})^2 - \frac{F_{erp}}{2} \cdot (t_{42} - t_{22})^2 + \right. \\ \left. + F_{erp} \cdot (t_{41} - t_{21}) \cdot (t_{42} - t_{41}) + INT_1 \cdot (t_{22} - t_{21}) + \right. \\ \left. + INT_2 \cdot (t_{42} - t_{51}) + INT_{22} \right] \quad . \end{aligned}$$

$$- t_{42} \leq t \leq t_{52}$$

Nesta subfase, que é a última componente da manobra total, as equações do movimento são:

$$\alpha_3(t) = - \frac{N_b \cdot R_s \cdot F_e(t)}{I_s} \quad ; \quad (IV.39)$$

$$\omega_3(t) = \omega_3(t_{42}) - \frac{N_b \cdot R_s}{I_s} \cdot \int_{t_{42}}^t F_e(t) dt \quad ; \quad (IV.40)$$

$$\begin{aligned} \phi_3(t) = & \phi_3(t_{42}) + \omega_3(t_{42}) \cdot (t - t_{42}) + \\ & - \frac{N_b \cdot R_s}{I_s} \cdot \left[\int \left[\int \left[\int F_e(t) dt \right] dt \right] dt \right]_{t_{42}}^t \end{aligned} \quad (IV.41)$$

No instante t_{52} termina a manobra completa e as duas últimas equações fornecem:

$$\omega_3(t_{52}) = \frac{N_b \cdot R_s}{I_s} \cdot \left[F_{erp} \cdot (t_{41} - t_{21}) - F_{erp} \cdot (t_{42} - t_{22}) \right] ;$$

$$\begin{aligned} \phi_3(t_{52}) = & \frac{N_b \cdot R_s}{I_s} \cdot \left[\frac{F_{erp}}{2} \cdot (t_{41} - t_{21})^2 - \frac{F_{erp}}{2} \cdot (t_{42} - t_{22})^2 + \right. \\ & + F_{erp} \cdot (t_{41} - t_{21}) \cdot (t_{52} - t_{41}) - F_{erp} \cdot (t_{42} - t_{21}) \cdot (t_{52} - t_{42}) + \\ & \left. + INT_1 \cdot (t_{22} - t_{21}) + INT_2 \cdot (t_{52} - t_{51}) \right] . \end{aligned}$$

No final da manobra deseja-se que o satélite esteja com velocidade angular nula e com o apontamento desejado, ou seja, $\omega_3(t_{52}) = 0$ e $\phi_3(t_{52}) = \phi_d$. Com a primeira destas condições de contorno obtêm-se:

$$(t_{42} - t_{22}) = (t_{41} - t_{21}) .$$

Introduzindo os intervalos de tempo, este resultado pode ser reescrito como:

$$t_{32} + \Delta t_4 - (t_{02} + \Delta t_1 + \Delta t_2) = t_{31} + \Delta t_4 - (t_{01} + \Delta t_1 + \Delta t_2) ,$$

ou seja:

$$\Delta t_{s1} = \Delta t_{s2} = \Delta t_s . \quad (IV.42)$$

A conclusão a que esta equação conduz é de que a largura dos pulsos deve ser a mesma. A outra condição produz:

$$\frac{N_b \cdot R_s}{I_s} \cdot [F_{erp} \cdot (t_{41} - t_{21}) \cdot (t_{42} - t_{41}) + INT_1 \cdot (t_{22} - t_{21}) + \\ + INT_2 \cdot (t_{52} - t_{51})] = \phi_d ,$$

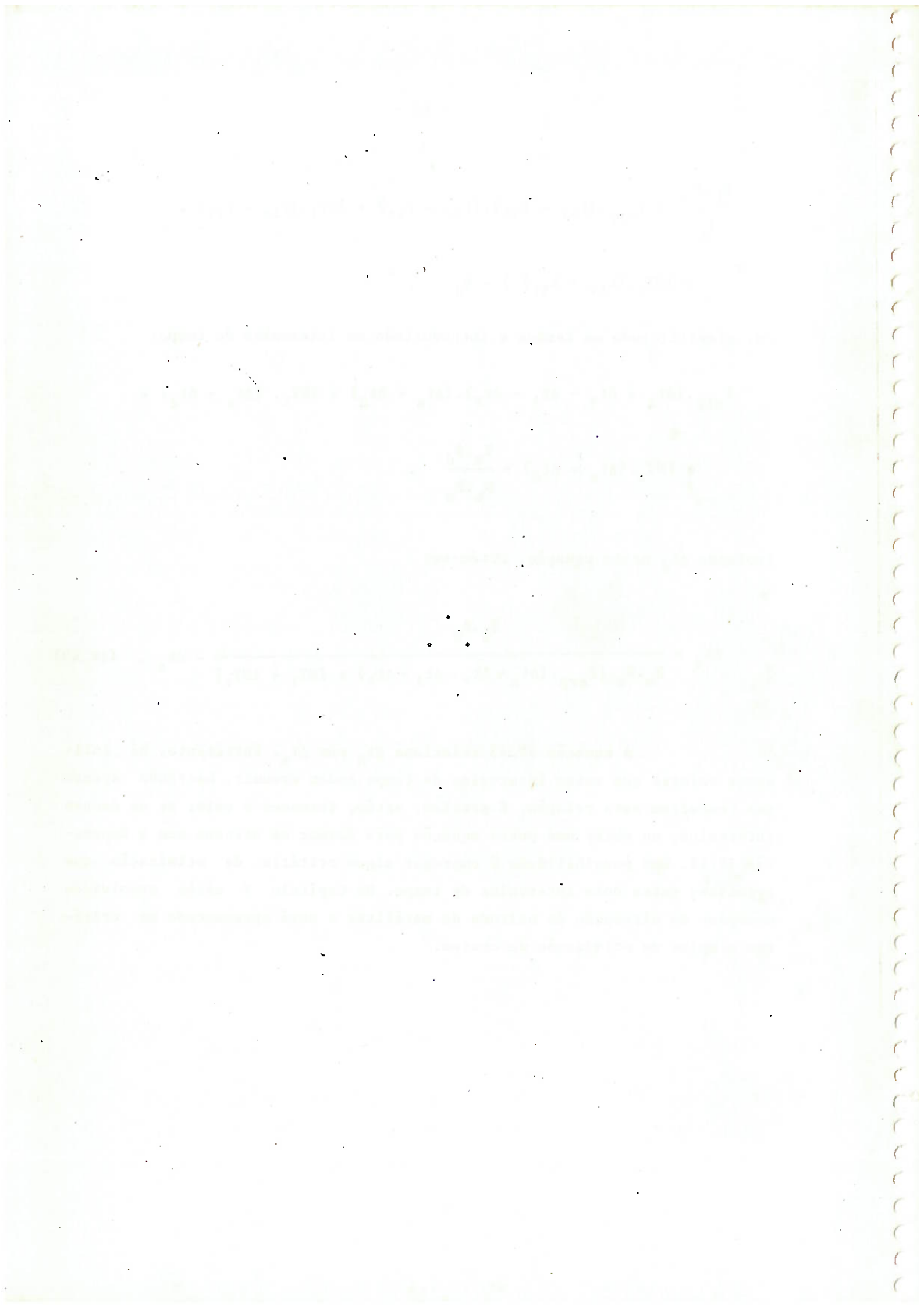
ou, simplificando os termos e introduzindo os intervalos de tempo:

$$F_{erp} \cdot (\Delta t_s + \Delta t_4 - \Delta t_1 - \Delta t_2) \cdot (\Delta t_s + \Delta t_d) + INT_1 \cdot (\Delta t_s + \Delta t_d) + \\ + INT_2 \cdot (\Delta t_s + \Delta t_d) = \frac{I_s \cdot \phi_d}{N_b \cdot R_s} .$$

Isolando Δt_d nesta equação, obtém-se:

$$\Delta t_d = \frac{I_s \cdot \phi_d}{N_b \cdot R_s \cdot [F_{erp} \cdot (\Delta t_s + \Delta t_4 - \Delta t_1 - \Delta t_2) + INT_1 + INT_2]} - \Delta t_s . \quad (IV.43)$$

A equação IV.43 relaciona Δt_d com Δt_s . Entretanto, há infinitos valores que estes intervalos de tempo podem assumir, bastando apenas que respeitem esta relação. É preciso, então, fornecer o valor de um destes intervalos, ou obter uma outra equação para formar um sistema com a Expressão IV.43. Uma possibilidade é empregar algum critério de otimização que relacione estes dois intervalos de tempo. No Capítulo V serão resolvidos exemplos de alteração de atitude de satélites e será apresentado um critério simples de otimização de custos.



CAPÍTULO V

RESOLUÇÃO DE EXEMPLOS

Todo o equacionamento desenvolvido nos capítulos precedentes é bastante complexo, de forma que se torna necessário resolver alguns exemplos para poder avaliar a consistência do modelo. Inicialmente apresentam-se de forma sucinta os métodos numéricos que foram empregados no modelo. Em seguida mostra-se a seqüência de resolução das equações do modelo, para o regime permanente e para o transitório.

Por último são resolvidos alguns exemplos representativos para comprovar o equacionamento.

V.1 - Métodos Numéricos Empregados

Embora os procedimentos numéricos apresentados a seguir possam ser encontrados em qualquer bom livro sobre o assunto (ver bibliografia no final do trabalho), foi reservada uma seção deste trabalho para sua apresentação por causa da grande dificuldade em sua implementação para as equações obtidas.

Os problemas que tiveram de ser resolvidos numericamente foram: ajuste de curvas a um conjunto de pontos; localização de zeros de funções; resolução de sistema de equações diferenciais não-lineares.

Nos próximos itens serão explicados esses métodos e onde eles foram aplicados.

V.1.1 - Ajuste de Curvas

Este tipo de problema surgiu quando da utilização das curvas de magnetização ($B \times H$) dos materiais magnéticos componentes das válvulas de controle.

Normalmente dispõe-se de gráficos fornecidos em livros ou manuais com as curvas desejadas. Mais raramente encontram-se tabelas com os pares de pontos. Este último é o melhor caso, pois no primeiro é preciso fazer a leitura dos pontos nos gráficos.

Em qualquer dos dois casos, após dispor de uma tabela com os pares (H,B) é preciso ajustar uma curva a eles para que se possa realizar os cálculos necessários em qualquer região da curva.

Dentre os vários métodos existentes, o escolhido foi o ajuste por polinômio de terceiro grau suavizado (em Inglês o método é conhecido como spline) [Forsythe et alli, 1977].

O método da suavização já é conhecido há muito tempo. As régua flexíveis, usadas por desenhistas para traçar curvas que passem por uma série de pontos, fazem este ajuste mecanicamente (em Inglês estas régua se chamam justamente spline, de onde surgiu o nome do método). Ao se ajustar a régua aos pontos, o perfil que ela assume é aquele que minimiza sua energia potencial e com base nisto é possível equacionar as curvas.

Da teoria da resistência dos materiais [Forsythe et alli, 1977], sabe-se que esta energia é proporcional à integral do quadrado da curvatura da régua. Se as tangentes ao perfil não tiverem valores elevados, será válido escrever:

$$E_p \cong \int [s''(x)]^2 dx \quad . \quad (V.1)$$

Se se dispõe de n pontos (x_i, y_i) , com conseqüentes n-1 intervalos, deve-se ter n-1 segmentos de polinômios cúbicos, gerando $4n-4$ parâmetros a serem determinados.

As primeiras n condições surgem da imposição de se ter

$$s(x_i) = y_i \quad , \quad i = 1, 2, 3, \dots, n. \quad (V.2)$$

Exige-se da função interpoladora que ela tenha derivadas contínuas nos $n-2$ pontos interiores, o que estabelece mais $n-2$ condições.

Com a condição de energia potencial mínima obtêm-se mais $2n-2$ restrições, perfazendo, até aqui, $4n-4$ condições de contorno.

Uma análise matemática destes polinômios de ajuste [Ahlberg et alli, 1967] revela que, para que eles tenham a menor curvatura possível é necessário ter:

$$s''(x_1) = s''(x_n) = 0 \quad . \quad (V.3)$$

Desta forma obtêm-se as duas últimas condições que faltavam e torna-se possível obter os coeficientes de todos os polinômios. Para uma análise detalhada deste método deve-se consultar Forsythe et alli (1977).

V.1.2 - Localização de Zeros de Funções

Para a solução de duas das equações finais, optou-se pelo uso de métodos numéricos: a equação II.29, que permite calcular o número de Mach em uma dada secção, e a Equação III.39, com a qual se obtém o valor da densidade de fluxo magnético B_m .

Vários são os métodos disponíveis, cada um com vantagens e desvantagens em relação aos demais. Dois deles foram empregados: para a resolução da Equação II.12 foi usado o método de Newton-Raphson; para a solução da Expressão III.39 empregou-se o método denominado "Regula Falsi". A seguir estão explicados estes procedimentos.

V.1.2.1 - Método de Newton-Raphson

Este é o mais conhecido procedimento para localização de zeros de funções, principalmente pela sua rápida convergência para a solução desejada. A Figura V.1 ilustra sua aplicação.

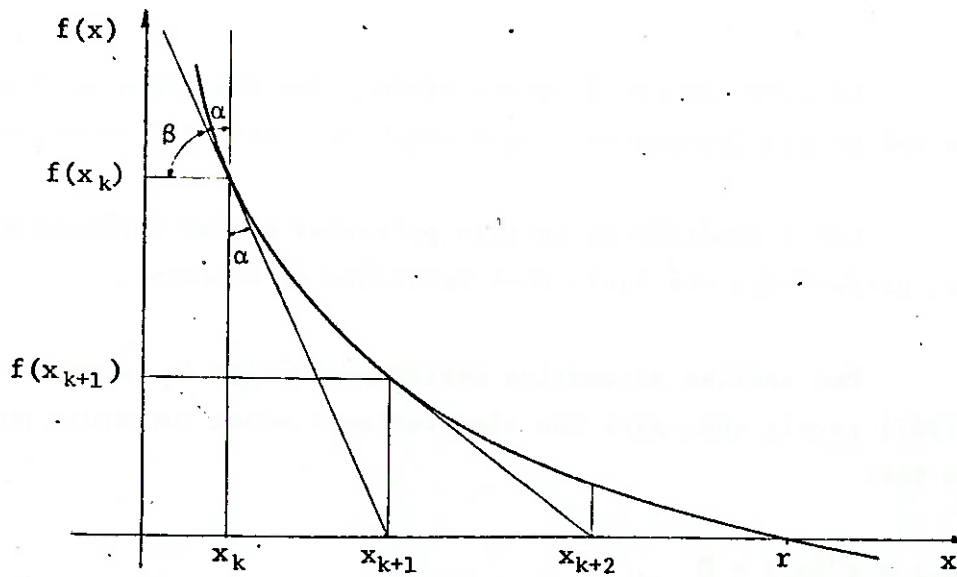


Fig. V.1 - Interpretação Gráfica do Método de Newton-Raphson.

Na figura acima, a reta que passa pelos pontos $(x_k, f(x_k))$ e $(x_{k+1}, 0)$ é tangente à curva no ponto x_k . Considere-se o triângulo com vértices em $(x_k, 0)$, $(x_{k+1}, 0)$ e $(x_k, f(x_k))$. Tem-se:

$$\operatorname{tg} \alpha = \frac{x_{k+1} - x_k}{0 - f(x_k)} \quad (V.4)$$

Da figura também se deduz:

$$\alpha = \frac{\pi}{2} - \beta$$

Da trigonometria tem-se:

$$\operatorname{tg} \alpha = \operatorname{cotg} \beta = \frac{1}{\operatorname{tg} \beta} \quad (V.5)$$

Observando o ângulo β verifica-se facilmente que:

$$\operatorname{tg} \beta = f'(x_k) \quad ,$$

o que, juntamente com as Equações V.4 e V.5, fornece:

$$\frac{x_{k+1} - x_k}{-f(x_k)} = \frac{1}{f'(x_k)}, \text{ ou}$$

$$x_{k+1} = x_k - \frac{f(x_k)}{f'(x_k)} \quad (V.6)$$

Esta é a equação que define o método de Newton-Raphson. Normalmente obtém-se convergência rápida com esta equação, mas há três inconvenientes. O primeiro é a necessidade de se calcular a derivada da função em cada ponto da iteração. Quando se trabalha com polinômios o problema é minimizado, mas ao lidar-se com equações transcendentais o cálculo de sua derivada pode se algo bastante fastidioso.

O segundo inconveniente é a inaplicabilidade do método quando se tem um ponto com derivada nula (máximo ou mínimo local); ou mesmo em suas proximidades. Nesta região, por ser a derivada bastante pequena, a variação em x , calculada pelo método, pode resultar tão grande que o ponto x_{k+1} pode vir a localizar-se em uma região totalmente diferente da função, talvez até próximo de outro zero.

O terceiro inconveniente deste método é a possibilidade de não haver convergência. Esta situação pode ocorrer quando se está numa região em que a função é positiva (negativa) e há nas proximidades um mínimo (máximo) local também positivo (negativo).

Por estas razões, deve-se tomar cuidado ao empregar este procedimento com funções de comportamento desconhecido.

Foi utilizado este método com a equação II.12, que tem gráfico similar ao de uma parábola para $x > 0$ e com único ponto de derivada nula (mínimo) em $x = 1$, onde $f(x) = 1$. Considerando que é possível saber quando o número de Mach é maior ou menor que a unidade - o que equivale a dizer escoamento supersônico ou subsônico - dada a relação de áreas, admite-se um valor inicial adequado e o método sempre converge.

V.1.2.2 - Método "Regula Falsi"

Este método também é bastante conhecido e empregado e tem a vantagem de não ser influenciado por derivadas nulas, apesar de normalmente precisar de mais iterações que o método anterior para atingir a mesma precisão. A figura V.2 ilustra o procedimento.

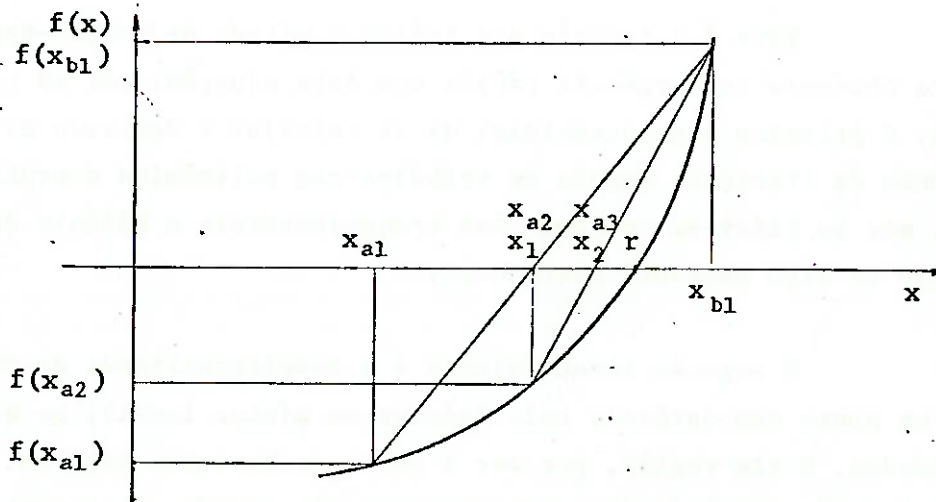


Fig. V.2 - Interpretação Geométrica do Método "Regula Falsi".

Para começar a procura é preciso localizar dois valores de x nos quais a função tenha sinais diferentes. Sendo a função contínua, sabe-se que entre estes dois pontos há um número ímpar de raízes. Se o comportamento da função é conhecido, é possível afirmar que dentro deste intervalo há apenas uma raiz.

Sejam x_{a1} e x_{b1} os extremos deste intervalo. No procedimento geométrico, traça-se a corda que liga os pontos $(x_{a1}, f(x_{a1}))$ e $(x_{b1}, f(x_{b1}))$. O ponto onde esta reta cruza o eixo x , denominado x_1 , vai substituir x_{a1} ou x_{b1} , diminuindo o intervalo de busca. Para decidir qual dos dois valores ele vai substituir, basta comparar o sinal da função neste novo ponto com o sinal nos extremos. O novo ponto será colocado no lugar do extremo cuja função tenha o mesmo sinal de $f(x_1)$. No exemplo mostrado na Figura V.2, $f(x_1)$ tem o mesmo sinal de $f(x_{a1})$. Assim sendo, x_1 passa a ser x_{a2} , de forma que $f(x_{a2})$ e $f(x_{b1})$ continuem tendo sinais opostos.

Matematicamente, x_1 é dado por:

$$x_1 = \frac{x_{b_1} \cdot f(x_{a_1}) - x_{a_1} \cdot f(x_{b_1})}{f(x_{b_1}) - f(x_{a_1})} \quad (V.7)$$

Este método é bastante semelhante ao da bisecção, podendo mesmo ser considerado um aperfeiçoamento deste, do qual difere apenas na escolha de x_1 . Neste, o novo ponto é escolhido como o ponto médio do intervalo (x_{a_1}, x_{b_1}) .

O critério aqui explicado foi empregado para obter o valor de B da Equação III.39. Como a função em questão não era conhecida, para evitar os problemas mencionados com o método anterior optou-se por este processo ao invés do de Newton-Raphson.

V.1.3 - Solução de Sistema de Equações Diferenciais

A necessidade de resolver equações diferenciais surgiu com a Expressão III.1 que, integrada, fornece o valor de x , ou seja, da abertura da válvula em função do tempo. Esta equação, entretanto, requer o valor da corrente que percorre o solenóide, dada pela Equação III.93 sob forma diferencial. Como esta última depende de x , tem-se um sistema de duas equações diferenciais com duas funções incógnitas.

Considerando que os métodos de solução de sistemas de equações diferenciais trabalham com equações de 1ª ordem, foi reduzida a ordem da Expressão III.1, efetuando a seguinte mudança de variáveis:

$$\dot{x} = v_c \quad e \quad (V.8)$$

$$\dot{v}_c = \frac{1}{m_c} \cdot (F_m - F_{m0} - F_r) \quad , \quad (V.9)$$

esta última sendo a própria Relação III.1, já com a nova variável. Agora as Equações III.93, V.8 e V.9 formam um sistema de 3 equações diferenciais de

primeira ordem com 3 funções incógnitas: I, v_c e x.

V.1.3.1 - Método de Runge-Kutta

Para a resolução da equação diferencial

$$y' = f(x,y) \quad , \quad (V.10)$$

sendo dado $y(x_n) = y_n$ e o passo de integração h, este método propõe, para um erro da ordem de h^5 , uma solução através de:

$$y_{n+1} = y_n + \frac{1}{6} \cdot (k_1 + 2.k_2 + 2.k_3 + k_4) \quad , \quad (V.11)$$

onde

$$k_1 = h.f(x_n, y_n) \quad ;$$

$$k_2 = h.f(x_n + h/2, y_n + k_1/2) \quad ;$$

$$k_3 = h.f(x_n + h/2, y_n + k_2/2) \quad ;$$

$$k_4 = h.f(x_n + h, y_n + k_3) \quad .$$

A explicação geométrica deste processo é dada a seguir.

No ponto (x_n, y_n) calcula-se a tangente usando V.10, resultando k_1/h . Caminha-se meio passo à frente e utiliza-se esta tangente para calcular a função, obtendo-se o ponto $(x_n+h/2, y_n+k_1/2)$. Neste ponto calcula-se a nova tangente, k_2/h , a qual é aplicada no ponto inicial para, novamente, calcular-se o valor da função no ponto médio, resultando $(x_n+h/2, y_n+k_2/2)$. Calcula-se, então uma terceira inclinação k_3/h , com a qual parte-se uma vez mais do ponto inicial. Desta vez a função é avaliada um passo inteiro à frente, resultando o ponto (x_n+h, y_n+k_3) . Com este novo ponto, computa-se a tangente à curva, resultando k_4/h .

Com as quatro tangentes obtidas, calcula-se uma inclinação média, ponderando-as com pesos 1, 2, 2 e 1, respectivamente.

Esta inclinação resultante é utilizada para calcular o valor da função em $x_{n+1} = x_n + h$, por meio da Relação V.11.

Esta expressão pode ser obtida a partir da função y , expandindo-a em série de Taylor e truncando-a no termo de quarta ordem. Daí ser este método chamado "Runge-Kutta de quarta ordem". Obviamente, pode-se expandir a função até onde se deseje, sendo também bastante conhecidos os métodos de 2ª e 3ª ordem.

Um detalhamento maior da obtenção desta solução foge ao escopo deste trabalho e poderá ser encontrado, por exemplo, em Carnahan et alli (1969), em Hamming (1962) ou ainda em Hildebrand (1956).

V.1.3.2 - Método Preditor-Corretor

O método descrito no item anterior tem bom desempenho, mas tem o inconveniente de exigir muitos cálculos para chegar ao novo ponto integrado. Um meio de contornar este problema é utilizar o método tratado neste item.

Neste procedimento faz-se uma previsão do novo ponto por meio de uma fórmula e, partindo deste novo ponto, corrige-se seu valor por meio de outra equação.

Para a previsão foi escolhido o preditor de Milne de 4ª ordem:

$$y_{i+1,0} = y_{i-3} + \frac{4.h}{3} \cdot (2.f_i - f_{i-1} + 2.f_{i-2}) \quad , \quad (V.12)$$

onde $f_i = f(x_i) = y'(x_i)$. O segundo índice de y no lado esquerdo da igualdade indica o número da correção. Quando o ponto já foi corrigido e está inte-

grado, elimina-se este segundo índice, como ocorre com o valor de y no lado direito da igualdade.

Em seguida melhora-se o valor desta previsão admitindo que o erro de truncamento em intervalos adjacentes não difira apreciavelmente, obtendo:

$$y_{i+1,0}^* = y_{i+1,0} + \frac{112}{121} \cdot (y_{i,k} - y_{i,0}) \quad (V.13)$$

O valor de $y_{i,k}$ representa a solução final do corretor para o ponto atual.

Agora faz-se a correção do valor atual por meio do corretor de Hamming de 4ª ordem:

$$y_{i+1,j+1} = \frac{1}{8} \cdot \left\{ 9 \cdot y_{i,j} - y_{i-2,j} + 3 \cdot h \cdot [f(x_{i+1}, y_{i+1,j}) + 2 \cdot f_i - f_{i-1}] \right\} \quad (V.14)$$

Esta equação pode ser aplicada até que seja satisfeito algum critério de convergência pré-estabelecido.

Os valores de $y_{i+1,k}$ e $y_{i+1,0}$ são, então, usados para estimar o erro de truncamento E_t para o corretor através de:

$$E_t = \frac{9}{121} \cdot (y_{i+1,k} - y_{i+1,0}) \quad (V.15)$$

Depois disto, o valor final para y_{i+1} é obtido da relação:

$$y_{i+1} = y_{i+1,k} - E_t \quad (V.16)$$

Uma análise da Relação V.12 revela que o primeiro ponto que

pode ser calculado por aquela fórmula é o de número 4. Isto significa que, para usar este método, é preciso conhecer o valor de y em 3 pontos de antemão. Em outras palavras, este procedimento precisa de um outro que forneça estes pontos. Neste trabalho estes três primeiros pontos foram calculados por Runge-Kutta.

Este método pode ser estudado detalhadamente em Carnahan et alli (1969).

V.2 - Seqüência de Resolução

Como o número de equações do modelo é bastante elevado, e como a ordem de resolução nem sempre é a mesma apresentada no texto, torna-se interessante mostrar a seqüência segundo a qual se resolve um caso.

O Capítulo IV mostrou que uma determinada manobra depende do empuxo fornecido pelos micromotores e dos tempos de atraso devidos aos transitórios. Assim, basta saber o valor do empuxo de regime permanente e ter sua curva em função do tempo durante os períodos transitórios para resolver as manobras.

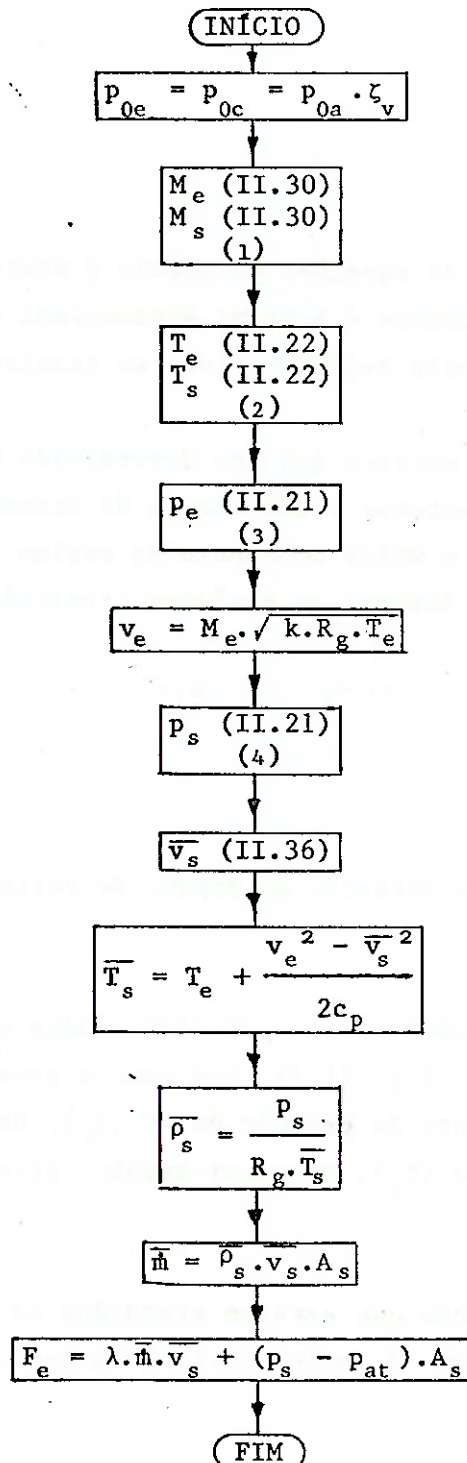
V.2.1 - Regime Permanente

A seqüência de obtenção do empuxo de regime permanente (F_{erp}) é descrita a seguir.

Inicialmente admitem-se conhecidas todas as dimensões de interesse do sistema global (V. Fig. II.1), bem como a pressão de estagnação regulada (p_{0sv}) e o coeficiente de pressão da VC (ζ_v). Do bocal conhecem-se sua temperatura de estagnação (T_0), seu semi-ângulo divergente (θ) e seu rendimento (η_b).

Admite-se também que estejam atendidas as restrições II.3 e II.4. Desta forma tem-se número de Mach unitário na garganta e maior que 1 na secção s do bocal.

O diagrama de blocos mostrado a seguir esquematiza a seqüência de resolução. Quando, em um bloco, aparece uma variável e um número de equação entre parênteses, isto significa que a variável em questão é obtida por meio da equação citada. Esta expressão é encontrada no final do diagrama. Números pequenos entre parênteses indicam observações que podem ser encontradas após as equações.



$$\frac{1}{M} \cdot \left[\frac{2}{k+1} \cdot \left(1 + \frac{k-1}{2} \cdot M^2 \right) \right]^{ep} = \frac{A}{A_g} ; \quad (\text{II.30})$$

$$\frac{T_0}{T} = 1 + \frac{k-1}{2} \cdot M^2 ; \quad (\text{II.22})$$

$$\frac{P_0}{P} = \left(1 + \frac{k-1}{2} \cdot M^2 \right)^{\frac{k}{k-1}} ; \quad (\text{II.21})$$

$$v_s = \sqrt{[2 \cdot c_p \cdot (T_e - T_s) + v_e^2] \cdot \eta_b} . \quad (\text{II.36})$$

Observações:

- (1) Para obter M_e , substitui-se A por A_e ; analogamente, para obter M_s , coloca-se o valor de A_s .
- (2) Para obter T_e , substitui-se M por M_e ; para obter T_s coloca-se M_s .
- (3) substitui-se M por M_e .
- (4) substitui-se M por M_s .

V.2.2 - Regime Transitório

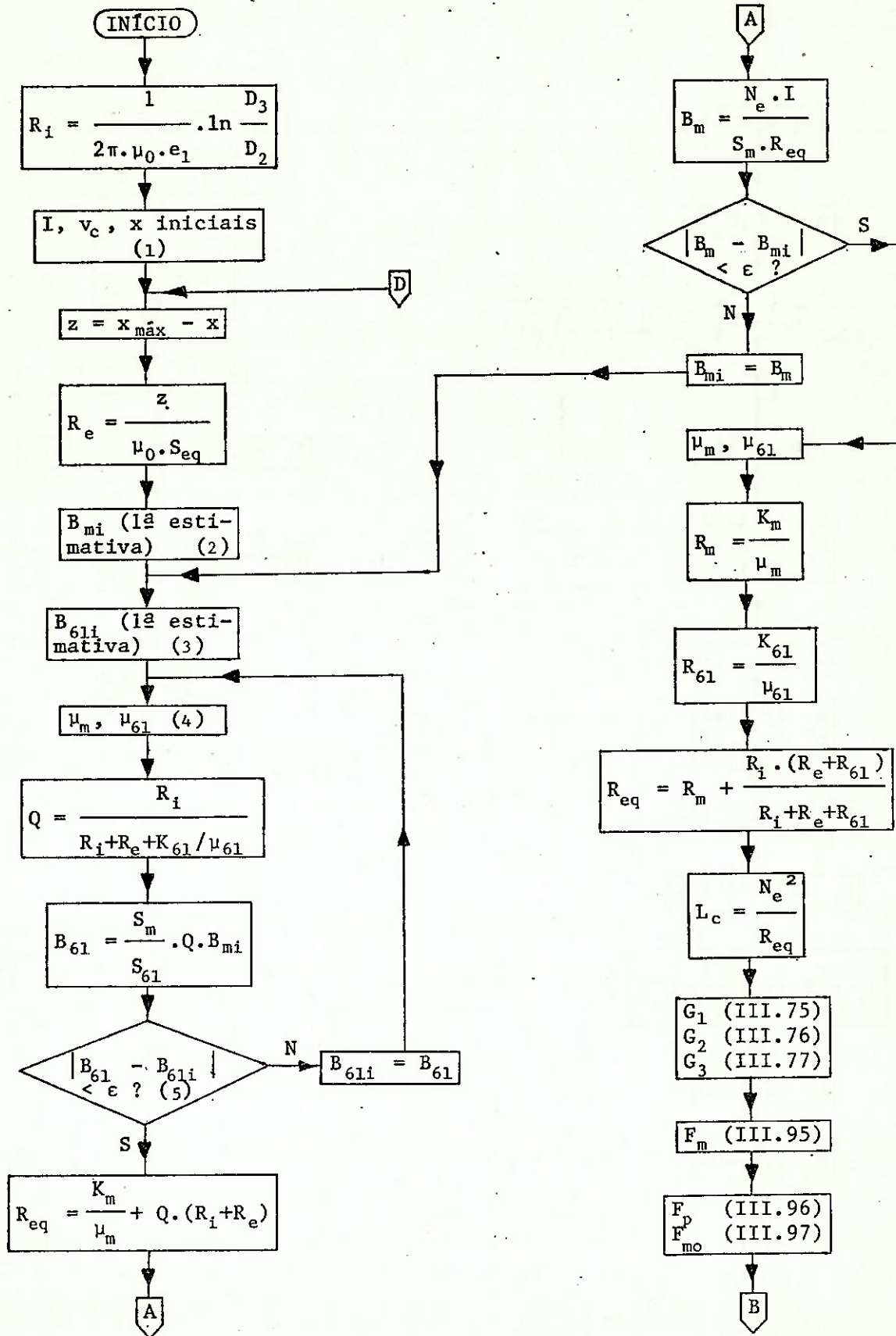
Para os cálculos relativos aos regimes transitórios a solução é muito mais complexa, conforme se mostra a seguir.

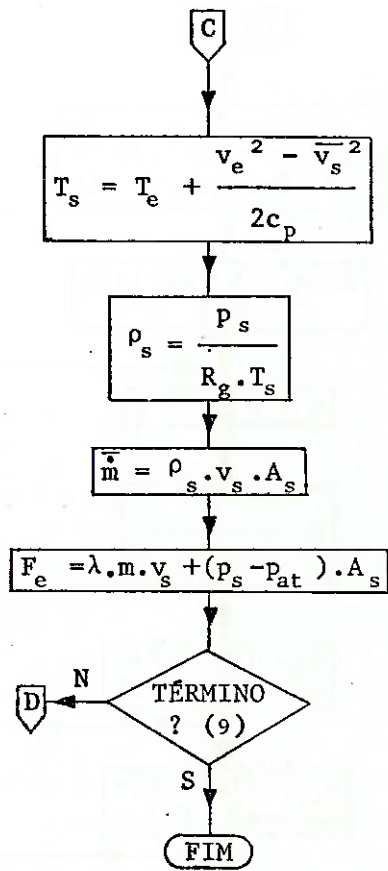
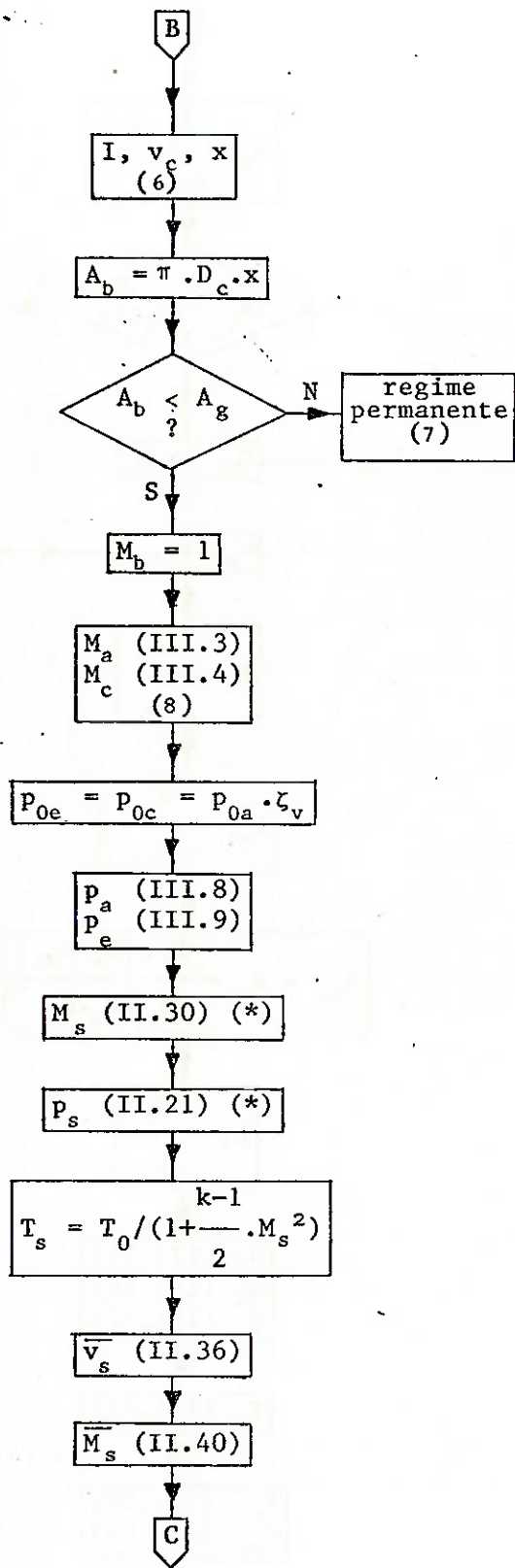
O processo principal nesta seqüência é a integração das três equações diferenciais que fornecem a corrente no solenóide e a velocidade e a posição do cursor da VC. Esta integração possui cinco fases distintas e consecutivas:

- 1ª fase - inicia-se quando do sinal de acionamento do sistema e termina quando a força magnética iguala a soma da força da mola com a força de pressão; em toda esta fase o empuxo é nulo por não haver área de passagem para o fluido na VC.
- 2ª fase - começa no final da anterior; a partir daí o cursor movimentar-se, aumentando a área de passagem para o fluido (A_p); termina quando a válvula está totalmente aberta.
- 3ª fase - tem início no instante em que a válvula adquire sua abertura máxima e prolonga-se até a corrente no solenóide atingir seu valor de regime permanente; durante esta fase o empuxo é constante e tem o valor de regime permanente (F_{erp}).
- 4ª fase - inicia-se após a corrente estabilizar-se, no instante em que a VC recebe o sinal de desligamento e termina quando a força magnética, após uma diminuição, iguala-se à força da mola somada à força de pressão; o empuxo nesta fase ainda é igual ao da anterior (F_{erp}).
- 5ª fase - começa no instante da igualdade entre as forças; a partir deste momento o cursor movimentar-se no sentido de diminuir a área de passagem do gás; esta fase termina quando o cursor atinge sua posição inicial, impedindo a passagem do gás.

Como se pode notar, as fases 2 e 5 são onde ocorrem, respectivamente, a abertura e o fechamento da válvula propriamente ditos. Na fase 1 não há empuxo e nas fases 3 e 4 seu valor é o de regime permanente. Assim, somente nas fases 2 e 5 faz-se a integração das três equações; nas demais, somente a corrente varia.

A seguir apresenta-se um diagrama de blocos que mostra a sequência de obtenção das variáveis. Assim como no regime permanente, quando um bloco apresenta a variável calculada e o número da equação com a qual ela é avaliada, esta expressão pode ser encontrada após o final do diagrama. Números pequenos entre parênteses indicam observações que podem ser encontradas após as equações. Um asterisco após o número da equação indica que ela pode ser encontrada no final do item anterior, o regime permanente.





$$G_1 = 1 - \frac{K_m \cdot N_e \cdot I}{S_m \cdot R_{eq}^2} \cdot \frac{\mu_m'}{\mu_m^2} ; \quad (III.75)$$

$$G_2 = \frac{K_{61} \cdot N_e \cdot I \cdot Q^2}{S_{61} \cdot R_{eq}} \cdot \frac{\mu_{61}'}{\mu_{61}^2} ; \quad (III.76)$$

$$G_3 = \frac{1}{R_i} + \frac{Q}{R_{eq} \cdot G_1} ; \quad (III.77)$$

$$F_m = \left[\frac{N_e \cdot I \cdot Q}{R_{eq}} \right]^2 \cdot \frac{1}{2 \cdot \mu_0 \cdot S_{eq}} ; \quad (III.95)$$

$$F_p = (p_a - p_c) \cdot A_c ; \quad (III.96)$$

$$F_{mo} = F_{ab} + k_m \cdot x ; \quad (III.97)$$

$$p_a = p_{0a} \cdot \left[1 + \frac{k-1}{2} \cdot M_a^2 \right]^{\frac{k}{1-k}} ; \quad (III.8)$$

$$p_c = p_{0c} \cdot \left[1 + \frac{k-1}{2} \cdot M_c^2 \right]^{\frac{k}{1-k}} ; \quad (III.9)$$

$$\overline{M}_s = \frac{\overline{v}_s}{\sqrt{k \cdot R_g \cdot T_0 - \frac{k-1}{2} \cdot \overline{v}_s^2}} ; \quad (II.40)$$

$$\frac{dI}{dt} = \frac{R_{eq} \cdot G_1 \cdot (R_i - G_2) - Q \cdot R_i \cdot G_2}{N_e^2 \cdot (R_i - G_2)} \cdot \left[U - Z \cdot I + \frac{N_e^2 \cdot I \cdot Q^2 \cdot v_c}{S_{eq} \cdot R_{eq}^2 \cdot G_1 \cdot (1 - G_2 \cdot G_3)} \right] ; \quad (III.93)$$

$$\dot{x} = v_c \quad ; \quad (V.8)$$

$$\dot{v}_c = \frac{1}{m_c} \cdot (F_m - F_{m0} - F_r) \quad (V.9)$$

Observações:

- (1) os valores iniciais de I , v_c e x dependem da fase em questão; por exemplo, na 1ª fase estas variáveis têm todas valor inicial nulo.
- (2) o valor de B_m , conforme já mencionado, é calculado pelo método "Regula Falsi"; assim, a 1ª estimativa é sempre o limite inferior do primeiro intervalo de busca.
- (3) o valor de B_{61} é calculado iterativamente para cada valor de B_m ; a 1ª estimativa é sempre igual ao valor de B_m .
- (4) a permeabilidade magnética μ é função da densidade de fluxo magnético B ; esta função é definida por uma equação, o que faz com que, dados os valores de B_m e B_{61} , esta expressão forneça os valores de μ_m e μ_{61} .
- (5) o valor de ϵ é definido de acordo com a precisão que se deseja.
- (6) as Expressões III.93, V.8 e V.9 formam um sistema de três equações diferenciais; em cada passo de integração obtêm-se os valores de I , v_c e x .
- (7) neste caso o empuxo é o de regime permanente, sendo desnecessário calculá-lo. Os próximos passos são pulados até onde indica a seta.
- (8) as expressões III.3 e III.4 são idênticas à II.30; a diferença está nas áreas colocadas no lado direito da igualdade: o denominador é a área onde $M = 1$ e o numerador é a secção onde se deseja o número de Mach.
- (9) o término aqui mencionado refere-se ao fim da fase em estudo.

V.3 - Exemplos

Conforme mencionado no Capítulo IV, para determinar os valores dos intervalos de tempo Δt_s e Δt_d , é necessário encontrar uma equação a mais que os relacione, ou fornecer o valor de um deles.

Uma forma de relacionar estes tempos, conforme sugerido naquele capítulo, é proceder a uma otimização que leve em conta os dois intervalos.

Para a resolução dos exemplos que seguem, o critério de otimização escolhido foi o de minimizar o custo de uma manobra, levando em conta apenas a massa de gás expelida e o tempo de duração da manobra.

Observe-se que este é apenas um critério de otimização, existindo muitos outros, cada um conduzindo a resultados diferentes.

Para este caso, então, o custo de uma manobra completa é dado por:

$$C = C_g + C_t \quad , \quad (V.17)$$

sendo C_g o custo do gás e C_t o custo do tempo.

O custo do gás é admitido proporcional à massa de gás expelida, isto é:

$$C_g = K_{g1} \cdot m_g \quad ,$$

sendo K_{g1} a constante de proporcionalidade e m_g a massa de gás, dada por:

$$m_g = \int_{t_{01}}^{t_{52}} \dot{m} dt \quad . \quad (V.18)$$

Observando a simetria dos jatos e considerando os intervalos em que nenhuma massa é expelida (V. Fig. IV.1 e IV.3), pode-se reescrever

esta última expressão como:

$$m_g = 2. \int_{t_1}^{t_5} \dot{m} dt$$

Entre os instantes t_2 e t_4 tem-se regime permanente e conforme foi visto no Capítulo II, nestas condições a vazão é constante. Assim, divide-se esta última integral em três parcelas, uma entre t_1 e t_2 , outra entre t_2 e t_4 e a última entre t_4 e t_5 , e faz-se outra hipótese: admite-se que a massa de gás expelida nos intervalos Δt_2 e Δt_5 seja desprezável quando comparada à quantidade de gás utilizada no intervalo $(t_4 - t_2)$ por ser este intervalo muito maior que aqueles e porque durante os transitórios a vazão é sempre menor que a nominal. Assim,

$$m_g = 2.\dot{m}.(t_4 - t_2) \quad . \quad (V.19)$$

Como a vazão é constante, pode-se reuni-la com a constante de proporcionalidade K_{g1} , resultando:

$$C_g = K_g.(t_4 - t_2) \quad ,$$

sendo $K_g = 2.K_{g1}.\dot{m}$.

Da Figura IV.1 constata-se que

$$t_4 - t_2 = \Delta t_s + \Delta t_4 - \Delta t_1 - \Delta t_2 \quad ,$$

o que permite escrever o custo do gás como:

$$C_g = K_g.(\Delta t_s + \Delta t_4 - \Delta t_1 - \Delta t_2) \quad . \quad (V.20)$$

Para o custo da duração da manobra, também será admitido que ele seja proporcional ao tempo total da manobra, ou seja,

$$C_t = K_t.(t_{52} - t_{01}) \quad , \quad (V.21)$$

onde K_t é a constante de proporcionalidade. Com base na Figura IV.3, escreve-se:

$$t_{52} - t_{01} = 2.\Delta t_s + \Delta t_d + \Delta t_4 + \Delta t_5 ,$$

que permite equacionar o custo do tempo como:

$$C_t = K_t.(2.\Delta t_s + \Delta t_d + \Delta t_4 + \Delta t_5) \quad \text{..} \quad (V.22)$$

O custo final da manobra, Relação V.17, torna-se, então:

$$C = K_g.(\Delta t_s + \Delta t_4 - \Delta t_1 - \Delta t_2) + K_t.(2.\Delta t_s + \Delta t_d + \Delta t_4 + \Delta t_5), \quad \text{ou}$$

$$C = (K_g + K_t).\Delta t_s + K_g.(\Delta t_4 - \Delta t_1 - \Delta t_2) + K_t.(\Delta t_d + \Delta t_4 + \Delta t_5) \quad (V.23)$$

Substituindo nesta relação o valor de Δt_d dado por IV.43, fica-se com:

$$C = (K_g + K_t).\Delta t_s + K_g.(\Delta t_4 - \Delta t_1 - \Delta t_2) + K_t.(\Delta t_4 + \Delta t_5) + \frac{K_t.\phi_d.I_s}{N_b.R_s.[F_{erp}.(\Delta t_s + \Delta t_4 - \Delta t_1 - \Delta t_2) + INT_1 + INT_2]^2} \quad (V.24)$$

Uma análise desta equação revela que, sendo conhecido o satélite e seu SCA, conhecem-se os valores de I_s , F_{erp} e todos os intervalos de tempo relativos à válvula (Δt_1 , Δt_2 , Δt_4 e Δt_5), bem como as integrais INT_1 e INT_2 . Se forem estabelecidos os valores de K_g e K_t , por meio de uma análise dos custos envolvidos, verifica-se que somente Δt_s pode variar na expressão acima. Assim, para minimizar o custo com respeito a esta variável, deriva-se essa equação em relação a Δt_s e iguala-se o resultado a zero, ou seja:

$$K_g + K_t - \frac{K_t.\phi_d.I_s.F_{erp}}{N_b.R_s.[F_{erp}.(\Delta t_s + \Delta t_4 - \Delta t_1 - \Delta t_2) + INT_1 + INT_2]^2} = 0 \quad (V.25)$$

Para que o valor de Δt_s obtido desta relação realmente forneça o custo mínimo, é preciso também que a derivada segunda de V.24 seja positiva no ponto Δt_s . Esta derivada segunda resulta:

$$\frac{d^2 C}{d(\Delta t_s)^2} = \frac{2 \cdot K_t \cdot \phi_d \cdot I_s \cdot F_{erp}^2}{N_b \cdot R_s \cdot [F_{erp} \cdot (\Delta t_s + \Delta t_4 - \Delta t_1 - \Delta t_2) + INT_1 + INT_2]^3}$$

Sendo a soma $\Delta t_s + \Delta t_4$ muito maior que a soma $\Delta t_1 + \Delta t_2$, verifica-se que esta função é positiva para qualquer valor de Δt_s , o que garante que a relação V.25 forneça o valor de Δt_s para custo mínimo.

Isolando em V.25 o valor de Δt_s , chega-se a:

$$\Delta t_s = \Delta t_1 + \Delta t_2 - \Delta t_4 - \frac{INT_1 + INT_2}{F_{erp}} + \sqrt{\frac{K_t \cdot \phi_d \cdot I_s}{N_b \cdot R_s \cdot F_{erp} \cdot (K_g + K_t)}} \quad (V.26)$$

Os valores de K_t e K_g são de determinação muito difícil porque dependem do estabelecimento de critérios de otimização, o que é extremamente complexo. Considerando que o objetivo dos exemplos a seguir é apenas mostrar a viabilidade do modelo, estas constantes não serão calculadas, mas serão admitidos valores para elas.

Da Equação V.26 percebe-se que o simples conhecimento da proporção $K_t : K_g$ já permitiria o cálculo de Δt_s . Vários valores podem ser assumidos por esta proporção, e para os exemplos de alteração de atitude foi admitida a razão 5:2, o que permitiu definir as constantes como $K_t = 5$ e $K_g = 2$. Assim, tem-se o valor de Δt_s dessa última relação e o de Δt_d da expressão IV.31.

Todos os dados apresentados nestes exemplos, embora fictícios, baseiam-se em estudos efetuados sobre o segundo satélite da Missão Espacial Completa Brasileira (MECB), que deverá ser equipado com rodas de reação e jatos de gás.

Para todos os exemplos será considerado apenas um eixo de ro-

tação. O satélite em questão tem momento de inércia, I_s , de 100 kg.m^2 , em relação a este eixo.

O sistema de jatos de gás possui, neste eixo, dois micromotores atuando em cada sentido, sendo as dimensões básicas dos bocais:

- diâmetro da garganta, $D_g = 1,3 \text{ mm}$;
- diâmetro da secção de entrada, $D_e = 2,4 \text{ mm}$;
- diâmetro da secção de saída, $D_s = 24,0 \text{ mm}$;
- semi-ângulo divergente, $\theta = 15^\circ$.

Além destes dados geométricos, tem-se também:

- pressão de estagnação regulada, $p_{0a} = 5.10^5 \text{ Pa}$;
- rendimento do bocal, $\eta_b = 0,995$;
- coeficiente de pressão da válvula de controle, $\zeta_v = 0,94$;
- gás empregado: nitrogênio, N_2 ;
- pressão atmosférica, $p_{at} = 0$ (espaço) .

Para estas condições, o empuxo de regime permanente produzido pelo micromotor é de $1,001 \text{ N}$. A título de comparação, se D_g fosse aumentado para $1,5 \text{ mm}$, o empuxo de regime permanente passaria a ser $1,341 \text{ N}$.

A seguir mostram-se as dimensões básicas, os tempos característicos obtidos e os gráficos relativos ao desempenho de duas válvulas de controle diferentes que serão empregadas nos exemplos de manobras do satélite. Para apresentar seus tempos característicos, a seguinte nomenclatura será aplicada:

- TAA - tempo de atraso na abertura ;
- TFA - tempo final de abertura ;
- TRP - tempo para regime permanente ;
- DTS - intervalo de tempo entre sinais ;
- TAF - tempo de atraso no fechamento ;
- TFF - tempo final de fechamento .

Apenas para esclarecer melhor os tempos acima, eles se rela-

cionam com os intervalos de tempo mostrados nos itens anteriores através de:

$$TAA = \Delta t_1 \ ;$$

$$TFA = \Delta t_1 + \Delta t_2 \ ;$$

$$DTS = \Delta t_s \ ;$$

$$TAF = \Delta t_4 \ ;$$

$$TFF = \Delta t_4 + \Delta t_5 \ .$$

O tempo TRP é o tempo necessário à válvula, a partir do instante inicial, para que a corrente do solenóide atinja seu valor de regime permanente.

As válvulas empregadas têm as seguintes características (V. Fig. III.1):

Válvula V1:

- $D_1 = 4 \text{ mm}$;
- $D_2 = 12 \text{ mm}$;
- $D_3 = 21 \text{ mm}$;
- $D_4 = 26 \text{ mm}$;
- $h = 20 \text{ mm}$;
- $e_1 = 1,0 \text{ mm}$;
- $e_2 = 1,0 \text{ mm}$;
- $e_3 = 1,0 \text{ mm}$;
- $e_4 = 1,0 \text{ mm}$;
- $e_c = 0,5 \text{ mm}$;
- $z_{\text{máx}} = 0,5 \text{ mm}$;
- $z_{\text{mín}} = 0,25 \text{ mm}$;
- $D_t = 2,4 \text{ mm}$;
- $D_v = 2,4 \text{ mm}$;
- $m_c = 15 \text{ g}$;
- para a mola:

- . $k_m = 11500 \text{ N/m}$;
- . $F_{ab} = 6 \text{ N}$;
- para o solenóide:
 - . $U = 12 \text{ V}$;
 - . $Z = 76,127 \Omega$;
- material magnético da válvula: aço 430
- tempos característicos:
 - . $TAA = 19,20 \text{ ms}$;
 - . $TFA = 25,20 \text{ ms}$;
 - . $TRP = 96,45 \text{ ms}$;
 - . $TAF = 20,55 \text{ ms}$;
 - . $TFF = 26,19 \text{ ms}$;

Válvula V2:

- $D_1 = 4 \text{ mm}$;
- $D_2 = 10 \text{ mm}$;
- $D_3 = 21 \text{ mm}$;
- $D_4 = 26 \text{ mm}$;
- $h = 20 \text{ mm}$;
- $e_1 = 1,0 \text{ mm}$;
- $e_2 = 1,0 \text{ mm}$;
- $e_3 = 1,0 \text{ mm}$;
- $e_4 = 0,5 \text{ mm}$;
- $e_c = 0,5 \text{ mm}$;
- $z_{m\acute{a}x} = 0,45 \text{ mm}$;
- $z_{m\acute{i}n} = 0,20 \text{ mm}$;
- $D_t = 2,4 \text{ mm}$;
- $D_v = 2,4 \text{ mm}$;
- $m_c = 15 \text{ g}$;
- para a mola:
 - . $k_m = 11500 \text{ N/m}$;
 - . $F_{ab} = 6 \text{ N}$;
- para o solenóide:
 - . $U = 12 \text{ V}$;
 - . $Z = 76,127 \Omega$;
- material magnético da válvula: aço MAG PERM IPT-49 ;

- tempos característicos:

- . TAA = 13,27 ms;
- . TFA = 16,72 ms;
- . TRP = 103,27 ms ;
- . TAF = 49,35 ms ;
- . TFF = 54,48 ms ;

Nas figuras a seguir são apresentados, para cada válvula, os gráficos das forças atuantes sobre elas, da corrente no solenóide, da indutância do circuito, das relutâncias, das permeabilidades magnéticas, das densidades de fluxo magnético e da abertura da válvula, todos em função do tempo. O tempo Δt_s dado tem a função única de permitir o traçado dos gráficos, não tendo qualquer significado.

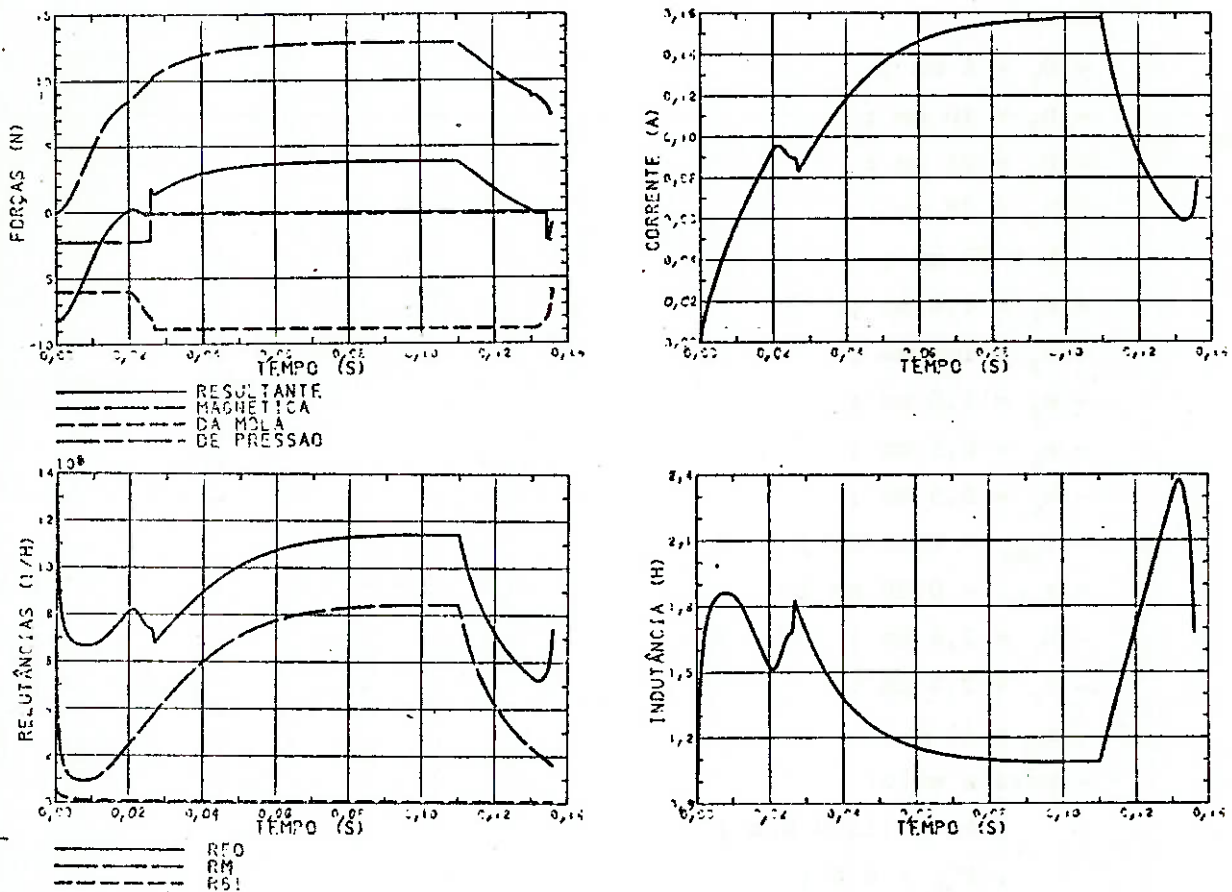


Fig. V.3 - Gráficos para a Válvula V1 e Empuxo de um Micromotor.

(continua)

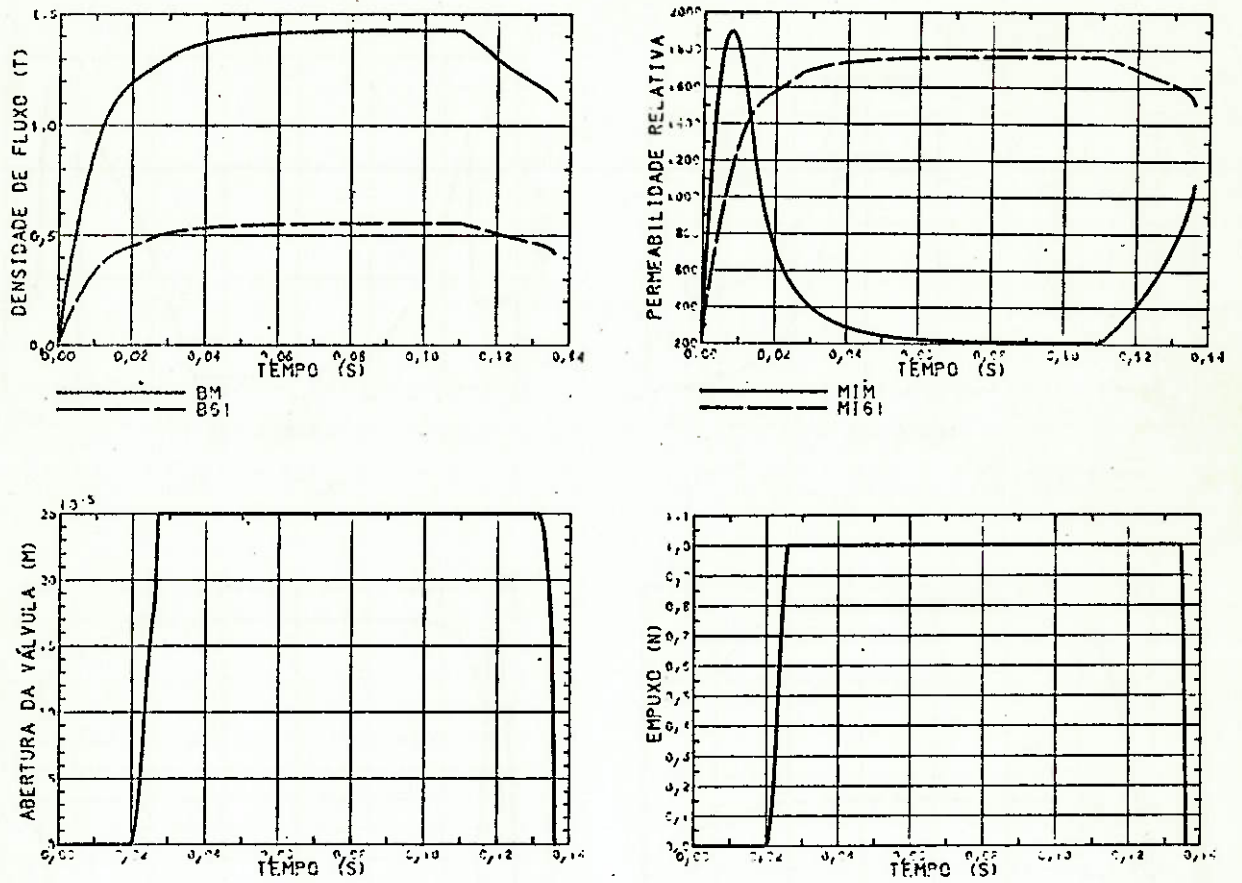


Fig. V.3 - Conclusão.

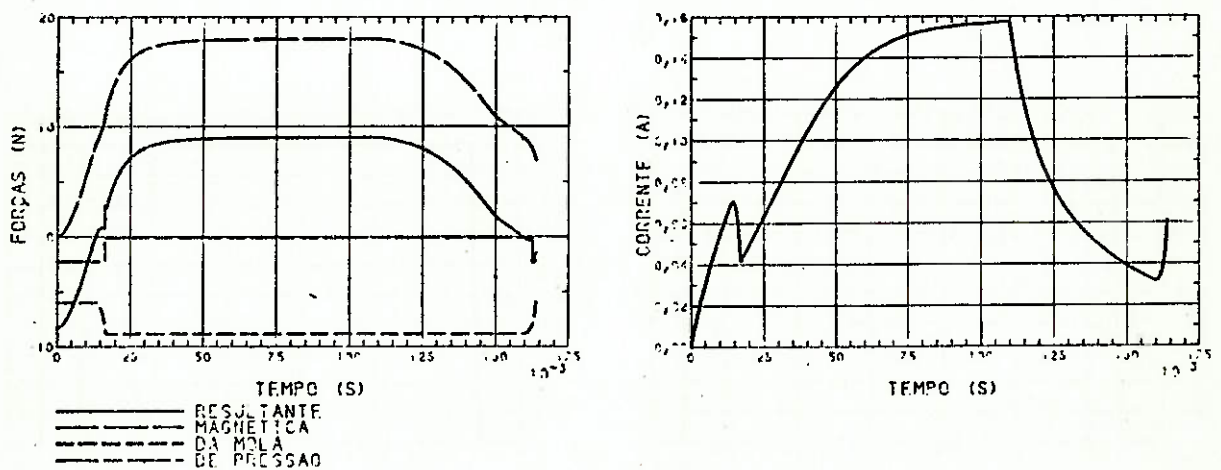


Fig. V.4 - Gráficos para a Válvula V2 e Empuxo de um Micromotor.

(continua)

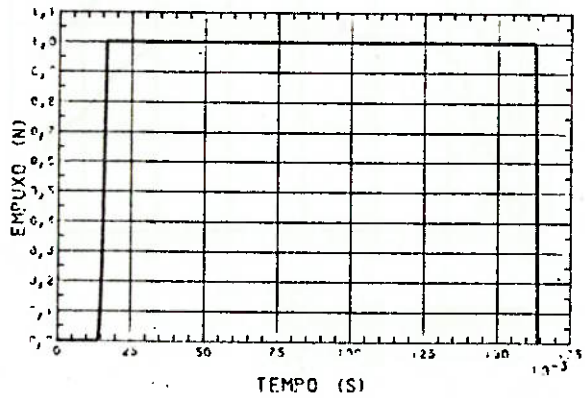
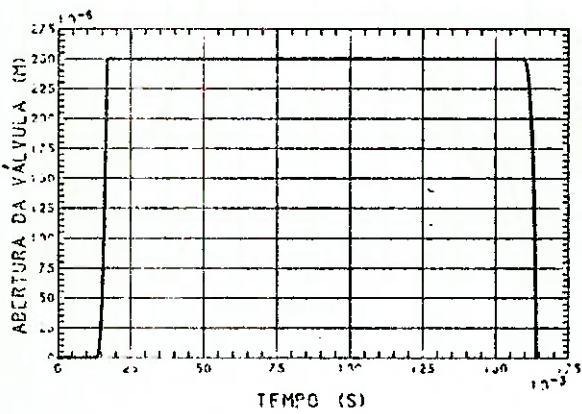
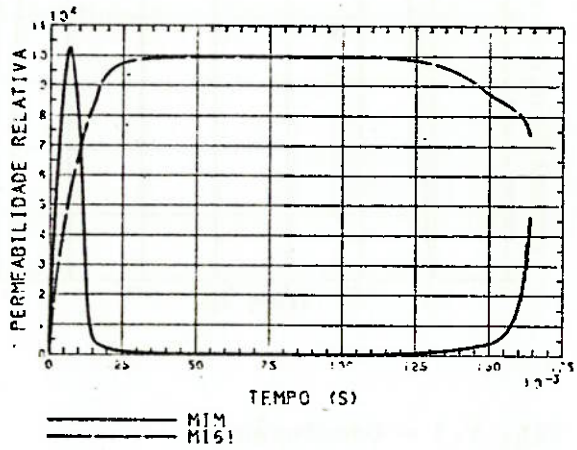
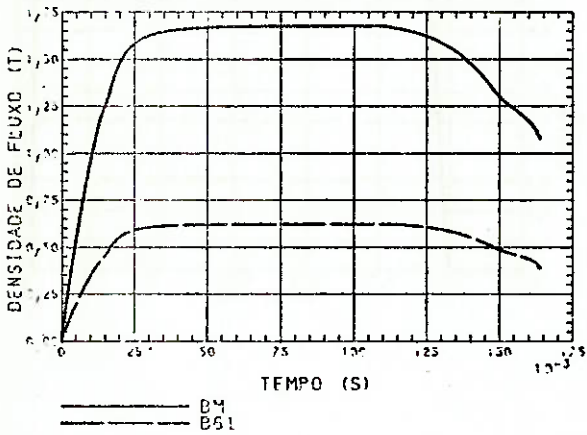
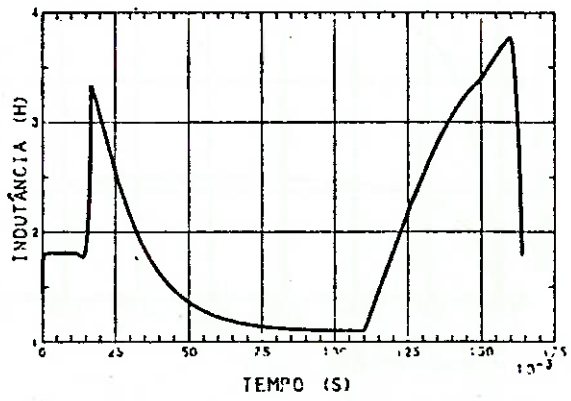
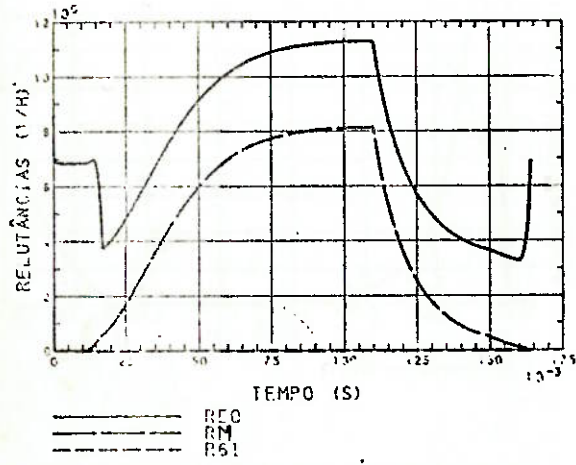


Fig. V.4 - Conclusão

Além destas duas válvulas, várias outras foram analisadas e seus tempos característicos estão mostrados na Tabela V.1. As dimensões básicas destas válvulas, bem como as condições de utilização são as mesmas da válvula V1, a menos de uma grandeza que varia em cada nova válvula. O objetivo desta tabela é mostrar a influência que cada parâmetro pode exercer no desempenho deste componente. Na tabela, em cada linha é mostrada uma nova válvula, cuja única diferença em relação a V1 é mostrada na primeira coluna. A válvula V1 é confeccionada em aço 430, denominado, para fins de programação, de material 2. Os materiais 1 e 3 são o aço 1030 e a liga MAG PERM IPT-49.

Tabela V.1 - Tempos Característicos das Válvulas, em ms.

FATOR MODIFICADO	TAA	TFA	TRP	TAF	TFF
Material 1	19,54	24,46	100,51	16,20	19,99
Material 3	15,31	19,14	118,29	51,90	56,80
U = 24 V	7,54	11,18	54,68	27,90	33,53
$e_1 = 0,5$ mm	18,28	26,68	92,83	18,15	24,26
$D_2 = 16$ mm (1)	---	---	---	---	---
$D_4 = 30$ mm	22,84	28,76	127,61	29,10	35,94
h = 28 mm	33,07	47,70	130,05	17,55	28,55
$z_{m\acute{a}x} = 0,4$ mm (2)	17,02	22,35	100,05	32,55	41,64
$D_{fio} = 0,2$ mm	29,82	43,05	120,60	16,65	23,22
$k_m = 1000$ N/m	19,20	23,63	96,08	35,55	39,91

(1) - com este valor de D_2 , a força magnética máxima não é suficiente para superar as forças de resistência; conseqüentemente, a válvula não se abre.

(2) - o valor de $z_{m\acute{a}x}$ foi modificado para 0,15 mm, de forma a manter constante a abertura máxima da válvula.

Nos exemplos simulados a seguir mostram-se gráficos da velocidade e da posição angulares do satélite em função do tempo para a manobra completa. Para os casos de dessaturação de roda de reação, também é mostrado um gráfico da velocidade angular da roda em função do tempo.

EXEMPLO 1 - Dessaturação de Roda de Reação

Para este exemplo a válvula empregada é a VI. Os dados da roda de reação são:

- quantidade de movimento angular, $QMA = 0,6 \text{ N.m.s}$;
- velocidade angular inicial, $\omega_{ri} = 2000 \text{ rpm}$;
- velocidade angular final desejada, $\omega_{rf} = 4 \text{ rpm}$;
- momento de inércia, $I_r = 0,003 \text{ kg.m}^2$;
- torque máximo, $T_r = 0,01 \text{ N.m}$.

Para este caso, o tempo total de dessaturação da roda resultou:

$$t_{dr} = 62,71 \text{ s} .$$

Segundo os cálculos efetuados, o instante de ligação dos jatos resultou:

$$t_0 = 31,017 \text{ s}$$

e o tempo entre os sinais de abertura e fechamento foi

$$\Delta t_s = 0,592 \text{ s} .$$

Para este exemplo, a velocidade angular final da roda resultou 4,00 rpm, a do satélite, $1,954 \cdot 10^{-11} \text{ o/s}$ e o desalinhamento final do satélite foi de $6,253 \cdot 10^{-10} \text{ o}$.

A Figura V.5, a seguir, mostra a velocidade da roda de reação em função do tempo durante sua dessaturação; a Figura V.6 apresenta a curva da velocidade angular do satélite e a V.7 fornece a curva de sua posição angular durante esta manobra.

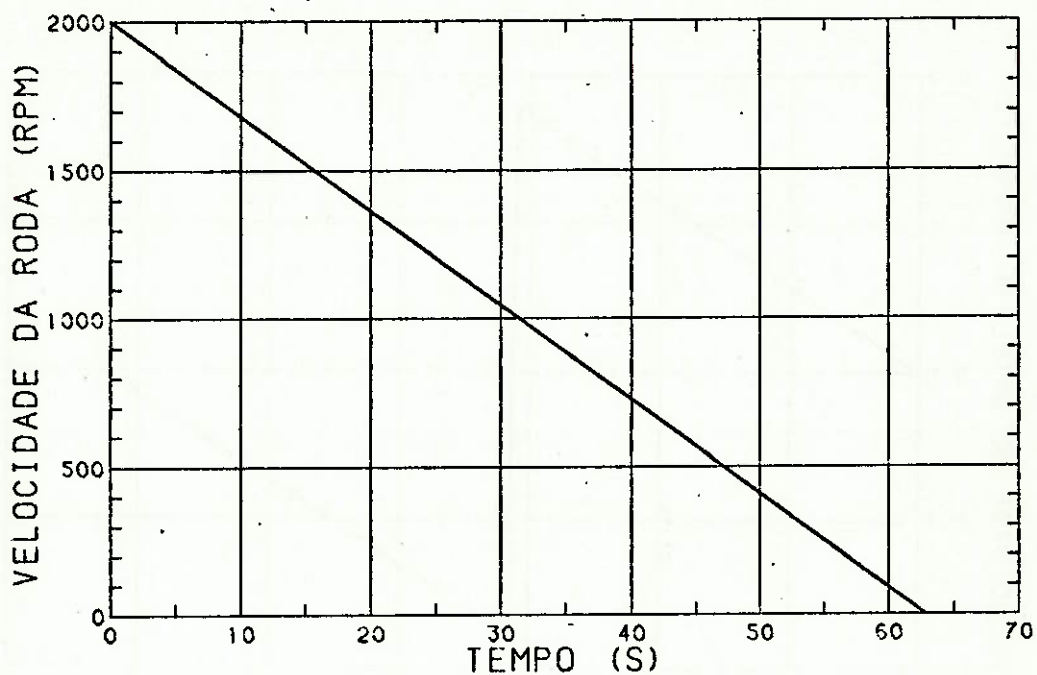


Fig. V.5 - Velocidade Angular da Roda de Reação durante sua Dessaturação - Exemplo 1.

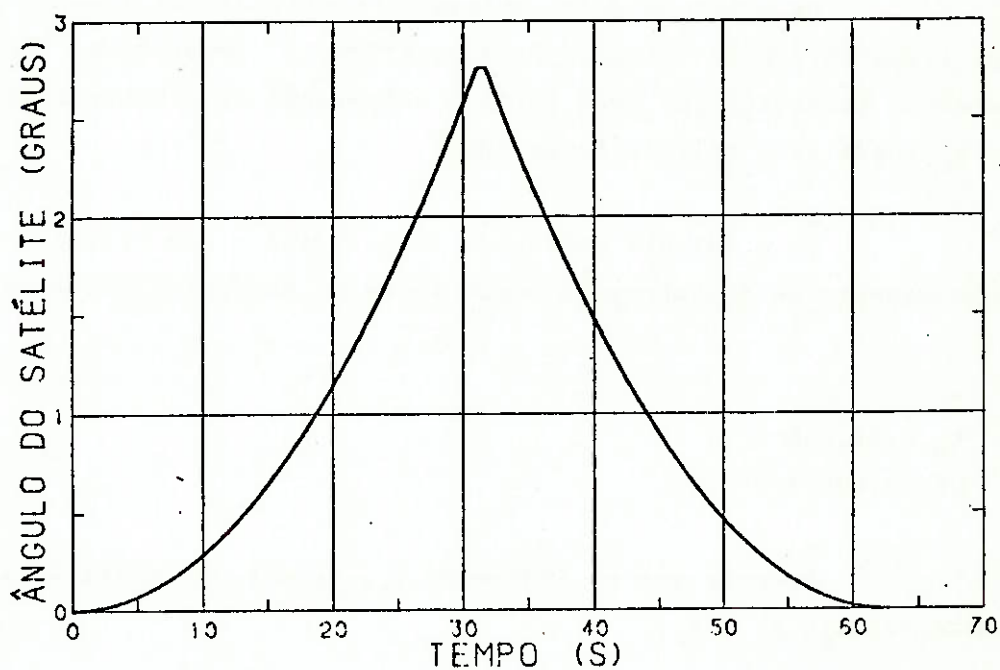


Fig. V.6 - Posição Angular do Satélite durante a Dessaturação da Roda de Reação - Exemplo 1.

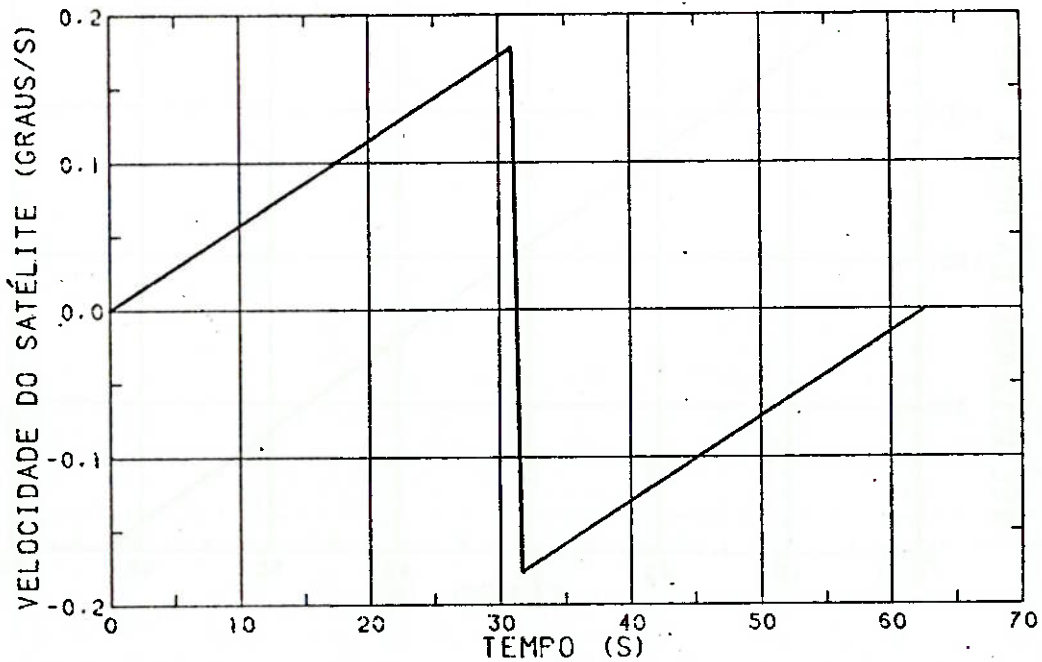


Fig. V.7 - Velocidade Angular do Satélite durante a Dessaturação da Roda de Reação - Exemplo 1.

Os gráficos acima mostram a manobra ideal levando em conta os tempos transitórios da válvula. Para verificar a importância de levar em conta estes transitórios, será feita a comparação da manobra acima com a que seria efetuada se a válvula fosse ideal.

Se a válvula empregada fosse ideal - com transitórios nulos - a mesma manobra de dessaturação acima teria os seguintes tempos característicos:

$$t_0 = 31,040 \text{ s} ,$$
$$\Delta t_s = 0,627 \text{ s} .$$

Note-se que os instantes t_0 , t_1 e t_2 coincidiriam, bem como os instantes t_3 , t_4 e t_5 .

Caso a manobra com a válvula real (com transitórios) fosse efetuada levando em conta os tempos da válvula real (acima), os valores finais de velocidade e posição angulares do satélite seriam:

$$\begin{aligned}\omega_{sf} &= -2,02 \cdot 10^{-2} \text{ } ^\circ/\text{s} \quad \text{e} \\ \phi_{sf} &= -0,619 \text{ } ^\circ \quad .\end{aligned}$$

Apesar de a diferença em relação aos valores desejados ser aparentemente pequena, uma nova correção na posição do satélite pode tornar-se necessária a seguir, pois os erros acima podem ser considerados elevados.

EXEMPLO 2 - Alteração de Atitude.

Neste exemplo o satélite está equipado com a mesma válvula VI.

O ângulo total de correção é

$$\phi_d = 60^\circ \quad .$$

Neste caso os tempos Δt_s e Δt_d resultaram

$$\begin{aligned}\Delta t_s &= 8,647 \text{ s} \quad \text{e} \\ \Delta t_d &= 3,456 \text{ s} \quad .\end{aligned}$$

Após a manobra, o ângulo total de giro do satélite foi de $60,00^\circ$ e sua velocidade angular residual foi nula.

As curvas que fornecem a posição e a velocidade angulares do satélite em função do tempo estão nas Figuras V.8 e V.9.

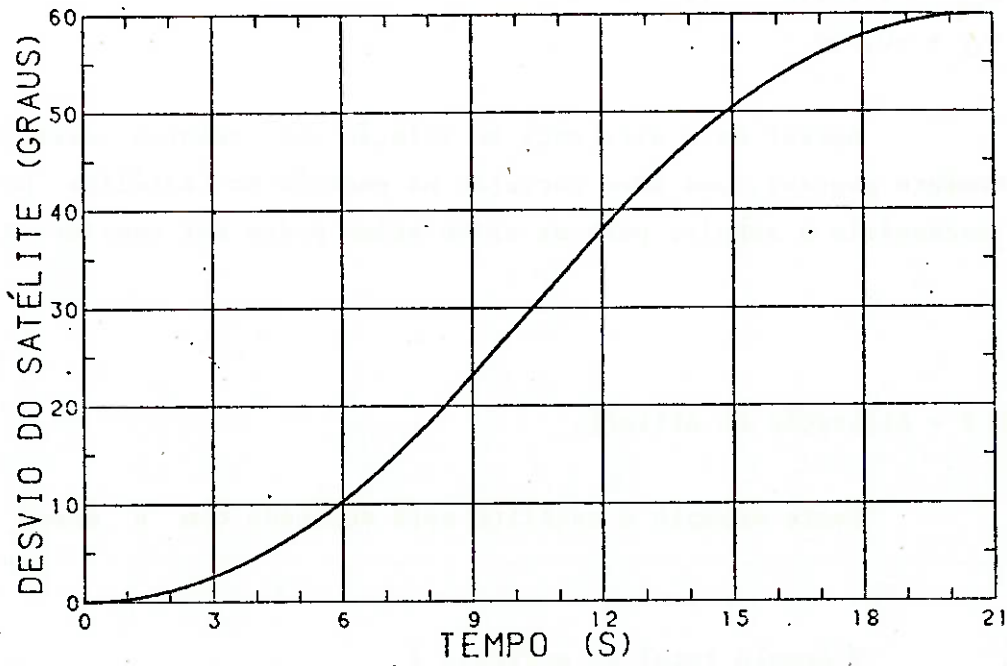


Fig. V.8 - Posição Angular do Satélite Durante a Alteração de Atitude - Exemplo 2.

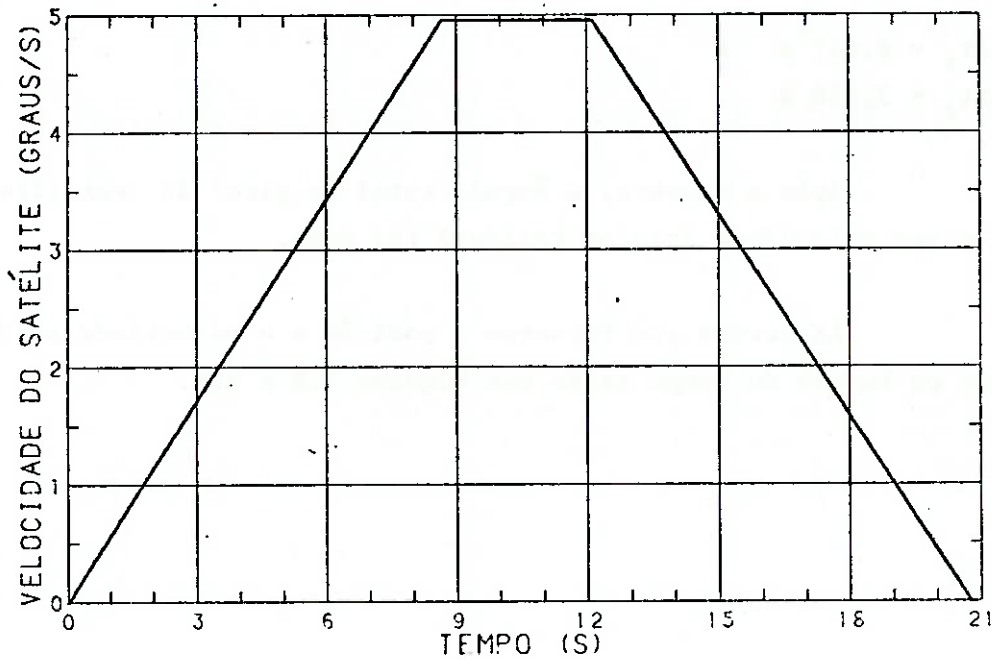


Fig. V.9 - Velocidade Angular do Satélite durante a Alteração de Atitude - Exemplo 2.

Analogamente ao que foi feito no exemplo anterior, foram calculados os intervalos de tempo Δt_s e Δt_d para uma válvula ideal, tendo sido encontrados os seguintes valores:

$$\Delta t_s = 8,645 \text{ s} \quad e$$

$$\Delta t_d = 3,458 \text{ s} \quad .$$

Se estes valores de tempo fossem aplicados na manobra com o sistema real, que possui transitórios, a posição e a velocidade angulares finais do satélite seriam:

$$\omega_{sf} = 0 \quad ,$$

$$\phi_{sf} = 59,985^\circ \quad .$$

Neste caso não se introduz erro na velocidade por serem os jatos simétricos. Observe-se, entretanto, o erro em apontamento que, talvez necessite de uma correção.

EXEMPLO 3 - Dessaturação de Roda de Reação

Para este exemplo a válvula empregada é a V2. Os dados da roda de reação são:

- quantidade de movimento angular, QMA = 2 N.m.s ;
- velocidade angular inicial, $\omega_{ri} = 3500 \text{ rpm}$;
- velocidade angular final desejada, $\omega_{rf} = 4 \text{ rpm}$;
- momento de inércia, $I_r = 0,01714 \text{ kg.m}^2$;
- torque máximo, $T_r = 0,1 \text{ N.m}$.

Para este caso, o tempo total de dessaturação da roda resultou:

$$t_{dr} = 62,75 \text{ s} \quad .$$

Segundo os cálculos efetuados, o instante de acionamento dos

atos resultou

$$t_0 = 28,22 \text{ s}$$

e o tempo entre os sinais de abertura e fechamento foi:

$$\Delta t_s = 6,234 \text{ s}$$

Para este exemplo, a velocidade angular final da roda resultou 4,00 rpm, a do satélite foi de $1,303 \cdot 10^{-11}$ o/s e o desalinhamento final do satélite também foi nulo.

A Figura V.10 mostra a velocidade da roda de reação em função do tempo durante sua dessaturação e as figuras V.11 e V.12 apresentam as curvas da velocidade e da posição angulares do satélite durante esta manobra.

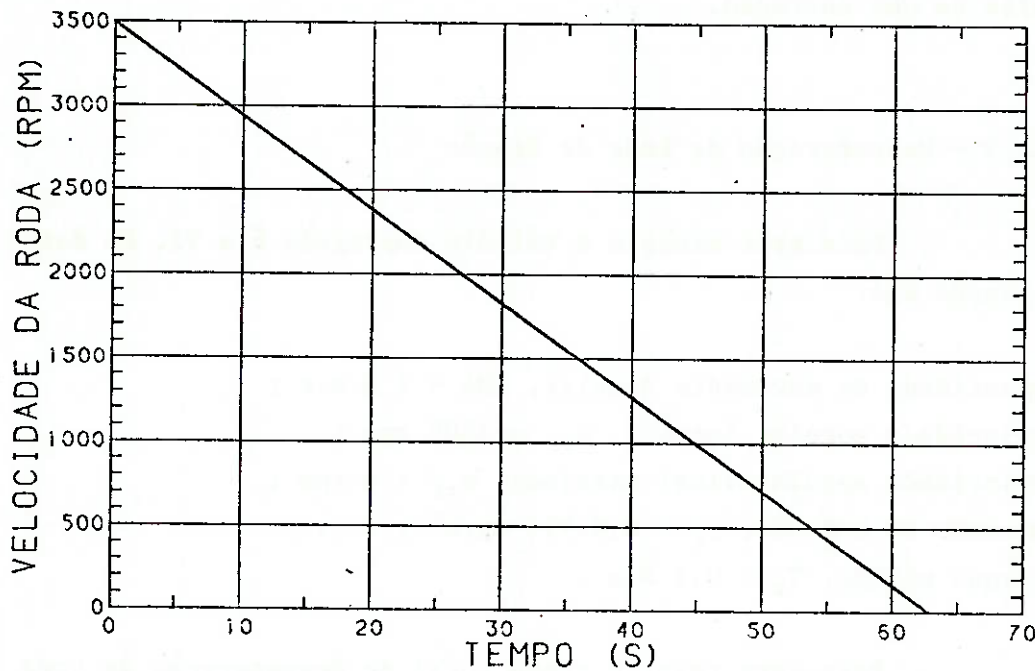


Fig. V.10 - Velocidade Angular da Roda de Reação durante sua Dessaturação - Exemplo 3.

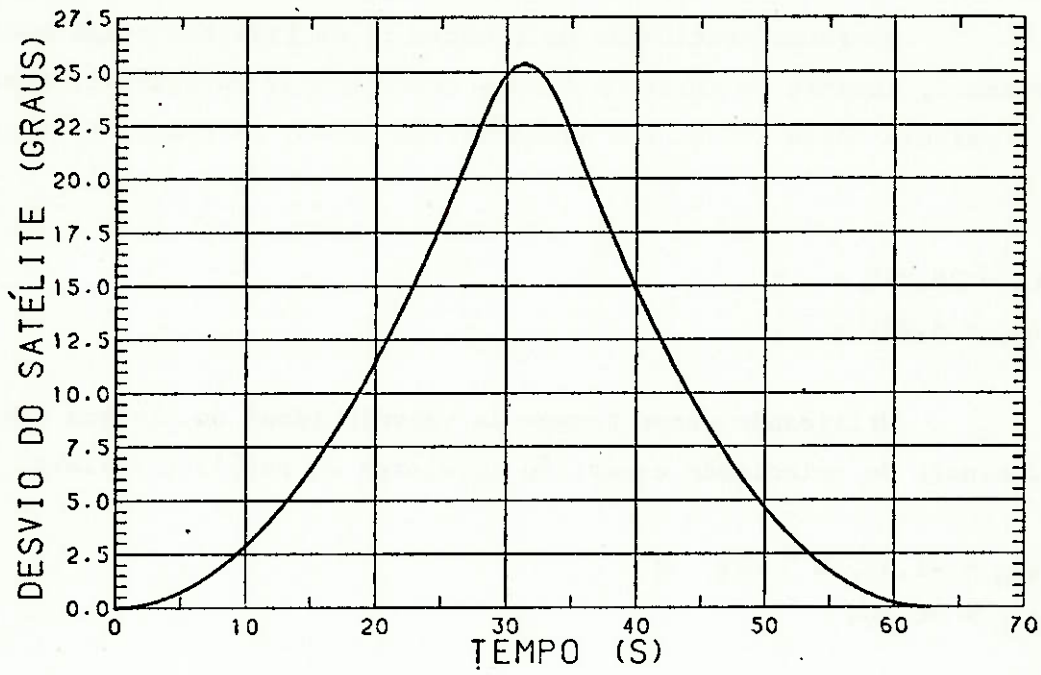


Fig. V.11 - Posição Angular do Satélite durante a Dessaturação da Roda de Reação - Exemplo 3.

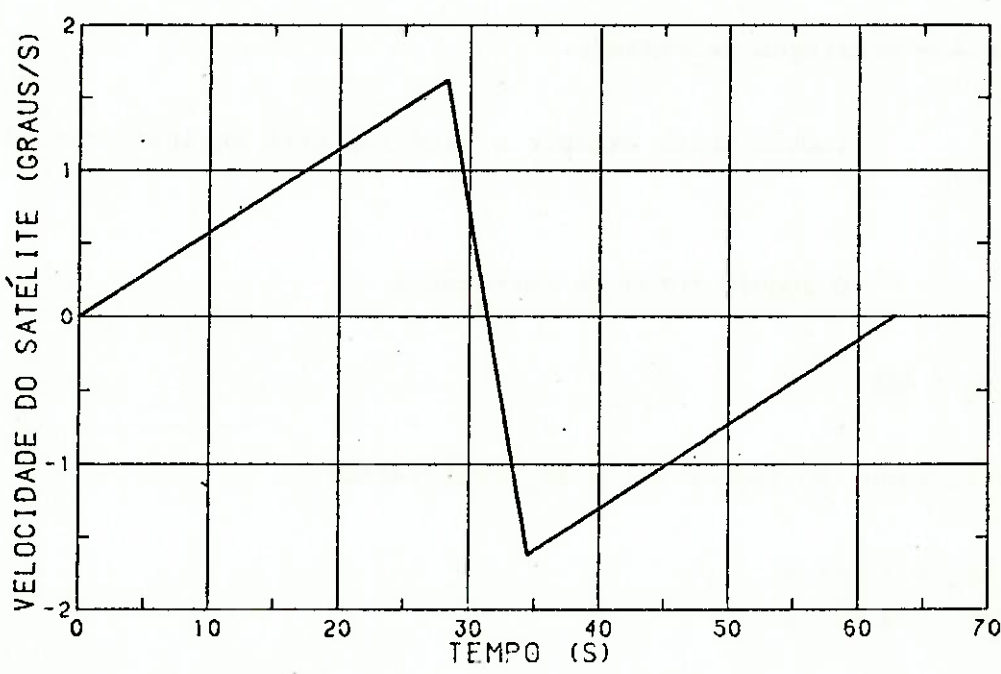


Fig. V.12 - Velocidade Angular do Satélite durante a Dessaturação da Roda de Reação - Exemplo 3.

Conforme mencionado no Exemplo 1, os gráficos acima mostram a manobra ideal, levando em conta os tempos transitórios da válvula. Neste caso, se a válvula fosse ideal, com transitórios nulos, os tempos t_0 e Δt_s seriam:

$$t_0 = 28,240 \text{ s} \quad ;$$

$$\Delta t_s = 6,269 \text{ s} \quad .$$

Utilizando estes tempos da válvula ideal no sistema real, os valores finais de velocidade e posição angulares do satélite seriam:

$$\omega_{sf} = -1,98 \cdot 10^{-2} \text{ }^\circ/\text{s} \quad ;$$

$$\phi_{sf} = -0,486 \text{ }^\circ \quad .$$

Neste caso nota-se uma diferença bem maior entre os valores finais reais e os desejados. Numa situação como esta, é altamente provável que seja necessária uma correção de atitude para o satélite.

EXEMPLO 4 - Alteração de Atitude.

Também neste exemplo o satélite está equipado com a válvula V2.

O ângulo total de correção é

$$\phi_d = 45^\circ \quad .$$

Para este caso, os tempos Δt_s e Δt_d resultaram:

$$\Delta t_s = 7,452 \text{ s} \quad ;$$

$$\Delta t_d = 3,029 \text{ s} \quad .$$

Após a manobra, o ângulo total de giro do satélite resultou $45,00^\circ$ e sua velocidade angular residual foi nula.

As curvas que fornecem a posição e a velocidade angulares do

satélite em função do tempo, para este exemplo, estão nas Figuras V.13 e V.14.

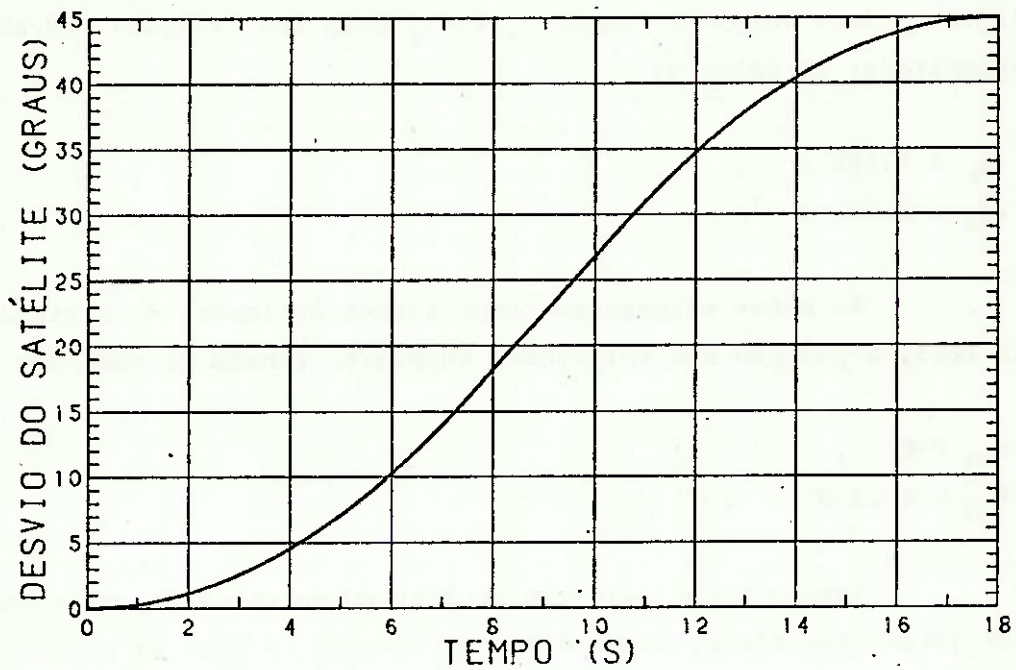


Fig. V.13 - Posição Angular do Satélite Durante a Alteração de Atitude - Exemplo 4.

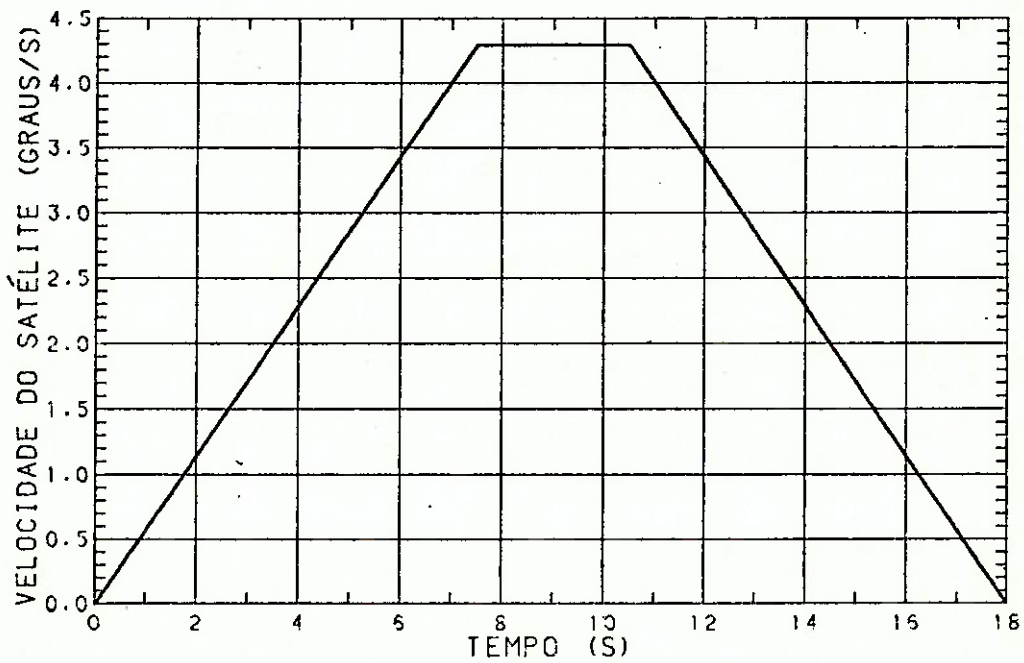


Fig. V.14 - Velocidade Angular do Satélite durante a Alteração de Atitude - Exemplo 4.

Analogamente ao que foi feito nos exemplos anteriores, foram calculados os intervalos de tempo Δt_s e Δt_d para uma válvula ideal, tendo sido encontrados os valores:

$$\Delta t_s = 7,486 \text{ s} \quad ,$$

$$\Delta t_d = 2,995 \text{ s} \quad .$$

Se estes valores de tempo fossem aplicados no sistema com a válvula real, a posição e a velocidade angulares finais do satélite seriam:

$$\omega_{sf} = 0 \quad ,$$

$$\phi_{sf} = 45,250 \text{ }^\circ \quad .$$

Também neste caso não se introduzem erros na velocidade por serem os jatos simétricos. Observe-se, entretanto, o erro em apontamento que pode ser considerado elevado.

CAPÍTULO VI

CONCLUSÕES E SUGESTÕES

Verifica-se que o objetivo básico deste trabalho, a saber, obter um modelo que descrevesse o comportamento do sistema de jatos de gás e do satélite durante uma manobra, foi atingido.

O modelo obtido permite calcular os parâmetros de interesse em todos os instantes da manobra, inclusive durante os períodos transitórios de acionamento e desacionamento. Isto possibilita uma confiança muito maior quando do projeto do sistema de controle.

Particularmente o Capítulo III, que estuda os transitórios, é importante porque permite analisar o desempenho de uma válvula com o modelo desenvolvido, quaisquer que sejam suas dimensões, os materiais de que ela é feita, a mola ou o enrolamento.

Vale salientar que o modelo desenvolvido para o estudo de circuitos magnéticos é bastante poderoso, pois mesmo que se estude um circuito diferente daquele mostrado neste trabalho, a metodologia ainda será válida.

Com o modelo desenvolvido neste trabalho, é possível selecionar, de uma série de válvulas de modelos diferentes, aquela que apresenta a melhor combinação entre desempenho e baixo consumo de energia. Para uma seleção simples, basta simular o comportamento das válvulas e levantar os parâmetros de interesse, como foi feito na Tabela V.1. Segundo se pode notar destes dados, por exemplo, o material magnético utilizado na confecção da válvula tem papel fundamental em seu desempenho. Da mesma forma, a tensão de alimentação da bobina, ou a mola empregada têm grande influência sobre a escolha, assim como as dimensões.

Na Tabela V.1, como se verifica, nem todas as dimensões foram variadas, mas somente as consideradas mais importantes. As demais, entretanto, têm faixas dentro das quais sua influência torna-se significativa.

Quanto ao bocal empregado, vários livros e trabalhos analisam o empuxo fornecido por estes aparatos em função de suas dimensões. Por esta razão, apenas citou-se uma variação no diâmetro da garganta do bocal e o novo empuxo produzido.

A importância de se levar em conta o que ocorre durante os períodos transitórios torna-se patente quando se analisam os resultados dos exemplos de manobras mostrados no item V.3. Nesses exemplos, os períodos transitórios, aparentemente pequenos, chegam a provocar desalinhamentos de cerca de $0,5^{\circ}$, erro este inaceitável para praticamente qualquer tipo de missão.

Como o controle da atuação do sistema de jatos de gás depende de uma programação prévia, que deve levar em conta os transitórios, verifica-se que um aspecto muito importante deste trabalho é a possibilidade de se programar o controle com um conhecimento muito maior do sistema, permitindo ao satélite precisões de apontamento significativamente melhores.

Embora não tenha sido abordado neste trabalho, este estudo também pode ser empregado em um sistema de controle de órbita. A principal diferença residiria no fato de estes normalmente empregarem hidrazina como propelente. Neste caso, a maior mudança no modelo seria considerar a existência de uma reação de decomposição catalítica da hidrazina, de forma a produzir os gases que geram o empuxo. Do reservatório até o leito catalítico o fluido seria um líquido muito semelhante à água, mas a partir daí, haveria gás.

Os próximos passos no sentido de aperfeiçoar este modelo devem incluir os seguintes pontos:

- simulação física do sistema ;
- melhoria do modelo termodinâmico da válvula de controle, através de um estudo mais detalhado do escoamento em seu interior ;
- inclusão da energia magnética de todo o circuito no cálculo da força magnética ;

- melhoria do modelo termodinâmico da válvula reguladora de pressão; ao invés de considerar a pressão de estagnação a juzante constante, seria feita uma análise detalhada dos processos ocorridos com o gás em seu interior ;
- otimização dos parâmetros da válvula de controle, tais como dimensões, tensão de alimentação da bobina e outros, em relação à massa ou ao desempenho da válvula ;
- inclusão das imprecisões e ruídos inerentes ao sistema; são estes erros que impedem que o sistema de jatos de gás possa ser usado para manobras precisas; referem-se, sobretudo, a variações no empuxo em função do tempo ;
- adaptação do modelo para uso com hidrazina; com isto seria possível analisar sistemas de controle de atitude por jatos de gás quente, além de ser possível modelar sistemas de controle de órbita, conforme explicado anteriormente.
- desenvolver um estudo que permita obter as constantes K_g e K_t , obtidas na otimização de custos, levando em conta o maior número possível de fatores.

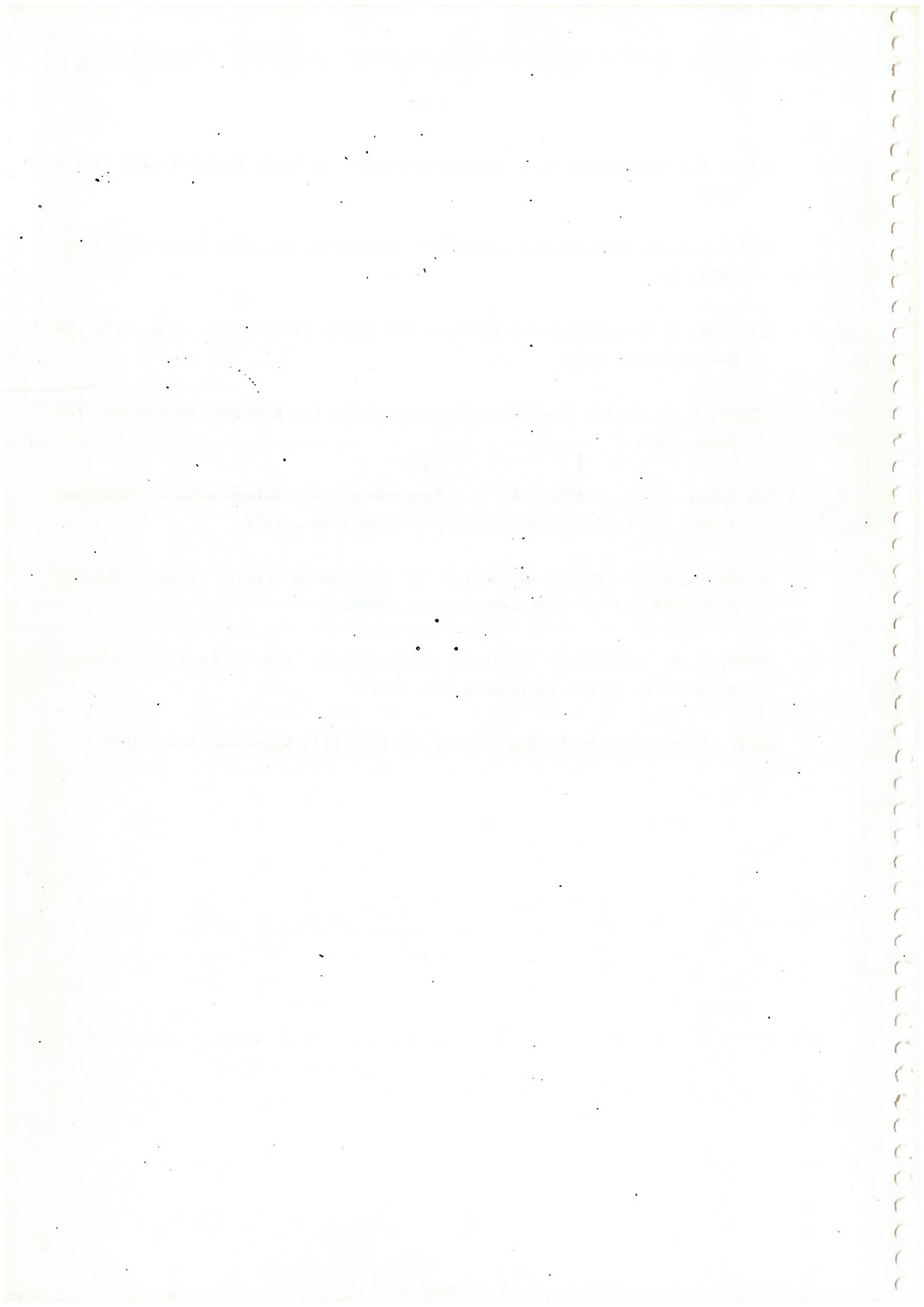
Faint, illegible text, possibly bleed-through from the reverse side of the page. The text is arranged in several paragraphs, but the characters are too light and blurry to transcribe accurately.

BIBLIOGRAFIA

- AMERICAN SOCIETY FOR METALS (ASM). Metals Handbook. 8.ed., Ohio, 1976, v.1.
- BARRÈRE, M.; JAUMOTTE, A.; VEUBEKE, B. F. de; VANDENKERCKHOVE, J. Rocket Propulsion. Netherlands, Nederland Boekdruk Inrichting N. V., 'S - Hertogenbosch, 1960.
- BOURG, P. E. Thruster Performances Modelling and Parameters Estimation, In Spacecraft Flight Dynamics, Darmstadt, Germany, May, 18-22, 1981. Proceedings of an International Simposium. Paris, European Space Agency (ESA), 1981, 479-484.
- CARNAHAN, B.; LUTHER, H. A.; WILKES, J. O. Applied Numerical Methods. N. York, John Wiley and Sons Inc., 1969.
- CARRARA, V. As Rotinas Gráficas Curva e Gráfico: Descrição e Utilização. S. José dos Campos, INPE, 1984, INPE-3009-RPI/087.
- CARTON, D. S.; SIRPAL, J.P. Nozzle Geometry Optimization. Journal of the Aeronautical Society of India, 14(3):72-76, Aug. 1962.
- CONFERENCE OF MAGNETIC MATERIALS AND THEIR APPLICATIONS, Tunbridge Wells, Kent, IEE, Sep. 26-28, 1967.
- ECKERT, E. R. G.; DRAKE, R. M., Jr. Analysis of Heat and Mass Transfer. Tóquio, Mc Graw Hill Kogakusha, Ltd., 1972.
- EMMONS, H. W. Fundamentals of Gas Dynamics. Princeton, N. J., Princeton University Press, 1967, v.3.
- FORSYTHE, G. E.; MALCOLM, M. A.; MOLER, C. B. Computer Methods for Mathematical Computations. N. Jersey, Prentice-Hall Inc., 1977.
- GIACAGLIA, G. E. O. Mecânica Geral. 10.ed. Rio de Janeiro, Editora Campus Ltda., 1982.

- HAMMING, R. W. Numerical Methods for Scientists and Engineers. York, Pa, Mc Graw Hill Book Company Inc., 1962.
- HENNEY, K. Radio Engineering Handbook. 5.ed. N. York, Mc Graw Hill Book Company Inc., 1959.
- HILDEBRAND, F. B. Introduction to Numerical Analysis. York, Pa, Mc Graw Hill Book Company Inc., 1956.
- KELLY, L. G. Handbook of Numerical Methods and Applications. Reading, Ma, Addison-Wesley Publishing Company Inc., 1967.
- KRAUS, J. D.; CARVER, K. R. Eletromagnetismo. 2.ed., Rio de Janeiro, Guanabara Dois, 1978.
- KUESER, P. E.; PAVLOVIC, D. M.; LANE, D. H.; CLARK, J. J.; SPEWOCK, M. Properties of Magnetic Materials for Use in High Temperature Space Power Systems. Cleveland, NASA, 1967, NASA SP-3043.
- NASA Control, Guidance and Navigation of Spacecraft. Washington, D. C., 1962. NASA SP-17.
- OLIVEIRA Jr., I. E. Modelagem Matemática, Otimização e Análise de Sistemas de Jatos de Gás Frio para Controle de Atitude de Satélites. S. José dos Campos, INPE, 1985, INPE-3638-RPI/138.
- REITZ, J. R.; FREDERICK, J. M.; CHRISTY, R. W. Foundations of Electromagnetic Theory. 3.ed. Reading, Ma, Addison-Wesley Publishing Company Inc., 1980.
- ROTHERS, H. Electromagnetic Devices. N. York, John Wiley and Sons, Inc., 1941.
- SCOTT, W. T. The Physics of Electricity and Magnetism. 2.ed., N. York, John Wiley and Sons Inc., 1966.

- SEELY, S.; POULARIKAS, A. D. Electromagnetics. N. York, Marcel Dekker Inc., 1979.
- SHAPIRO, A. H. Compressible Fluid Flow. Arlington, Ma, John Wiley and Sons, 1953, 2v.
- STREETER, V. L. Mecânica dos Fluidos. São Paulo, Editora Mc Graw Hill do Brasil Ltda., 1974.
- SUTTON, G. P. Rocket Propulsion Elements. 3.ed. Los Angeles, John Wiley and Sons, 1967.
- VAN WYLEN, G. J.; SONNTAG, R. E. Fundamentos da Termodinâmica Clássica. 2.ed., São Paulo, Editora Edgard Blucher Ltda., 1976.
- WELSBY, V. G. The Theory and Design of Inductance Coils. 2.ed., London, Macdonald and Co. (Publishers) Ltd., 1964.
- WERTZ, J. R. Spacecraft Attitude Determination and Control. Dordrecht, Holland, D. Reidel Publishing Co., 1978.
- WHITE, F. M. Fluid Mechanics. Tóquio, Mc Graw Hill Kogakusha Ltd., 1979.



APÊNDICE A

CÁLCULO DAS ÁREAS MÉDIAS NO CIRCUITO MAGNÉTICO

Para o cômputo das permeabilidades magnéticas médias é necessário determinar as áreas médias do circuito. A figura a seguir mostra um esquema da válvula e o caminho seguido pelo fluxo magnético.

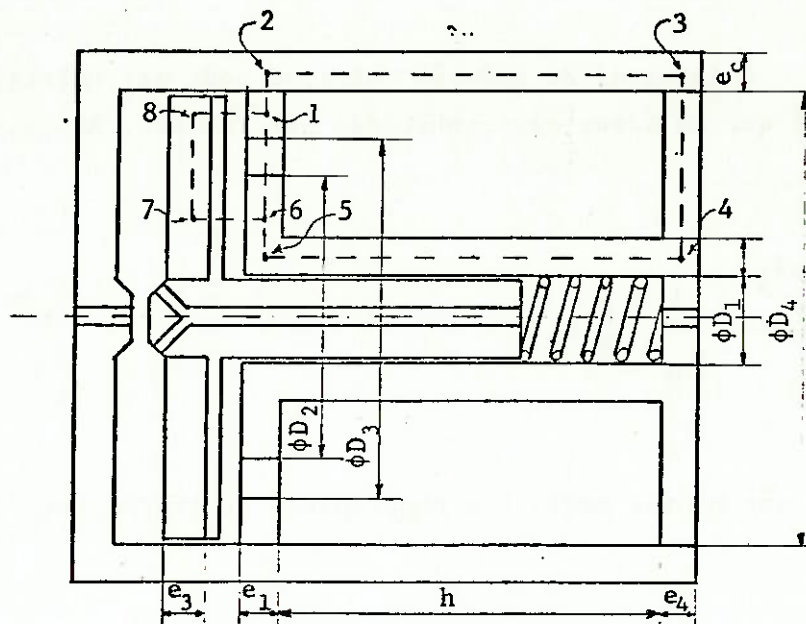


Fig. A.1 - Caminho do Fluxo Magnético na Válvula.

Conforme mencionado no Capítulo III, o caminho seguido pelo fluxo é 1-2-3-4-5-6, havendo no ponto 6 uma bifurcação; uma parte do fluxo segue para o ponto 1 diretamente, através do isolante, e outra percorre o caminho 6-7-8-1.

Assim, duas áreas médias serão consideradas: a primeira entre os pontos 1 e 6 no caminho 1-2-3-4-5-6; a segunda entre os pontos 6 e 1 no caminho 6-7-8-1.

A primeira delas, denominada S_m é calculada como segue:

$$S_m = \frac{\int_1^6 S \, dl}{\int_1^6 dl} = \frac{1}{L_m} \cdot \int_1^6 S \, dl \quad , \quad (A.1)$$

sendo L_m o comprimento total entre os pontos 1 e 6, e S a área no comprimento dl .

A integral da equação anterior pode ser substituída por uma somatória, já que as áreas são conhecidas por trechos. Assim, tem-se:

$$S_m = \frac{\sum_{i=1}^5 S_i \cdot l_i}{\sum_{i=1}^5 l_i} = \frac{1}{L_m} \cdot \sum_{i=1}^5 S_i \cdot l_i \quad , \quad (A.2)$$

onde S_i e l_i são a área média e o comprimento do trecho entre os pontos i e $i+1$ e

$$L_m = \sum_{i=1}^5 l_i \quad . \quad (A.3)$$

Desenvolvendo esta somatória, obtém-se:

$$L_m = 2.h + e_1 + e_4 + 2 \cdot \left[\frac{D_4 + e_c}{2} - \frac{D_1 + e_2}{2} \right] - \left[\frac{D_3 + D_4}{4} - \frac{D_1 + D_2}{4} \right] , \text{ ou}$$

$$L_m = 2.h + e_1 + e_4 + (e_c - e_2) + \frac{3}{4} \cdot (D_4 - D_1) - \frac{1}{4} \cdot (D_3 - D_2) \quad . \quad (A.4)$$

Voltando à Equação A.2, verifica-se que o produto dentro da

somatória é o volume V_i de material do trecho i . A soma de todos estes volumes fornece o volume total do caminho, denominado V_m , isto é:

$$V_m = \sum_{i=1}^5 V_i \quad , \text{ ou seja:}$$

$$V_m = (h + e_1 + e_4) \cdot \frac{\pi}{4} \cdot [(D_4 + 2 \cdot e_c)^2 - D_1^2] - \frac{\pi}{4} \cdot h \cdot [D_4^2 + (D_1 + 2 \cdot e_c)^2] - \frac{\pi}{16} \cdot e_1 \cdot [(D_3 + D_4)^2 - (D_1 + D_2)^2] \quad , \text{ ou}$$

$$V_m = \pi \cdot h \cdot e_c \cdot (2 \cdot e_c + D_1 + D_4) + \frac{\pi}{4} \cdot (e_1 + e_4) \cdot [(D_4 + 2 \cdot e_c)^2 - D_1^2] + \frac{\pi}{16} \cdot e_1 \cdot [(D_3 + D_4)^2 - (D_1 + D_2)^2] \quad . \quad (A.5)$$

Os resultados das Expressões A.4 e A.5, substituídos na Equação A.2 permitem obter o valor de S_m .

De forma análoga, a área média entre os pontos 6 e 1, designada por S_{61} , é dada por:

$$S_{61} = \frac{V_{61}}{L_{61}} \quad . \quad (A.6)$$

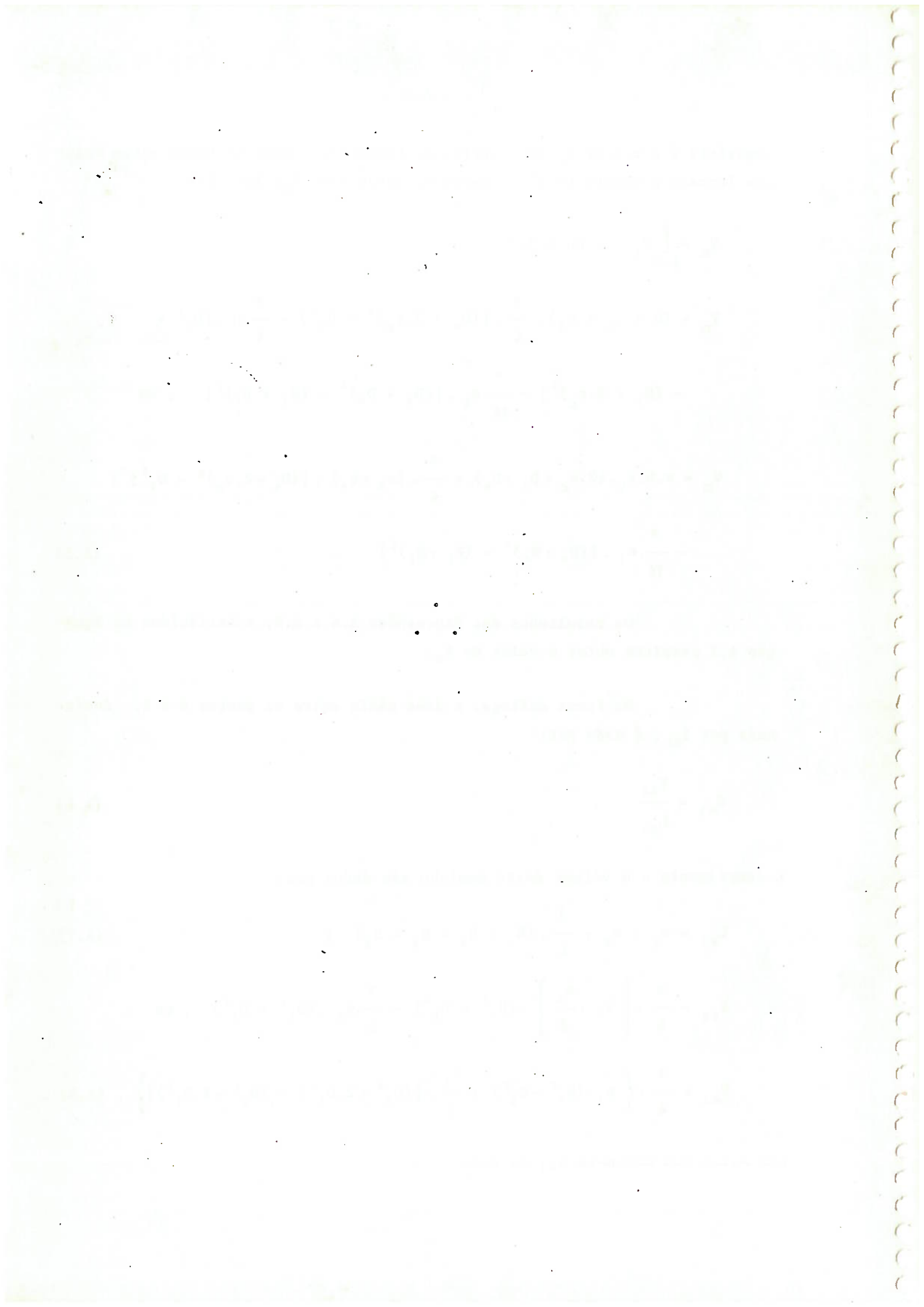
O comprimento e o volume deste caminho são dados por:

$$L_{61} = e_1 + e_3 + \frac{1}{4} \cdot (D_4 + D_3 - D_2 - D_1) \quad ; \quad (A.7)$$

$$V_{61} = \frac{\pi}{4} \cdot \left[e_3 + \frac{e_1}{2} \right] \cdot (D_4^2 - D_1^2) - \frac{\pi}{4} \cdot e_1 \cdot (D_3^2 - D_2^2) \quad , \text{ ou}$$

$$V_{61} = \frac{\pi}{4} \cdot \left\{ e_3 \cdot (D_4^2 - D_1^2) + \frac{e_1}{2} \cdot [(D_4^2 + 2 \cdot D_2^2) - (D_1^2 + 2 \cdot D_3^2)] \right\} \quad . \quad (A.8)$$

Com A.7 e A.8 obtêm-se S_{61} de A.6.



APÊNDICE B

**INTEGRAÇÃO DAS EQUAÇÕES DIFERENCIAIS QUE
REGEM O ESCOAMENTO DE FANNO**

O escoamento de Fanno (adiabático com atrito) é regido pelas seguintes equações (Shapiro, 1953):

$$\frac{dM^2}{M^2} = k.M^2 \cdot \frac{1 + \frac{k-1}{2}.M^2}{1 - M^2} \cdot f \cdot \frac{dx}{D} ; \quad (B.1)$$

$$\frac{dp}{p} = - k.M^2 \cdot \frac{1 + (k-1).M^2}{2.(1 - M^2)} \cdot f \cdot \frac{dx}{D} ; \quad (B.2)$$

$$\frac{dT}{T} = - \frac{k.(k-1).M^4}{2.(1-M^2)} \cdot f \cdot \frac{dx}{D} ; \quad (B.3)$$

$$\frac{d\rho}{\rho} = - \frac{k.M^2}{2.(1-M^2)} \cdot f \cdot \frac{dx}{D} ; \quad (B.4)$$

$$\frac{dV}{V} = - \frac{d\rho}{\rho} = \frac{k.M^2}{2.(1-M^2)} \cdot f \cdot \frac{dx}{D} ; \quad (B.5)$$

$$\frac{dp_0}{p_0} = - \frac{k.M^2}{2} \cdot f \cdot \frac{dx}{D} ; \quad (B.6)$$

$$\frac{d\rho_0}{\rho_0} = \frac{dp_0}{p_0} = - \frac{k.M^2}{2} \cdot f \cdot \frac{dx}{D} . \quad (B.7)$$

A primeira expressão (B.1), que vai fornecer o número de Mach do escoamento em função da posição na tubulação, é resolvida como mostrado a seguir:

$$\frac{(1 - M^2) dM^2}{M^4 \cdot [2 + (k-1) \cdot M^2]} = \frac{k \cdot f}{2 \cdot D} dx$$

Fazendo $y = M^2$, fica-se com:

$$\frac{(1 - y) dy}{y^2 \cdot [2 + (k-1) \cdot y]} = \frac{k \cdot f}{2 \cdot D} dx, \text{ ou}$$

$$\frac{dy}{y^2 \cdot [2 + (k-1) \cdot y]} - \frac{dy}{y \cdot [2 + (k-1) \cdot y]} = \frac{k \cdot f}{2 \cdot D} dx \quad (B.8)$$

Agora pode-se proceder a uma integração destas equações, ou simplesmente procurar suas soluções em uma tabela de integrais. Assim, integrando y desde y_1 até y_2 e x de 0 a L , fica-se com:

$$\begin{aligned} & \frac{1}{2 \cdot y_1} - \frac{1}{2 \cdot y_2} + \frac{k-1}{4} \cdot \ln \frac{y_1 \cdot [2 + (k-1) \cdot y_2]}{y_2 \cdot [2 + (k-1) \cdot y_1]} - \frac{1}{2} \cdot \ln \frac{y_2 \cdot [2 + (k-1) \cdot y_1]}{y_1 \cdot [2 + (k-1) \cdot y_2]} = \\ & = \frac{k \cdot f \cdot L}{2 \cdot D} \end{aligned}$$

Utilizando as propriedades dos logaritmos e fazendo algumas simplificações, chega-se à solução final, já substituindo y por M^2 :

$$\frac{1}{M_1^2} - \frac{1}{M_2^2} + \frac{k+1}{2} \cdot \ln \frac{M_1^2 \cdot [2 + (k-1) \cdot M_2^2]}{M_2^2 \cdot [2 + (k-1) \cdot M_1^2]} = \frac{k \cdot f \cdot L}{D} \quad (B.9)$$

sendo M_1 o número de Mach no início da tubulação (onde $x = 0$) e M_2 o do final (onde $x = L$).

Embora a Equação B.1 tenha permitido uma solução direta para o número de Mach em função de x , as Expressões B.2 a B.7 não o permitem em relação a suas variáveis por dependerem explicitamente do número de Mach.

Nota-se, entretanto, que todas elas apresentam o termo $(f \cdot dx/D)$, o que sugere que uma divisão entre duas delas fará desaparecer este fator. Assim, serão obtidas equações que relacionarão as diversas grandezas apenas com o número de Mach. Uma integração destas equações fornecerá cada grandeza em função unicamente do número de Mach; como este último é função apenas da posição na tubulação (Relação B.9), têm-se também as variáveis das Equações B.2 a B.7 como função da posição.

Assim, dividindo a Equação B.2 pela B.1 e reordenando-a, obtêm-se:

$$\frac{dp}{p} = - \frac{[1 + (k-1) \cdot M^2] dM^2}{[2 + (k-1) \cdot M^2] M^2} \quad (B.10)$$

ou, integrando esta equação:

$$\int_{p_1}^{p_2} \frac{dp}{p} = - \int_{M_1^2}^{M_2^2} \frac{dM^2}{[2 + (k-1) \cdot M^2] \cdot M^2} - \int_{M_1^2}^{M_2^2} \frac{(k-1) dM^2}{2 + (k-1) \cdot M^2} \quad (B.11)$$

Os resultados de cada integral são os seguintes:

$$\int_{p_1}^{p_2} \frac{dp}{p} = \ln \frac{p_2}{p_1} \quad ,$$

$$\int_{M_1^2}^{M_2^2} \frac{dM^2}{[2 + (k-1) \cdot M^2] \cdot M^2} = \frac{1}{2} \cdot \ln \frac{M_2^2 \cdot [2 + (k-1) \cdot M_1^2]}{M_1^2 \cdot [2 + (k-1) \cdot M_2^2]} \quad ,$$

$$\int_{M_1^2}^{M_2^2} \frac{(k-1) dM^2}{2 + (k-1) \cdot M^2} = \ln \frac{2 + (k-1) \cdot M_2^2}{2 + (k-1) \cdot M_1^2} \quad .$$

Substituindo estes valores na Relação B.10 e melhorando sua forma, chega-se a:

$$\frac{p_2}{p_1} = \frac{M_1}{M_2} \left(\frac{2 + (k-1) \cdot M_1^2}{2 + (k-1) \cdot M_2^2} \right)^{1/2} \quad (B.12)$$

Dividindo a Equação B.3 pela B.1 obtém-se:

$$\frac{dT}{T} = - \frac{(k-1) dM^2}{2 + (k-1) \cdot M^2} \quad (B.13)$$

Após a integração, o resultado final é:

$$\frac{T_2}{T_1} = \frac{2 + (k-1) \cdot M_1^2}{2 + (k-1) \cdot M_2^2} \quad (B.14)$$

A divisão da Relação B.4 pela B.1 produz:

$$\frac{d\rho}{\rho} = - \frac{dM^2}{[2 + (k-1) \cdot M^2] \cdot M^2} \quad (B.15)$$

equação esta que, após integrada, resulta:

$$\frac{\rho_2}{\rho_1} = \frac{M_1}{M_2} \left(\frac{2 + (k-1) \cdot M_2^2}{2 + (k-1) \cdot M_1^2} \right)^{1/2} \quad (B.16)$$

A primeira igualdade da Expressão B.5 simplifica o cálculo das velocidades. Esta equação dividida por B.1 fornece:

$$\frac{dv}{v} = \frac{dM^2}{[2 + (k-1) \cdot M^2] \cdot M^2} \quad (B.17)$$

Portanto, sua integral resulta:

$$\frac{v_2}{v_1} = \frac{M_2}{M_1} \left(\frac{2 + (k-1) \cdot M_1^2}{2 + (k-1) \cdot M_2^2} \right)^{1/2} \quad (B.18)$$

Da divisão da Expressão B.6 pela B.1 obtém-se:

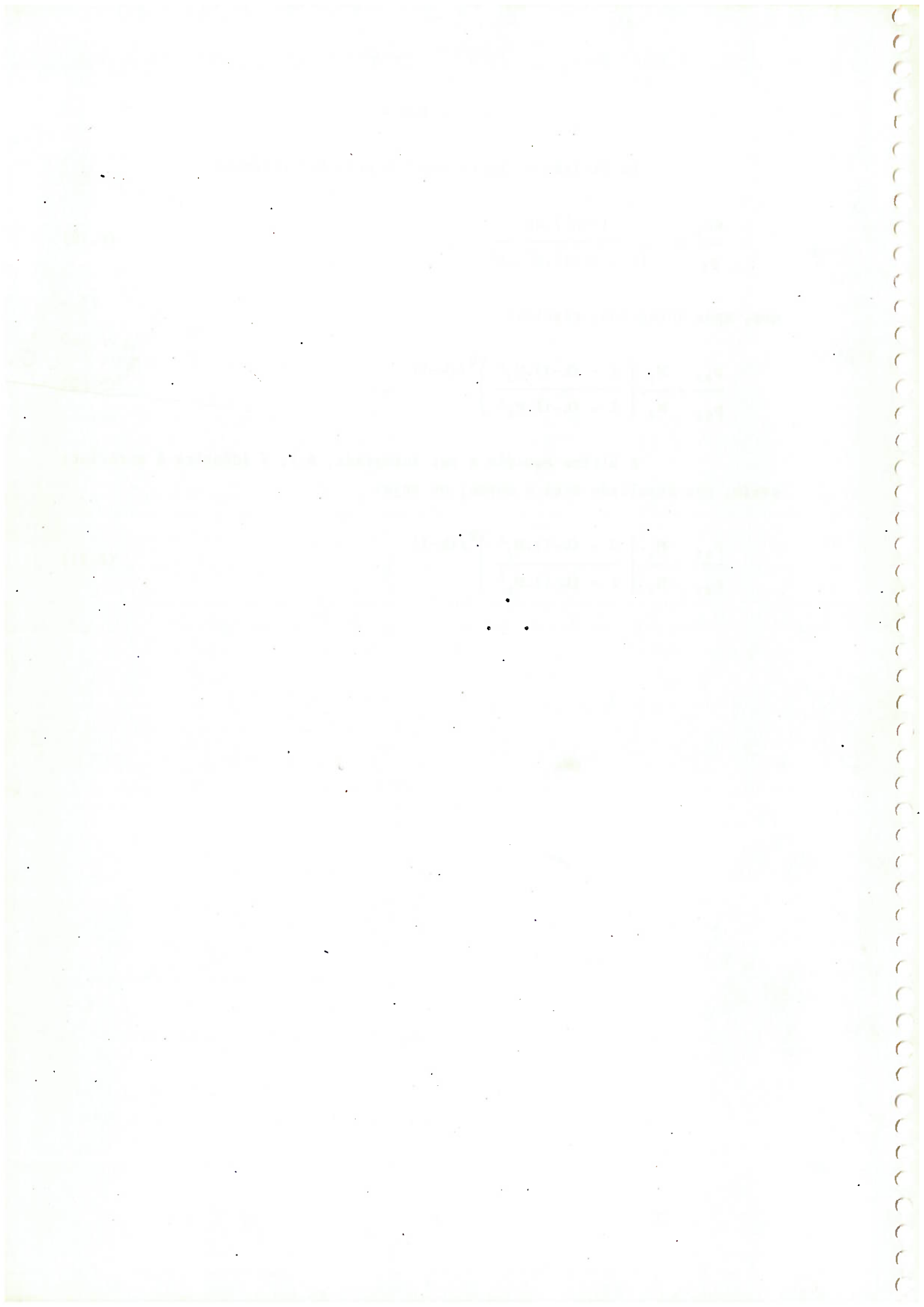
$$\frac{dp_0}{p_0} = - \frac{(1-M^2).dM^2}{[2 + (k-1).M^2].M^2}, \quad (B.19)$$

que, após integrada, resulta:

$$\frac{p_{02}}{p_{01}} = \frac{M_1}{M_2} \left(\frac{2 + (k-1).M_2^2}{2 + (k-1).M_1^2} \right)^{k/(k-1)} \quad (B.20)$$

A última equação a ser integrada, B.7, é idêntica à anterior; assim, seu resultado será o mesmo, ou seja:

$$\frac{p_{02}}{p_{01}} = \frac{M_1}{M_2} \left(\frac{2 + (k-1).M_2^2}{2 + (k-1).M_1^2} \right)^{k/(k-1)} \quad (B.21)$$



APÊNDICE C

LISTAGENS DE COMPUTADOR

Este apêndice destina-se a mostrar os programas de computador que foram empregados nas simulações.

Basicamente, dois programas principais foram utilizados, um deles de nome VÁLVULA e outro denominado MANOBRA.

O primeiro deles, definido o satélite e as características do sistema, fornece o desempenho deste último durante os transitórios e durante o regime permanente, além de traçar todos os gráficos de interesse referentes à válvula e mais o do empuxo em função do tempo (V. Figs. V.3 e V.4).

Este programa, o VÁLVULA, utiliza sub-rotinas externas a ele para o traçado dos gráficos, denominadas CURVA e GRAFI, para localização de zeros de funções, de nome ZERO, e para aproximação de uma curva a uma série de pontos, denominada INTCUB.

A maneira de utilização das sub-rotinas CURVA e GRAFI, que efetuam o traçado dos gráficos, pode ser encontrada detalhadamente em Carrara (1984). As listagens das demais sub-rotinas são mostradas a seguir.

Além de sub-rotinas externas, o VÁLVULA necessita de arquivos de dados de entrada e de saída. Os de entrada contêm as dimensões e as características básicas do SCA necessárias ao cálculo de seu desempenho. O principal arquivo de saída acumula os valores dos intervalos de tempo Δt_1 , Δt_2 , Δt_4 e Δt_5 , além de também guardar o empuxo de regime permanente F_{erp} e as integrais INT_1 , INT_2 , INT_{12} e INT_{22} . Este arquivo, denominado EMP, é utilizado como entrada no programa MANOBRA, que tem a função de simular as manobras de dessaturação de uma roda de reação e as de alteração de atitude.

O programa MANOBRA aplica as equações desenvolvidas no Capítulo IV e verifica o desempenho do Sistema de Controle de Atitude com aquelas determinadas características.

A seguir estão as listagens de ambos os programas e das sub-rotinas, concebidos na linguagem Algol.

MANOERA (01/23/87)

```
1000 $SET AUTOBIND
1010 $BIND = FROM (GRAB)GRAF,ROTINAS/PLOTTER1051/=
1020 $USE RA FOR /CURT1/
1030 $USE RE FOR /GRACO/
1040 BEGIN
1050 FILE LEIA(KIND=REMOTE),ESCREVA(KIND=REMOTE),IMPRIMA(KIND=PRINTER);
1060 FILE EMP(KIND=DISK,TITLE="EMP.",FILETYPE=7);
1070 INTEGER NC,I,J,J1,J2,J3,J4,J5,JF;
1080 REAL DT,DT3,DT1,DT2,DT4,DT5,FERP,INT1,INT2,INT12,INT22,TORR,
1090 IR,WRI,WRF,PI,TC,T1,T2,T3,T4,T5,TDR,NB,AR,RS,ISAT,K1,K2,
1100 X1,X2,FID,DELTA,A,B,C,DTD,T11,T21,T31,T41,T51,T02,T12,
1110 T22,T32,T42,T52;
1120 ARRAY T,WR,AS,RS,FIS90:120A , RA,REG1:30A;
1130 ALPHA ARRAY IX,TY90:10A;
1140 PROCEDURE CURVA(N,X,Y,TX,TY);
1150 INTEGER N;
1160 ARRAY X,Y9*A;
1170 ALPHA ARRAY IX,TY9*A;
1180 EXTERNAL;
1190 PROCEDURE GRAFI(N,X,Y,TX,TY);
1200 INTEGER N;
1210 ARRAY X,Y9*A;
1220 ALPHA ARRAY IX,TY9*A;
1230 EXTERNAL;
1240 READ(EMP,/,DT1,DT2,DT4,DT5);
1250 READ(EMP,/,FERP,INT1,INT2,INT12,INT22);
1260 WRITE(ESCREVA,</,X10,"FORNECA OS DADOS DO SATELITE:",/,
1270 X15,"ISAT , NB , RS">);
1280 READ(LEIA,/,ISAT,NB,RS);
1290 X
1300 WRITE(IMPRIMA,</,X15,"DADOS DO SATELITE:",/,
1310 "MOMENTO DE INERCIA: ",F7.2," KG.M**2",/,
1320 "NUMERO DE MICROMOTORES ATUANTES EM CADA SENTIDO: ",I2,/,
1330 "RAIO DE FIXACAO DOS MICROCTORES: ",F6.3," M">,
1340 ISAT,NB,RS);
1350 X
1360 WRITE(ESCREVA,</,X15,"INDIQUE O CASO ANALISADO:",/,
1370 X10,"1 - DESSATURACAO DE RODA DE REACAO:",/,
1380 X10,"2 - ALTERACAO DE ALTITUDE.">);
1390 READ(LEIA,/,NC);
1400 PI=ARCCOS(-1);
1410 CASE NC OF
1420 BEGIN
1430 X
1440 X MANOERA DE DESSATURACAO DE RODA DE REACAO
1450 X
1460 1:WRITE(ESCREVA,</,X10,"FORNECA O TEMPO ENTRE SINAIS DA ",
1470 "VALVULA PARA",/,X10,"OTIMIZAR OS TEMPOS, ",
1480 "FORNECA UM VALOR NEGATIVO.">);
1490 READ(LEIA,/,DTS);
1500 WRITE(ESCREVA,</,X15,"FORNECA OS DADOS DA RODA.",/,
1510 "MOMENTO DE INERCIA $KG*M**2A:">);
1520 READ(LEIA,/,IR);
1530 WRITE(ESCREVA,</,"TORQUE $N*MA:">);
1540 READ(LEIA,/,TORR);
1550 WRITE(ESCREVA,</,"VELOCIDADES INICIAL E FINAL $RPM:">);
1560 READ(LEIA,/,WRI,WRF);
```

```
1570 Z
1580 WRITE(IMPRESA,</,X10,"DESSATURACAO DE RODA DE REACAO",//,
1590 X15,"DADOS DA ROCA:",//,
1600 "MOMENTO DE INERCIA: ",F6.3," KG.M**2",//,
1610 "TORQUE: ",F6.3," N.M",//,
1620 "VELOCIDADE INICIAL: ",F7.1," RPM",//,
1630 "VELOCIDADE FINAL DESEJADA: ",F6.2," RPM">,
1640 IR,TORR,WRI,WRF);
1650 WRI:=WRI * PI/30;
1660 WRF:=WRF * PI/30;
1670 AR:=-TORR/IR;
1680 TDR:=(WRF-WRI)/AR;
1690 IF DT5 GT 0 THEN
1700 BEGIN
1710 WRITE(ESCREVA,</,X10,"FORNECA O INSTANTE DE LIGACAO",
1720 " DOS JATOS.">);
1730 READ(LEIA,/,T0);
1740 T1:=T0 + DT1;
1750 T2:=T1 + DT2;
1760 T3:=T0 + DT3;
1770 T4:=T3 + DT4;
1780 T5:=T4 + DT5;
1790 END
1800 ELSE
1810 BEGIN
1820 T5:=(TDR/2 + TORR*TDR/(2*NB*RS*FERP) - INT2/FERP +
1830 NB*RS/(TORR*TDR) * ((INT2**2-INT1**2)/(2*FERP) +
1840 INT1*DT5 + INT12 + INT22);
1850 T4:=-T5 - DT5;
1860 T3:=T4 - DT4;
1870 T2:=T4 - TORR*TDR/(NB*RS*FERP) + (INT1+INT2)/FERP;
1880 T1:=T2 - DT2;
1890 T0:=T1 - DT1;
1900 END;
1910 WRITE(ESCREVA,</,X10,"T0 = ",E10.4," S",X10,"T1 = ",E10.4," S",
1920 //,X10,"T2 = ",E10.4," S",X10,"T3 = ",E10.4," S",//,
1930 X10,"T4 = ",E10.4," S",X10,"T5 = ",E10.4," S",//,
1940 X20,"TOR = ",E10.4," S",/,>,T0,T1,T2,T3,T4,T5,TDR);
1950 WRITE(IMPRESA,</,X10,"T0 = ",E10.4," S",X10,"T1 = ",E10.4," S",
1960 //,X10,"T2 = ",E10.4," S",X10,"T3 = ",E10.4," S",//,
1970 X10,"T4 = ",E10.4," S",X10,"T5 = ",E10.4," S",//,
1980 X20,"TOR = ",E10.4," S",/,>,T0,T1,T2,T3,T4,T5,TDR);
1990 DT:=TDR/80;
2000 T90A:=W90A:=FIS90A:=0;
2010 W90A:=WRI;
2020 Z
2030 Z CALCULOS DE 0 A T1
2040 Z
2050 FOR J:=1 STEP 1 WHILE T9J-1A LSS T1-DT DO
2060 BEGIN
2070 T9JA:=T9J-1A + DT;
2080 W9JA:=(WRI + AR*T9JA);
2090 AS9JA:=TORR/ISAT;
2100 W99JA:=AS9JA*T9JA;
2110 FIS9JA:=AS9JA/2 *T9JA**2;
2120 END;
2130 J1:=J;
2140 T9J1A:=T1;
2150 W99J1A:=(WRI + AR*T1);
2160 AS9J1A:=TORR/ISAT;
```



```
2170 WSGJ1A:=ASQJ1A *T1;
2180 FISQJ1A:=ASQJ1A/2 *T1**2;
2190 J2:=J1+1;
2200 Z
2210 Z           CALCULOS DE T2 A T4
2220 Z
2230 FOR J:=J2 STEP 1 WHILE TQJ-1A LSS T4-DT DO
2240 BEGIN
2250 TQJA:=T2 + (J-J2)*DT;
2260 WRQJA:=(WRI + AR*TQJA);
2270 ASQJA:=TORR/ISAT - NB*RS*FERP/ISAT;
2280 WSGJA:=TORR/ISAT*TQJA - NB*RS/ISAT*(FERP*(TQJA-T2) +INT1);
2290 FISQJA:=TORR/(2*ISAT)*TQJA**2 - NB*RS/ISAT *(FERP/2*
2300 (TQJA-T2)**2 + INT1*(TQJA-T2) + INT12);
2310 END;
2320 J4:=J;
2330 TQJ4A:=T4;
2340 WRQJ4A:=(WRI + AR*T4);
2350 ASQJ4A:=ASQJ4-1A;
2360 WSGJ4A:=TORR/ISAT*T4 - NB*RS/ISAT*(FERP*(T4-T2) + INT1);
2370 FISQJ4A:=TORR/(2*ISAT)*T4**2 - NB*RS/ISAT*(FERP/2*
2380 (T4-T2)**2 + INT1*(T4-T2) + INT12);
2390 Z
2400 Z           CALCULOS EM T5
2410 Z
2420 J5:=J4+1;
2430 TQJ5A:=T5;
2440 WRQJ5A:=(WRI + AR*T5);
2450 ASQJ5A:=TORR/ISAT;
2460 WSGJ5A:=TORR/ISAT*T5 - NB*RS/ISAT *(FERP*(T4-T2) + INT1
2470 +INT2);
2480 FISQJ5A:=TORR/(2*ISAT)*T5**2 - NB*RS/ISAT *(FERP/2*
2490 (T4-T2)**2 + INT1*(T5-T2) +INT12 + INT22);
2500 Z
2510 Z           CALCULOS DE T5 A TDR
2520 Z
2530 FOR J:=J5+1 STEP 1 WHILE TQJ-1A LSS IDR-DT DO
2540 BEGIN
2550 TQJA:=T5 + (J-J5)*DT;
2560 WRQJA:=(WRI + AR*TQJA);
2570 ASQJA:=TORR/ISAT;
2580 WSGJA:=TORR/ISAT*TQJA - NB*RS/ISAT *(INT1 +FERP*(T4-T2)
2590 +INT2);
2600 FISQJA:=TORR/(2*ISAT)*TQJA**2 - NB*RS/ISAT *(INT1*(TQJA-T2)
2610 +INT2*(TQJA-T5) +FERP*(T4-T2)*(TQJA-T5) +INT12 +FERP/2 *
2620 (T4-T2)**2 +INT22);
2630 END;
2640 JF:=J;
2650 TQJFA:=TDR;
2660 WRQJFA:=(WRI + AR*IDR);
2670 ASQJA:=0;
2680 WSGJFA:=TORR/ISAT*IDR - NB*RS/ISAT *(INT1 +FERP*(T4-T2)
2690 +INT2);
2700 FISQJFA:=TORR/(2*ISAT)*TDR**2 - NB*RS/ISAT *(INT1*(TDR-T2) +
2710 INT2*(IDR-T5) +FERP*(T4-T2)*(TDR-T5) +INT12 +FERP/2 *
2720 (T4-T2)**2 +INT22);
2730 FOR J:=0 STEP 1 UNTIL JF DO
2740 WRQJA:=WRQJA * 30/PI;
2750 WRITE(ESCREVA, </, X15, "CARACTERISTICAS FINAIS:", //,
2760 X10, "VELOCIDADE DA RODA: ", E10.3, " RPM", //,
```

```
2770      X10,"VELOCIDADE DO SATELITE: ",E10.3," GRAUS/S",/,
2780      X10,"POSICAO ANGULAR DO SATELITE: ",E10.3," GRAUS",/,>,
2790      WRQJFA,WSQJFA*180/PI,FISQJFA*180/PI);
2800      WRITE(IMPRIMA,</,X15,"CARACTERISTICAS FINAIS:",/,,
2810      X10,"VELOCIDADE DA ROCA: ",E10.3," RPM",/,
2820      X10,"VELOCIDADE DO SATELITE: ",E10.3," GRAUS/S",/,
2830      X10,"POSICAO ANGULAR DO SATELITE: ",E10.3," GRAUS",/,>,
2840      WRQJFA,WSQJFA*180/PI,FISQJFA*180/PI);
2850      X
2860      X      MANOBRA DE ALTERACAO DE ATITUDE
2870      X
2880      2:WRITE(ESCREVA,</,X10,"FORNECA O ANGULO DE GIRO, EM GRAUS">);
2890      READ(LEIA,/,FID);
2900      X
2910      WRITE(IMPRIMA,</,X10,"ALTERACAO DE ATITUDE",/,,
2920      "ANGULO DE GIRO DO SATELITE: ",F7.2," GRAUS">,FID);
2930      X
2940      FID:=FID*PI/180;
2950      X
2960      WRITE(ESCREVA,</,X10,"FORNECA O TEMPO DE DURACAO DE UM ",
2970      "PULSO (DTD). PARA",/, X10,"OTIMIZAR OS TEMPOS, FORNECA ",
2980      "UM VALOR NEGATIVO.">);
2990      READ(LEIA,/,DTD);
3000      X
3010      IF DTD LEQ 0 THEN
3020      BEGIN
3030      WRITE(ESCREVA,</,X15,"FORNECA OS VALORES DE K1 E K2">);
3040      READ(LEIA,/,K1,K2);
3050      DTS:=DT1 + DT2 - DT4 + SQRT(K2*FID*ISAT/(NB*RS*FERP*
3060      (K1+K2))) - (INT1+INT2)/FERP;
3070      DTD:= FID*ISAT/(NB*RS*(FERP*(DIS+DT4-DT1-DT2)+INT1+
3080      INT2)) - DTS;
3090      WRITE(IMPRIMA,</,X10,"TEMPO DE DURACAO DTD=",
3100      END
3110      ELSE
3120      BEGIN
3130      WRITE(ESCREVA,</,X10,"FORNECA O INTERVALO ENTRE SINAIS",
3140      " (DTS).">);
3150      READ(LEIA,/,DTS);
3160      WRITE(IMPRIMA,</,X10,"INTERVALOS DE TEMPO DTD E DTS DADOS">);
3170      END;
3180      X
3190      WRITE(ESCREVA,</,X10,"DTS = ",F10.4," S",X10,"DTD = ",
3200      F10.4," S">,DTS,DTD);
3210      WRITE(IMPRIMA,</,X10,"DTS = ",F10.4," S",X10,"DTD = ",
3220      F10.4," S">,DTS,DTD);
3230      X
3240      X      DEFINICAO DOS TEMPOS DA MANOBRA
3250      X
3260      T11:=DT1;
3270      T21:=T11 + DT2;
3280      T31:=DTS;
3290      T41:=T31 + DT4;
3300      T51:=T41 + DTS;
3310      T02:=T31 + DT0;
3320      T12:=T02 + DT1;
3330      T22:=T12 + DT2;
3340      T32:=T02 + DTS;
3350      T42:=T32 + DT4;
3360      T52:=T42 + DTS;
```

```
3370 DT:=I52/100;
3380 Z
3390 Z   DEFINICAO DOS PRIMEIROS VALORES, EM T0, T11 E T21
3400 Z
3410 TQ0A:=WSQ0A:=FISQ0A:=0;
3420 TQ1A:=T11;
3430 WSQ1A:=FISQ1A:=0;
3440 TQ2A:=T21;
3450 WSQ2A:=NB*RS*INT1/ISAT;
3460 FISQ2A:=NB*RS*INT12/ISAT;
3470 Z
3480 Z   CALCULOS DA PRIMEIRA FASE
3490 Z
3500 FOR J:=3 STEP 1 WHILE TQJ-1A LSS T41-DT DO
3510 BEGIN
3520 TQJA:=TQJ-1A + DT;
3530 WSQJA:=NB*RS/ISAT *(INT1 + FERP*(TQJA-T21));
3540 FISQJA:=NB*RS/ISAT *(FERP/2*(TQJA-T21)**2 + INT1*
3550 (TQJA-T21) + INT12);
3560 END;
3570 Z
3580 Z   DEFINICAO DOS VALORES EM T41 E T51
3590 Z
3600 J1:=J;
3610 TQJ1A:=T41;
3620 WSQJ1A:=NB*RS/ISAT *(INT1 + FERP*(T41-T21));
3630 FISQJ1A:=NB*RS/ISAT *(FERP/2*(T41-T21)**2 + INT1*
3640 (T41-T21) + INT12);
3650 TQJ1+1A:=T51;
3660 WSQJ1+1A:=NB*RS/ISAT *(INT1 + FERP*(T41-T21) + INT2);
3670 FISQJ1+1A:=FISQJ1A + NB*RS/ISAT *(FERP*(T41-T21)*DT5 +
3680 INT1*DT5 + INT22);
3690 Z
3700 Z   CALCULOS DA SEGUNDA FASE
3710 Z
3720 FOR J:=J1+2 STEP 1 WHILE TQJ-1A LSS T12-DT DO
3730 BEGIN
3740 TQJA:=TQJ-1A + DT;
3750 WSQJA:=WSQJ-1A;
3760 FISQJA:=WSQJA*(TQJA-T51) + FISQJ1+1A;
3770 END;
3780 Z
3790 Z   DEFINICAO DOS VALORES EM T12 E T22
3800 Z
3810 J2:=J;
3820 TQJ2A:=T12;
3830 WSQJ2A:=WSQJ2-1A;
3840 FISQJ2A:=WSQJ2A*(T12-T51) + FISQJ1+1A;
3850 TQJ2+1A:=T22;
3860 WSQJ2+1A:=WSQJ2A - NB*RS*INT1/ISAT;
3870 FISQJ2+1A:=FISQJ2A - NB*RS*INT12/ISAT + WSQJ2A*DT2;
3880 Z
3890 Z   CALCULOS DA TERCEIRA FASE
3900 Z
3910 FOR J:=J2+2 STEP 1 WHILE TQJ-1A LSS T42-DT DO
3920 BEGIN
3930 TQJA:=TQJ-1A + DT;
3940 WSQJA:=WSQJ2+1A - NB*RS*FERP/ISAT*(TQJA-T22);
3950 FISQJA:=FISQJ2+1A + WSQJ2+1A*(TQJA-T22) - NB*RS*FERP/
3960 (2*ISAT)*(TQJA-T22)**2;
```

```
3970      END;
3980      Z
3990      Z           DEFINICAO DOS VALORES FINAIS, EM T42 E T52
4000      Z
4010      J3:=J;
4020      TQJ3A:=T42;
4030      WSQJ3A:=NB*RS*INT2/ISAT;
4040      FISQJ3A:=FISQJ2+1A + WSQJ2+1A*(T42-T22) - AB*RS*FERP/
4050      (2*ISAT)*(T42-T22)**2;
4060      TQJ3+1A:=T52;
4070      WSQJ3+1A:=0;
4080      FISQJ3+1A:=FISQJ3A + WSQJ3A*DT5 - INT22;
4090      JF:=J3+1;
4100      Z
4110      WRITE(ESCREVA,</,X10,"POSICAO FINAL DO SATELITE: ",F10.3,
4120      " GRAUS",/,X10,"VELOCIDADE FINAL DO SATELITE: ",F10.3,
4130      " GRAUS/S">,FISQJFA*180/PI,WSQJFA*180/PI);
4140      Z
4150      WRITE(IMPRESA,</,X10,"POSICAO FINAL DO SATELITE: ",F10.3,
4160      " GRAUS",/,X10,"VELOCIDADE FINAL DO SATELITE: ",F10.3,
4170      " GRAUS/S">,FISQJFA*180/PI,WSQJFA*180/PI);
4180      END;
4190      FOR J:=0 STEP 1 UNTIL JF DO
4200      BEGIN
4210      WSQJA:=WSQJA * 180/PI;
4220      FISQJA:=FISQJA *. 180/PI;
4230      END;
4240      RAQ2A:=REQ2A:=1;
4250      RAQ12A:=2;
4260      RAQ16A:=REQ16A:= 6;
4270      REQ10A:=1;
4280      JF:=JF+1;
4290      Z
4300      Z           TRACAGEM DOS GRAFICOS
4310      Z
4320      TXQ0A:="TEMPO ";
4330      TXQ1A:="(S) ";
4340      IF NC = 1 THEN
4350      BEGIN
4360      Z
4370      Z           GRAFICO DA VELOCIDADE DA RODA
4380      Z
4390      TYQ0A:="VELOCI";
4400      TYQ1A:="DADE D";
4410      TYQ2A:="A RODA";
4420      TYQ3A:="(RPM)";
4430      CURVA(JF,T,WR,IX,TY);
4440      GRAFI(JF,T,WR,IX,TY);
4450      END;
4460      Z
4470      Z           GRAFICO DA VELOCIDADE DO SATELITE
4480      Z
4490      TYQ0A:="VELOCI";
4500      TYQ1A:="DADE D";
4510      TYQ2A:="O SATE";
4520      TYQ3A:="LITE (";
4530      TYQ4A:="GRAUS/";
4540      TYQ5A:="(S) ";
4550      CURVA(JF,T,WS,IX,TY);
4560      GRAFI(JF,T,WS,IX,TY);
```

```
4570 REGSA:=4;  
4580 X  
4590 Z          GRAFICO DA POSICAO ANGULAR DO SATELITE  
4600 X  
4610 TY90A:="DESVIDO";  
4620 TY91A:=" DO SA";  
4630 TY92A:="TELITE";  
4640 TY93A:=" (GRAU";  
4650 TY94A:="S)    ";  
4660 TY95A:=0;  
4670 CURVA(JF,T,FIS,IX,IY);  
4680 GRAFI(JF,T,FIS,IX,IY);  
4690 END.
```

VALVULA (02/26/87)

```
1000 $SET AUTOSIND
1010 $BIND = FROM OBJECT/ZERO,(ORBAT)GRAF,ROTINAS/PLOTTER1051/=
1020 $BIND YCX FROM OBJECT/INTERPCL
1030 $BIND INTEGRA FROM OBJECT/INTEGRACAO
1040 $USE RA FOR /CURT1/
1050 $USE RE FOR /GRACO/
1060 $USE NS FOR /GRACA/
1070 $USE TTE FOR /TITUL/
1080 BEGIN
1090 FILE LEIA(KIND=REMOTE) , ESCRVA(KIND=REMOTE) ,
1100     IMPRIMA(KIND=PRINTER);
1110 FILE ARQMI(KIND=DISK,TITLE="ARQMI.",FILETYPE=7);
1120 FILE MAG(KIND=DISK,TITLE="MAG.",FILETYPE=7);
1130 FILE BOCAL(KIND=DISK,TITLE="BOCAL.",FILETYPE=7);
1140 FILE EMP(KIND=DISK,TITLE="EMP.",FILETYPE=7);
1150 REAL D1,D2,D3,D4,S1,S2,SEQ,RLI,RLE,KR,K61,KR,E1,E2,E3,E4,EC,H,V,
1160     ZI,ZF,DZ,MIO,PI,XO,XM,LM,VM,SM,Q,L61,V61,S61,G1,G2,G3,B61,BM,
1170     FAB,DI,R,ZMAX,ZMIN,MCUR,AE,AS,OH,K,SOMA,LX,LI,K1,AV,ME,MS,MC,PC,
1180     POA,PAT,PE,PA,FS,ROS,RGAS,CP,IE,TC,TS,PCE,POS,VE,VS,EF,XA1,XA2,DE,
1190     AG,DG,DS,KF,DFIU,DTS,KM,LB,DV,FERP,FPRP,PRE,ETA,ZETA,MA,FATOR,
1200     INT1,INT2,INT12,INT22;
1210 INTEGER J,J1,J2,J3,J4,J5,JA,JF,NE,ND,NM,NDIV,JX,MAT,DEC,ITMAX;
1220 ARRAY RA,REQ1:30A, XX,Z1,Z2,BB1,BB2,CC1,CC2,DD1,DD2QC:40A,
1230     DADOQ1:20A, I,FM,I,XV,FE,FMO,FP,MI61,B2,RR,R61,LQ-1:1700A,
1240     B1,MIPQC:3400A, YAQ1:3,C:1700A, REQ-1:5100A, FRESQ-1:6800A;
1250 ALPHA ARRAY TY,TYQC:10A,NMFCQ1-20A,TIECO:50A;
1260 INIEGER ARRAY VAR,NPQ1:20A,NSQ1:50A;
1270 LABEL AA,BB,AC,AD;
1280 PROCEDURE INTEGRAC(NEQN,X,Y,DY,II,H,FIM);
1290     INTEGER NEQN,II;
1300     REAL H;
1310     ARRAY YQ*A, YQ**A;
1320     REAL PROCEDURE DY;
1330     BOOLEAN PROCEDURE FIM;
1340     EXTERNAL;
1350 PROCEDURE CURVA(N,X,Y,IX,TY);
1360     INTEGER N;
1370     ARRAY X,YQ*A;
1380     ALPHA ARRAY IX,TYQ*A;
1390     EXTERNAL;
1400 PROCEDURE GRAFI(N,X,Y,IX,TY);
1410     INTEGER N;
1420     ARRAY X,YQ*A;
1430     ALPHA ARRAY IX,TYQ*A;
1440     EXTERNAL;
1450 REAL PROCEDURE YCX(XO,X,Z,B,C,D,N,JX);
1460     REAL XO;
1470     INTEGER N,JX;
1480     ARRAY X,Z,B,C,DQ*A;
1490     EXTERNAL;
1500 REAL PROCEDURE MI(BM);
1510     REAL BM;
1520     BEGIN
1530     MI:=YCX(BM,XX,Z1,BB1,CC1,DD1,NPQPATA,JX)*MIO;
1540     END;
1550 REAL PROCEDURE DMI(BM);
1560     REAL BM;
```

```

1570 BEGIN
1580 REAL F8;
1590 DMI:=YCX(BM,XX,ZZ,BB2,CC2,DD2,NP&MATA,JX)*MIO;
1600 END;
1610 REAL PROCEDURE F(B);
1620 REAL B;
1630 BEGIN
1640 REAL AUX,BA;
1650 Q:=RLI/(RLI+RLE+K61/MI(B));
1660 BA:=SM/S61*Q*B;
1670 AUX:=KR/MI(B)+RLI*(RLE+K61/MI(BA))/(RLI+RLE+K61/MI(BA));
1680 F:=KB/AUX - B;
1690 END;
1700 REAL PROCEDURE GN(M);
1710 REAL M;
1720 BEGIN
1730 GM:=K1*(1+(K-1)/2*M*M)**EP/M - KF;
1740 END;
1750 REAL PROCEDURE DGM(M);
1760 REAL M;
1770 BEGIN
1780 DGM:=K1*(M*M-1)/K**2*(1+(K-1)/2*M*M)**(EP-1);
1790 END;
1800 PROCEDURE RAIZ(X,VA,F,KF,XO,XM,PRE,ITMAX);
1810 REAL X,XO,XM,KF,PRE;
1820 INTEGER ITMAX;
1830 ALPHA VA;
1840 REAL PROCEDURE F;
1850 EXTERNAL;
1860 PROCEDURE RAIZNE(X,F,DF,KF,XO,PRE,ITMAX);
1870 REAL X,XO,KF,PRE;
1880 INTEGER ITMAX;
1890 REAL PROCEDURE F,DF;
1900 EXTERNAL;
1910 REAL PROCEDURE DY(Y,X,Y,J);
1920 INTEGER M,J;
1930 ARRAY Y9*Y, Y9*,*X;
1940 BEGIN
1950 IF FM9JA EQL 0 THEN
1960 BEGIN
1970 KB:=NE*ABS(Y91,JA)/SM;
1980 IF J1 EQL 0 THEN
1990 Y93,JA:=ZMAX
2000 ELSE
2010 IF J3 GTR 0 AND J5 EQL 0 THEN
2020 Y93,JA:=ZMIN;
2030 RLE:=Y93,JA/(MIC*SEQ);
2040 RAIZ(BM,"BM",F,FM,XO,XM,PRE,ITMAX);
2050 B61:=BM*Q*SM/S61;
2060 B19JA:=BM;
2070 B29JA:=B61;
2080 MIM9JA:=MI(BM)/MIO;
2090 MI619JA:=MI(B61)/MIO;
2100 RR9JA:=KR/(MIM9JA*MIO);
2110 R619JA:=K61/(MI619JA*MIO);
2120 RE99JA:=RR9JA + Q*(RLE+R619JA);
2130 L9JA:=NE*NE/RE99JA;
2140 G1:=1 - KR*NE*Y91,JA*DMI(BM)/(SM*(RE99JA*MI(BM))**2);
2150 G2:=Q*Q*K61*NE*Y91,JA*MI(B61) / (S61*RE99JA*MI(B61)**2);
2160 G3:=1/RLI + Q/(RE99JA*G1);

```

```

2170 LX:= (Q*NE)**2/(MIO*SEQ*REQQJA**2*G1*(1-G2*G3));
2180 LI:= - NE*NE/(REQQJA*YQ1,JA)*(REQQJA*(G1-1)*(RLI-G2)
2190 -Q*RLI*G2)/(REQQJA*G1*(RLI-G2)-Q*RLI*G2);
2200 FMOQJA:=(NE*YQ1,JA*Q/REQQJA)**2/(2*MIC*SEQ);
2210 CASE SOMA OF
2220 BEGIN
2230 0: FEQJA:=XVQJA:=0;
2240 FPOJA:=-POA*AV;
2250 1:4: XVQJA:=ZMAX - YAQ3,JA;
2260 IF XVQJA GTR 0 THEN
2270 IF XVQJA GEQ AG/(PI*OV) THEN
2280 BEGIN
2290 IF SOMA EQL 1 AND FEQJ-1A LSS FERF THEN
2300 JA:=J;
2310 FEQJA:=FERF;
2320 FPOJA:=FPRP;
2330 END
2340 ELSE
2350 BEGIN
2360 IF SOMA EQL 4 AND FEQJ-1A EQL FERF THEN
2370 JF:=J;
2380 KF:=AV/(PI*OV*XVQJA);
2390 RAIZNE(MA,GM,DGM,KF,XA1,PRE,ITMAX);
2400 PA:=POA/(1+(K-1)/2*MA*MA)**(EP+0.5);
2410 RAIZNE(MC,GM,DGM,KF,XA2,PRE,ITMAX);
2420 POE:=POA*ZETA;
2430 PC:=POE/(1+(K-1)/2*MC*MC)**(EP+0.5);
2440 KF:=AS/(PI*OV*XVQJA);
2450 RAIZNE(MS,GM,DGM,KF,XA2,PRE,ITMAX);
2460 PS:=PCE/(1+(K-1)/2*MS*MS)**(EP+0.5);
2470 TS:=T0/(1+(K-1)/2*MS*MS);
2480 VS:=MS*SQRT(K*RGAS*TS) * SQRT(ETA);
2490 MS:=VS / SQRT(K*RGAS*T0 - (K-1)/2 *VS*VS);
2500 TS:=T0/(1 + (K-1)/2 *MS*MS);
2510 ROS:=PS/(RGAS*TS);
2520 DM:=RCS*VS*AS;
2530 FPOJA:=(PC-PA)*AV;
2540 FEQJA:=LB*DM*VS + (PS-PAT)*AS;
2550 END
2560 ELSE
2570 BEGIN
2580 FEQJA:=0;
2590 FPOJA:=-POA*AV;
2600 END;
2610 2:3: XVQJA:=ZMAX-ZMIN;
2620 FEQJA:=FERF;
2630 FPOJA:=FPRP;
2640 END;
2650 FMOQJA:=-FAB - KY*XVQJA;
2660 FRESQJA:=FMOQJA + FMOQJA + FPOJA;
2670 IF YAQ1,JA LEQ 0 THEN
2680 WRITE(ESCREVA,</, "J = ",I3,X5,"I = ",E10.3,X3,"FK = ",E9.3,/,
2690 "BY = ",E9.3,X5,"B61 = ",E9.3>,J,YAQ1,JA,FMOQJA,BM,B61);
2700 END;
2710 CASE K OF
2720 BEGIN
2730 1: DY:=(V - (R-LX*YQ2,JA) * YQ1,JA) / (LQJA + LI * YQ1,JA);
2740 2: DY:=-FRESQJA/MCOUR;
2750 3: DY:=YQ2,JA;
2760 END;

```



```
2770     END;
2780     PROCEDURE PLOT(A,B,C);
2790     REAL A,B;
2800     INTEGER C;
2810     EXTERNAL;
2820     BOOLEAN PROCEDURE FIM1(J);
2830     INTEGER J;
2840     BEGIN
2850     FIM1:=FALSE;
2860     IF FRESQJA GTR 0 OR TQJA GTR DTS THEN
2870     FIM1:=TRUE;
2880     END;
2890     BOOLEAN PROCEDURE FIM2(J);
2900     INTEGER J;
2910     BEGIN
2920     FIM2:=FALSE;
2930     IF YAQ3,JA LSS ZMIN OR TQJA GTR DTS THEN
2940     FIM2:=TRUE;
2950     END;
2960     BOOLEAN PROCEDURE FIM3(J);
2970     INTEGER J;
2980     BEGIN
2990     FIM3:=FALSE;
3000     IF TQJA GTR DTS OR YAQ1,JA GEQ 0.994*V/R THEN
3010     FIM3:=TRUE;
3020     END;
3030     BOOLEAN PROCEDURE FIM4(J);
3040     INTEGER J;
3050     BEGIN
3060     FIM4:=FALSE;
3070     IF FRESQJ-1A LSS 0 THEN
3080     FIM4:=TRUE;
3090     END;
3100     BOOLEAN PROCEDURE FIM5(J);
3110     INTEGER J;
3120     BEGIN
3130     FIM5:=FALSE;
3140     IF YAQ3,JA GEQ ZMAX THEN
3150     FIM5:=TRUE;
3160     END;
3170     BOOLEAN PROCEDURE FIM6(J);
3180     INTEGER J;
3190     BEGIN
3200     FIM6:=FALSE;
3210     IF YAQ1,JA LSS 12-3 THEN
3220     FIM6:=TRUE;
3230     END;
3240     X
3250     X           INICIO DAS LEITURAS
3260     X
3270     REWIND (BOCAL);
3280     READ(BOCAL,/,DG,DS,DE,POA,TO,K,RGAS,ETA);
3290     CP:=K*RGAS/(K-1);
3300     REWIND (MAG);
3310     ND:=1;
3320     FOR J:=1 STEP 1 UNTIL ND DO
3330     READ(MAG,<X1,A4,X5,E11.4>,NOMEQJA,DADQJA);
3340     BB: WRITE(ESPEVA,<X10,"INDIGUE O NUMERO DO MATERIAL ",
3350     "(1 , 2 OU 3)">);
3360     READ(LEIA,/,MAT);
```

```
3370 WRITE(IMPRIMA,</,X20,"MATERIAL ",I2,///>,MAT);
3380 READ(CARQMIQOJA,/,NPQ1JA);
3390 FOR J:=2 STEP 1 UNTIL MAT DO
3400 BEGIN
3410 INTEGER AUX;
3420 AUX:=0;
3430 FOR J1:=1 STEP 1 UNTIL J-1 DO
3440 AUX:=AUX + 2*NPQJ1A + 1;
3450 READ(CARQMISAUXA,/,NPQJA);
3460 END;
3470 FOR J:=0 STEP 1 UNTIL NPQMATA-1 DO
3480 READ(CARQMI,/,XXQJA,Z1QJA,8B1QJA,CC1QJA,DD1QJA);
3490 FOR J:=0 STEP 1 UNTIL APQMATA-1 DO
3500 READ(CARQMI,/,XXQJA,Z2QJA,8B2QJA,CC2QJA,DD2QJA);
3510 WRITE(ESCREVA,</,X17,"INDIQUE QUANTAS DAS SEGUINTE VARIAVEIS",/,
3520 X16,"DESEJA MUDAR , SEGUNDO NUMERACAO A SEGUIR:",/,
3530 X17,"NUMERO",X7,"GRANDEZA",X7,"VALOR ATUAL",/,
3540 *(/,X18,I3,X12,A3,X8,E11.4)>,
3550 ND, FOR J:=1 STEP 1 UNTIL ND DO QJ,NOMEQJA,DADOQJA);
3560 AA: READ(LEIA,/,NM);
3570 IF NM NEQ 0 THEN
3580 IF NM LSS 0 OR NM GTR ND THEN
3590 BEGIN
3600 WRITE(ESCREVA,</,X15,"NUMERO ERRADO; DIGITE-O NOVAMENTE.">);
3610 GO TO AA;
3620 END
3630 ELSE
3640 BEGIN
3650 WRITE(ESCREVA,</,X15,"INDIQUE QUAIS DESEJA MUDAR.">);
3660 READ(LEIA,/, FOR J:=1 STEP 1 UNTIL NM DO VARQJA);
3670 WRITE(ESCREVA,</,X15,"FORNECA OS NOVOS VALORES.">);
3680 FOR J:=1 STEP 1 UNTIL NM DO
3690 BEGIN
3700 WRITE(ESCREVA,</,X10,A4>,NOMEVARYJAA);
3710 READ(LEIA,/,DADOQVARQJA);
3720 END;
3730 REWIND (MAG);
3740 FOR J:=1 STEP 1 UNTIL ND DO
3750 WRITE(MAG,<X1,A4,X5,E11.4>,NOMEQJA,DADOQJA);
3760 LOCK (MAG);
3770 END;
3780 FOR J:=1 STEP 1 UNTIL ND DO
3790 WRITE(IMPRIMA,<X15,A4," = ",E11.4>,NOMEQJA,DADOQJA);
3800 Z
3810 PRE:=12-4;
3820 PI:=ARCCOS(-1);
3830 LB:=(1 + COS(PI/12)) / 2;
3840 AE:=PI*DE*DE/4;
3850 AG:=PI*DG*DG/4;
3860 AS:=PI*DS*DS/4;
3870 MIO:=PI*42-7;
3880 YAG1,OA:=12-6;
3890 V:=DADOQ1A;
3900 E1:=DADOQ2A;
3910 E2:=DADOQ3A;
3920 E3:=DADOQ4A;
3930 E4:=DADOQ5A;
3940 EC:=DADOQ6A;
3950 D1:=DADOQ7A;
3960 D2:=DADOQ8A;
```

```
3970 D3:=DAD0Q9A;
3980 D4:=DAD0Q10A;
3990 H:=DAD0Q11A;
4000 ZMAX:=DAD0Q12A;
4010 ZMIN:=DAD0Q13A;
4020 DV:=DAD0Q14A;
4030 MCUR:=DAD0Q15A;
4040 DFIO:=DAD0Q16A;
4050 FAB:=DAD0Q17A;
4060 KM:=DAD0Q18A;
4070 ZETA:=DAD0Q19A;
4080 Z
4090 Z          INICIO DOS CALCULOS
4100 Z
4110 AV:=PI/4 * DV*DV;
4120 S1:=PI/4*(D2*D2-D1*D1);
4130 S2:=PI/4*(D4*D4-D3*D3);
4140 SEQ:=S1*S2/(S1+S2);
4150 LM:=2*H+E1+E4+EC-E2+3/4*(D4-D1)-(D3-D2)/4;
4160 VM:=PI/4*(4*H*(EC*(D4+EC)+E2*(D1+E2))+(E1+E4)*((D4+2*EC)**2-
4170 D1*D1)-E1/4*((D3+D4)**2-(D1+D2)**2));
4180 SM:=VM/LM;
4190 L61:=E1+E3 + (D3+D4-D1-D2)/4;
4200 V61:=PI/4*((D4*D4-D1*D1)*(E1+E3) - E1*(D3*D3-D2*D2));
4210 S61:=V61/L61;
4220 NE:=0.9*H*(D4-D1-2*E2)/(2*DFIO*DFIO);
4230 R:=3.4482-8 * NE *(D4+D1+2*E2)/DFIO**2;
4240 RLI:=LN(D3/D2) / (2*PI*M10*E1);
4250 KR:=1/(2*PI) * (1/E1*LN((D4+EC)*(D1+D2)/((D1+E2)*(D3+D4)))+
4260 1/E4*LN((D4+EC)/(D1+E2)) + (2*H+E1+E4)*(1/(EC*(D4+EC))+
4270 1/(E2*(D1+E2))));
4280 K61:=((E1+E3)/SEQ+LN((D3+D4)/(D1+D2))/(PI*E3))/2;
4290 EP:=(K+1)/(2*K-2);
4300 Z
4310 Z
4320 WRITE(ESCREVA,<///,X6,"R = ",F8.3,X10,"NE = ",I6,X10,"RI = ",
4330 E10.3,///,X4,"KM = ",E10.3,X8,"K61 = ",E10.3,X8,"SEQ = ",
4340 E10.3,///,"SM = ",E10.3,X3,"S61 = ",E10.3,X3,"LM = ",E10.3,
4350 X3,"L61 = ",E10.3>,"R,NE,RLI,KR,K61,SEQ,SM,S61,LM,L61));
4360 WRITE(IMPRESA,<///,X8,"R = ",F8.3,X10,"NE = ",I6,X10,"RI = ",
4370 E10.3,///,X4,"KM = ",E10.3,X8,"K61 = ",E10.3,X8,"SEQ = ",
4380 E10.3,///,"SM = ",E10.3,X3,"S61 = ",E10.3,X3,"LM = ",E10.3,
4390 X3,"L61 = ",E10.3>,"R,NE,RLI,KR,K61,SEQ,SM,S61,LM,L61));
4400 Z
4410 WRITE(LSCREVA,<///,X15,"FORNECA OS VALORES DE DT E DTS">);
4420 READ(LEIA,/,DT,DTS);
4430 Z
4440 WRITE(ESCREVA,<///,X15,"INDIQUE O FATOR DE AMPLIACAO DCS ",
4450 "GRAFICOS">);
4460 READ(LEIA,/,REQ11A);
4470 ITMAX:=600;
4480 XC:=12-9;
4490 XM:=XXGNPQMATA-1A+C.999;
4500 XA1:=43-7;
4510 XA2:=4;
4520 Z
4530 Z          CALCULO DO EMPUXO DE REGIME PERMANENTE
4540 Z
4550 POE:=POA*ZETA;
4560 KF:=AE/AG;
```

```
4570 RAIZNE(ME,GM,DGM,KF,XA1,PRE,ITMAX);
4580 PE:=POE/(1 + (K-1)/2*ME*ME)**(EP+0.5);
4590 KF:=AS/AG;
4600 RAIZNE(MS,GM,DGM,KF,XA2,PRE,ITMAX);
4610 TE:=T0/(1 + (K-1)/2*ME*ME);
4620 TS:=T0/(1 + (K-1)/2*MS*MS);
4630 PS:=POE/(1 + (K-1)/2*MS*MS)**(EP+0.5);
4640 VS:=SQRT((2*CP*(TE-TS) + ME*ME*(K*RGAS*TE))*ETA);
4650 TS:=TE - (VS**2 - ME**2*(K*RGAS*TE))/(2*CP);
4660 ROS:=PS/(RGAS*TS);
4670 DM:=ROS*VS*AS;
4680 KF:=AV/AG;
4690 RAIZNE(MC,GM,DGM,KF,XA1,PRE,ITMAX);
4700 FPRP:=AV*(POE-POA)/(1+(K-1)/2*MC*MC)**(EP+0.5);
4710 FERP:=LB*DM*VS + (PS-PAT)*AS;
4720 WRITE(ESCREVA,<///,X20,"FERP = ",E10.3," N", /, X20,"FPRP = ",
4730 E10.3," N", /, X20,"FPO = ",E11.3," N",//>,FERP,FPRP,-POA*AV);
4740 WRITE(IMPRIMA,<///,X20,"FERP = ",E10.3," A", /, X20,"FPRP = ",
4750 E10.3," N", /, X20,"FPO = ",E11.3," N",//>,FERP,FPRP,-POA*AV);
4760 Z
4770 Z           INTEGRACAO DA 1. FASE
4780 Z
4790 J1:=0;
4800 SOMA:=0;
4810 INTEGRA(1,T,YA,DY,J1,DT,FIM1);
4820 IF TQJ1A LEQ DTS THEN
4830 BEGIN
4840 FATOR:= -FRESQJ1-1A / (FRESQJ1A-FRESQJ1-1A);
4850 TQJ1A:=TQJ1-1A + DT*FATOR;
4860 YAQ1,J1A:=YAQ1,J1-1A + (YAQ1,J1A-YAQ1,J1-1A) *FATOR;
4870 FMQJ1A:=FAB + POA*AV;
4880 FPQJ1A:=FPQJ1-1A;
4890 FRESQJ1A:=0;
4900 VAGZ, J1Z:=ZMAX;
4910 WRITE(ESCREVA,<///,X10,"J1 = ",I4,X9,"T = ",F6.2," MS",X10,
4920 "X = ",F6.3," MM",//,X10,"I = ",F6.3," A",X7,"FM = ",F6.2,
4930 " N",X10,"FRES = ",F6.2," A">,J1,TQJ1A*1000,XVQJ1A*1000,
4940 YAQ1,J1A,FMQJ1A,FRESQJ1A);
4950 Z
4960 Z           INTEGRACAO DA 2. FASE
4970 Z
4980 J2:=J1;
4990 DT:=DT/4;
5000 SOMA:=1;
5010 INTEGRA(3,T,YA,DY,J2,DT,FIM2);
5020 IF TQJ2A GTR DTS THEN
5030 BEGIN
5040 FATOR:= (DTS - TQJ2-1A)/DT;
5050 YAQ1,J2A:=YAQ1,J2-1A + (YAQ1,J2A-YAQ1,J2-1A) *FATOR;
5060 YAQ2,J2A:=YAQ2,J2-1A + (YAQ2,J2A-YAQ2,J2-1A) *FATOR;
5070 YAQ3,J2A:=YAQ3,J2-1A + (YAQ3,J2A-YAQ3,J2-1A) *FATOR;
5080 XVQJ2A:=ZMAX - YAQ3,J2A;
5090 REQJ2A:=REQJ2-1A + (REQJ2A - REQJ2-1A) *FATOR;
5100 LQJ2A:=LQJ2-1A + (LQJ2A - LQJ2-1A) *FATOR;
5110 FMQJ2A:=FMQJ2-1A + (FMQJ2A - FMQJ2-1A) *FATOR;
5120 FRESQJ2A:=FRESQJ2-1A + (FRESQJ2A - FRESQJ2-1A) *FATOR;
5130 FEQJ2A:=FERP;
5140 TQJ2A:=DTS;
5150 WRITE(ESCREVA,<///,X10,"J2 = ",I4,X9,"T = ",F6.2," MS",X10,
5160 "X = ",F6.3," MM",//,X10,"I = ",F6.3," A",X7,"FM = ",F6.2,
```

```
5170      * N",X10,"FRES = ",F6.2," N">,J2,TQJ2A*1000,XVQJ2A*1000,
5180      YAQ1,J2A,FMQJ2A,FRESQJ2A);
5190      V:=0;
5200      J5:=J2;
5210      GO TO AD;
5220      END
5230
5240      ELSE
5250      BEGIN
5260      FATOR:=(ZMIN - YAQ3,J2-1A)/(YAQ3,J2A/YAQ3,J2-1A);
5270      TQJ2A:=TQJ2-1A +DT*FATOR;
5280      YAQ1,J2A:=YAQ1,J2-1A + (YAQ1,J2A-YAQ1,J2-1A) * FATOR;
5290      FMQJ2A:=FMQJ2-1A + (FMQJ2A-FMQJ2-1A) * FATOR;
5300      REQJ2A:=REQJ2-1A + (REQJ2A - REQJ2-1A) *FATOR;
5310      LQJ2A:=LQJ2-1A + (LQJ2A - LQJ2-1A) *FATOR;
5320      FRESQJ2A:=FRESQJ2-1A + (FRESQJ2A-FRESQJ2-1A) * FATOR;
5330      YAQ2,J2A:=0;
5340      YAQ3,J2A:=ZMIN;
5350      XVQJ2A:=ZMAX - ZMIN;
5360      WRITE(ESCREVA, <///,X10,"J2 = ",I4,X9,"T = ",F6.2," MS",X10,
5370      "X = ",F6.3," MM",/,X10,"I = ",F6.3," A",X7,"FM = ",F6.2,
5380      " N",X10,"FRES = ",F6.2," N">,J2,TQJ2A*1000,XVQJ2A*1000,
5390      YAQ1,J2A,FMQJ2A,FRESQJ2A);
5400      WRITE(ESCREVA, <X10,"BM = ",E10.3,X5,"B61 = ",E10.3,/,X10,
5410      "MIM = ",E10.3,X10,"MI61 = ",E10.3>,BM,B61,MIMQJ2A,MI61QJ2A);
5420      X
5430      X
5440      X
5450      INIEGRACAO DA 3. FASE
5460      J3:=J2;
5470      DT:=4*DT;
5480      SDMA:=2;
5490      INTEGRA(1,I,YA,DY,J3,DT,FIM3);
5500      IF TQJ3 > 1000 THEN
5510      BEGIN
5520      YAQ1,J3A:=(YAQ1,J3-1A + V/R)/2;
5530      YAQ1,J3+1A:=V/R;
5540      YAQ2,J3+1A:=0;
5550      YAQ3,J3A:=YAQ3,J3+1A:=ZMIN;
5560      TQJ3+1A:=DTS;
5570      XVQJ3+1A:=XVQJ3A:=ZMAX - ZMIN;
5580      FMQJ3+1A:=FMQJ3A;
5590      FMOQJ3+1A:=FMOQJ3A;
5600      FPQJ3+1A:=FPQJ3A;
5610      FRESQJ3+1A:=FRESQJ3A;
5620      LQJ3+1A:=LQJ3A;
5630      B1QJ3+1A:=B1QJ3A;
5640      B2QJ3+1A:=B2QJ3A;
5650      MIMQJ3+1A:=MIMQJ3A;
5660      MI61QJ3+1A:=MI61QJ3A;
5670      RRQJ3+1A:=RRQJ3A;
5680      R61QJ3+1A:=R61QJ3A;
5690      REQJ3+1A:=REQJ3A;
5700      FERQJ3+1A:=FERP;
5710      END
5720      ELSE
5730      BEGIN
5740      FATOR:= (DTS-TQJ3-1A)/DT;
5750      YAQ1,J3A:=YAQ1,J3-1A + (YAQ1,J3A-YAQ1,J3-1A) * FATOR;
5760      YAQ2,J3A:=0;
5770      YAQ3,J3A:=ZMIN;
5780      XVQJ3A:=ZMAX - ZMIN;
```

```
5750      FMQJ3A:=FMQJ3-1A + (FMQJ3A - FMQJ3-1A)* FATOR;
5760      FRESQJ3A:=FRESQJ3-1A + (FRESQJ3A - FRESQJ3-1A)* FATOR;
5770      TQJ3A:=DIS;
5780      END;
5790      XVQJ3A:=ZMAX - ZMIN;
5800      WRITE(ESCREVA,<///,X10,"J3 = ",I4,X9,"T = ",F6.2," MS",X10,
5810      "X = ",F6.3," MM",/,X10,"I = ",F6.3," A",X7,"FM = ",F6.2,
5820      " N",X10,"FRES = ",F6.2," N">,J3,TQJ3A*1000,XVQJ3A*1000,
5830      YAQ1,J3A,FMQJ3A,FRESQJ3A);
5832      WRITE(ESCREVA,<X10,"BM = ",E10.3,X5,"861 = ",E10.3,/,X10,
5834      "MIM = ",E10.3,X10,"MI61 = ",E10.3>,BM,861,MIMQJ3A,MI61QJ3A);
5840      J4:= IF TQJ3A LSS DTS THEN J3+1 ELSE J3;
5850      END;
5860      Z
5870      Z           INTEGRACAO DA 4. FASE
5880      Z
5890      V:=0;
5900      SOMA:=3;
5910      INTEGRAC(1,I, YA,DY,J4,DT,FIM4);
5920      J5:=J4:=J4-1;
5930      FATOR:= -FRESQJ1-1A / (FRESQJ1A-FRESQJ1-1A);
5940      YAQ1,J4A:=YAQ1,J4-1A + (YAQ1,J4A-YAQ1,J4-1A) *FATOR;
5950      TQJ4A:=TQJ4-1A + DT *FATOR;
5960      FMQJ4A:=FAB + KM*(ZMAX-ZMIN) + FPRP;
5970      FRESQJ4A:=0;
5980      XVQJ4A:=ZMAX - ZMIN;
5990      YAQ3,J4A:=ZMIN;
6000      WRITE(ESCREVA,<///,X10,"J4 = ",I4,X9,"T = ",F6.2," MS",X10,
6010      "X = ",F6.3," MM",/,X10,"I = ",F6.3," A",X7,"FM = ",F6.2,
6020      " N",X10,"FRES = ",F6.2," N">,J4,TQJ4A*1000,XVQJ4A*1000,
6030      YAQ1,J4A,FMQJ4A,FRESQJ4A);
6040      Z
6050      Z           INTEGRACAO DA 5. FASE
6060      Z
6070      AD: DT:=DT/4;
6080      SOMA:=4;
6090      INTEGRAC(3,T, YA,DY,J5,DT,FIM5);
6100      FATOR:= (ZMAX-YAQ3,J5-1A)/(YAQ3,J5A-YAQ3,J5-1A);
6110      YAQ1,J5A:=YAQ1,J5-1A + (YAQ1,J5A - YAQ1,J5-1A) *FATOR;
6120      FMQJ5A:=FMQJ5-1A + (FMQJ5A - FMQJ5-1A) *FATOR;
6130      FPQJ5A:= -PA*AV;
6140      FRESQJ5A:= FMQJ5A -FAB + FPQJ5A;
6150      TQJ5A:= TQJ5-1A + DT* FATOR;
6160      YAQ3,J5A:=ZMAX;
6170      XVQJ5A:=0;
6180      WRITE(ESCREVA,<///,X10,"J5 = ",I4,X9,"T = ",F6.2," MS",X10,
6190      "X = ",F6.3," MM",/,X10,"I = ",F6.3," A",X7,"FM = ",F6.2,
6200      " N",X10,"FRES = ",F6.2," N">,J5,TQJ5A*1000,XVQJ5A*1000,
6210      YAQ1,J5A,FMQJ5A,FRESQJ5A);
6220      WRITE(ESCREVA,<///,X10,"RELACAO DOS TEMPOS PRINCIPAIS EM MS.",/,/,
6230      X5,"TAA = ",F6.2,X10,"TFA = ",F6.2,X10,"TRP = ",F6.2,/,/,
6240      X5,"DIS = ",F6.2,X10,"TAF = ",F6.2,X10,"TFF = ",F6.2>,
6250      TQJ1A*1000,TQJ2A*1000,TQJ3-1A*1000,DTS*1000,(TQJ4A-DTS)*
6260      1000,(TQJ5A-DTS)*1000);
6270      WRITE(IMPRESSA,<///,X10,"RELACAO DOS TEMPOS PRINCIPAIS EM MS.",/,/,
6280      X5,"TAA = ",F6.2,X10,"TFA = ",F6.2,X10,"TRP = ",F6.2,/,/,
6290      X5,"DIS = ",F6.2,X10,"TAF = ",F6.2,X10,"TFF = ",F6.2>,
6300      TQJ1A*1000,TQJ2A*1000,TQJ3-1A*1000,DTS*1000,(TQJ4A-DTS)*
6310      1000,(TQJ5A-DTS)*1000);
6320      END
```

```
6330                                     ELSE
6340 BEGIN
6350 FATOR:= (DTS-TQJ1-1A)/DT;
6360 YAQ1,J1A:=YAQ1,J1-1A + (YAQ1,J1A-YAQ1,J1-1A) *FATOR;
6370 YAQ2,J1A:=0;
6380 FMQJ1A:=FMQJ1-1A + (FMQJ1A - FMQJ1-1A) *FATOR;
6390 FRESQJ1A:= FPGJ1A -FAB -PA*AV;
6400 TQJ1A:=DTS;
6410 WRITE(ESCREVA,<///,X10,"J1 = ",I4,X9,"T = ",F6.2," MS",X10,
6420 "X = ",F6.3," MM",/,X10,"I = ",F6.3," A",X7,"FM = ",F6.2,
6430 " N",X10,"FRES = ",F6.2," N">,J1,TQJ1A*1000,XVQJ1A*1000,
6440 YAQ1,J1A,FMQJ1A,FRESQJ1A);
6450 J5:=J1;
6460 J1:=0;
6470 V:=0;
6480 INTEGRA(1,I, YA, DY, J5, DT, FIM6);
6490 WRITE(ESCREVA,<///,X10,"J5 = ",I4,X9,"T = ",F6.2," MS",X10,
6500 "X = ",F6.3," MM",/,X10,"I = ",F6.3," A",X7,"FM = ",F6.2,
6510 " N",X10,"FRES = ",F6.2," N">,J5,TQJ5A*1000,XVQJ5A*1000,
6520 YAQ1,J5A,FMQJ5A,FRESQJ5A);
6530 END;
6540 AC: FOR J:=0 STEP 1 UNTIL J5 DO
6550 BEGIN
6560 IQJA:=YAQ1,JA;
6570 MIMQJ5+J+1A:=M161QJA;
6580 B1QJ5+J+1A:=B2QJA;
6590 REQQJ5+J+1A:=RkQJA;
6600 REQQ2+J5+J+2A:=R61QJA;
6610 FRESQJ5+J+1A:=FMQJA;
6620 FRESQ2+J5+J+2A:=FPGQJA;
6630 FRESQ3+J5+J+3A:=FPGJA;
6640 FND;
6650 J5:=J5+1;
6660 Z
6670 INT1:=FERP/3 *(TQJAX - TQJ1A);
6680 INT12:=FERP/12 *(TQJAX - TQJ1A)**2;
6690 INT2:=2*FERP/3 *(TQJ5-1A - TQJFA);
6700 INT22:=5*FERP/12 *(TQJ5-1A - TQJFA)**2;
6710 Z
6720 WRITE(ESCREVA,<///,X10,"JA = ",I4,X10,"T(JA) = ",F8.3,X10,/,X10,
6730 "JF = ",I4,X10,"T(JF) = ",F8.3,/,>,JA,IQJAA*1000,JF,IQJFA*1000);
6740 WRITE(ESCREVA,<///,X15,"INT1 = ",E12.5," N.S",/,/,
6750 X15,"INT12 = ",E12.5," N.S**2",/,/,
6760 X15,"INT2 = ",E12.5," N.S",/,/,
6770 X15,"INT22 = ",E12.5," N.S**2">,INT1,INT12,INT2,INT22);
6780 WRITE(EMP,/,TQJ1A, TQJ2A-TQJ1A, TQJ4A-DTS, TQJ5-1A-TQJ4A);
6790 WRITE(EMP,/,FERP,INT1,INT12,INT2,INT22);
6800 LOCK (EMP);
6810 Z
6820 FOR J:=0,1,2,3 DO
6830 NSQJ+1A:=J;
6840 RAQ2A:=REQ2A:=1;
6850 REQ17A:= 3;
6860 REQ10A:=1;
6870 RAQ12A:=10;
6880 TXQ0A:="TEMPO ";
6890 TXQ1A:="(S) ";
6900 Z
6910 Z GRAFICO DAS FORCAS
6920 Z
```

```
6930 RAQ1A:=REQ1A:=4;
6940 IYQ0A:="FORCAS";
6950 IYQ1A:="(N) ";
6960 ITEQ0A:="RESULT";
6970 ITEQ1A:="ANTE ";
6980 ITEQ3A:="MAGNET";
6990 ITEQ4A:="ICA ";
7000 ITEQ6A:="DA MCL";
7010 ITEQ7A:="A ";
7020 ITEQ9A:="DE PRE";
7030 ITEQ10A:="SSAO ";
7040 CURVA(J5,T,FRES,IX,IY);
7050 GRAFI(J5,T,FRES,IX,IY);
7060 Z
7070 Z          GRAFICO DA CORRENTE
7080 Z
7090 RAQ1A:=REQ1A:=1;
7100 IYQ0A:="CORREN";
7110 IYQ1A:="TE (A)";
7120 CURVA(J5,T,I,IX,IY);
7130 GRAFI(J5,T,I,IX,IY);
7140 Z
7150 Z          GRAFICO DA INDUTANCIA
7160 Z
7170 IYQ0A:="INDUTA";
7180 IYQ1A:="NCIA (";
7190 IYQ2A:="H) ";
7200 CURVA(J5,T,L,IX,IY);
7210 GRAFI(J5,T,L,IX,IY);
7220 Z
7230 Z          GRAFICO DAS RELUTANCIAS
7240 Z
7250 RAQ1A:=REQ1A:=3;
7260 IYQ0A:="RELUTA";
7270 IYQ1A:="NCIAS ";
7280 IYQ2A:="(1/H) ";
7290 ITEQ0A:="REQ ";
7300 ITEQ3A:="RR ";
7310 ITEQ6A:="R61 ";
7320 ITEQ1A:=ITEQ4A:=ITEQ7A:=0;
7330 CURVA(J5,T,REQ,IX,IY);
7340 GRAFI(J5,T,REQ,IX,IY);
7350 Z
7360 Z          GRAFICO DAS PERMEABILIDADES
7370 Z
7380 RAQ1A:=REQ1A:=2;
7390 IYQ0A:="PERMEA";
7400 IYQ1A:="BILIDA";
7410 IYQ2A:="DE REL";
7420 IYQ3A:="ATIVA ";
7430 ITEQ0A:="MIM ";
7440 ITEQ3A:="MI61 ";
7450 CURVA(J5,T,MIM,IX,IY);
7460 GRAFI(J5,T,MIM,IX,IY);
7470 Z
7480 Z          GRAFICO DAS DENSIDADES DE FLUXO
7490 Z
7500 IYQ0A:="DENSID";
7510 IYQ1A:="ADE DE";
7520 IYQ2A:="FLUXO";
```



```
7530 TYQ3A:=" (T) ";
7540 TTEQ0A:="BM ";
7550 TTEQ3A:="G61 ";
7560 CURVA(J5,T,B1,IX,TY);
7570 GRAFI(J5,T,B1,IX,TY);
7580 Z
7590 Z          GRAFICO DA ABERTURA
7600 Z
7610 RAS1A:=REG1A:=1;
7620 TYQ0A:="ABERTU";
7630 TYQ1A:="RA DA ";
7640 TYQ2A:="VALVUL";
7650 TYQ3A:="A (M) ";
7660 CURVA(J5,T,XV,IX,TY);
7670 GRAFI(J5,T,XV,IX,TY);
7680 Z
7690 Z          GRAFICO DO EMPUXO
7700 Z
7710 TYQ0A:="EMPUXO";
7720 TYQ1A:=" (N) ";
7730 TYQ2A:=TYQ3A:=C;
7740 CURVA(J5,T,FE,IX,TY);
7750 GRAFI(J5,T,FE,IX,TY);
7760 Z
7770 X0:=0.516151;
7780 XM:=0.612538;
7790 J:=999;
7800 PLOT(X0, XM, J);
7810 END.
```

ZERO (02/26/87)

```
1001  PROCEDURE RAIZ(X,VA,F,KF,XO,XM,PRE,ITMAX);
1011  REAL X,XO,XM,KF,PRE;
1021  INTEGER ITMAX;
1031  ALPHA VA;
1041  REAL PROCEDURE F;
1051  BEGIN
1061  FILE LE(KIND=RENCTE,MYUSE=IN),ESC(KIND=REMOTE,MYUSE=OUT);
1071  INTEGER N;
1081  REAL A,B,AUXA,AUXB,AUXX,DX;
1091  BOOLEAN CHAVE;
1101  LABEL BB;
1111  BB: DX:=(XM-XO)/100;
1121  A:=XO;
1131  B:=XO + DX;
1141  AUXA:=F(A);
1151  CHAVE:=TRUE;
1161  WHILE CHAVE DO
1171  IF B GTR 1.001*XM THEN
1181  CHAVE:=FALSE
1191  ELSE
1201  BEGIN
1211  AUXB:=F(B);
1221  IF AUXA*AUXB GTR 0 THEN
1231  BEGIN
1241  AUXA:=AUXB;
1251  A:=B;
1261  B:=B+DX;
1271  END
1281  ELSE
1291  CHAVE:=FALSE;
1301  END;
1311  CHAVE:=TRUE;
1321  N:=0;
1331  IF B GTR 1.001*XM THEN
1341  BEGIN
1351  WRITE(ESC,<///,X10,"A VARIAVEL ",A3," NAO POSSUI RAIZES NO ",
1361  "INTERVALO",/,Y20,"9",E10-3," * ",E10-3,"X">,VA,XO,XM);
1371  WRITE(ESC,<///,X15,"FORNECA OS NOVOS VALORES DE XO E XM">);
1381  READ(LE,/,XO,XM);
1391  GO TO BB;
1401  END
1411  ELSE
1421  WHILE CHAVE DO
1431  BEGIN
1441  N:=N+1;
1451  X:=(B*AUXA-A*AUXB)/(AUXA-AUXB);
1461  AUXX:=F(X);
1471  IF ABS(AUXX/KF) LEQ PRE OR N GTR ITMAX THEN
1481  CHAVE:=FALSE
1491  ELSE
1501  IF AUXX*AUXA LSS 0 THEN
1511  BEGIN
1521  B:=X;
1531  AUXB:=AUXX;
1541  END
1551  ELSE
1561  BEGIN
```

```
1571         A:=X;
1581         AUXA:=AUXX;
1591         END;
1601     END;
1611     IF N GIR ITMAX THEN
1621         WRITE(ESC,<///,X18,"O PROCESSO NAO CONVERGIU PARA ",A3,/,
1631         X25,"ULTIMOS VALORES:",/,X10,"A = ",E10.3,X6,"B = ",
1641         E10.3,X5,"X = ",E10.3,/,X8,"F(A) = ",E10.3,X5,"F(B) = ",
1651         E10.3,X5,"F(X) = ",E10.3,/,X10,"N = ",I4,X10,"ITMAX = ",
1661         I4>,VA,A,B,X,F(A),F(B),F(X),N,ITMAX);
1681     END;
1691 PROCEDURE RAIZNE(X,F,DF,KF,X0,PRE,ITMAX);
1701     REAL X,X0,KF,PRE;
1711     INTEGER ITMAX;
1721     REAL PROCEDURE F,DF;
1731     BEGIN
1741         FILE ESC(KIND=REPOTE);
1751         INTEGER I;
1761         BOOLEAN CHAVE;
1771         CHAVE:=TRUE;
1781         X:=X0;
1791         FOR I:=1 STEP 1 WHILE CHAVE DO
1801             IF ABS(F(X)/KF) LEC PRE OR I GIR ITMAX THEN
1811                 CHAVE:=FALSE
1821             ELSE
1831                 IF DF(X) NEO 0 THEN
1841                     X:=X - F(X)/DF(X)
1851                 ELSE
1861                     BEGIN
1871                         WRITE(ESC,<///,X10,"A DERIVADA RESULTOU NULA.">);
1881                         CHAVE:=FALSE;
1891                     END;
1901             IF I GIR ITMAX THEN
1911                 WRITE(ESC,<///,X10,"SUPERADO O NUMERO DE ITERACOES: ",
1921                 I4,/,X10,"X = ",E10.3,X5,"F(X) = ",E10.3,X5,"KF = ",
1931                 E10.3>,I,X,F(X),KF);
1941     END;
```

INTERPOL (02/26/87)

```
1002  PROCEDURE INTCUB(N,X,Y,B,C,D);
1012  INTEGER N;
1022  ARRAY X,Y,B,C,DQ*A;
1032  BEGIN
1042  INTEGER I;
1052  REAL D20,D21,D2N3,D2N4,D30,D3N4;
1062  ARRAY ALF,BEI,DEL,SIG,HQC:NA;
1072  FOR I:=0 STEP 1 UNTIL N-2 DO
1082  BEGIN
1092  HQIA:=(XQI+1A-XQIA);
1102  DELQIA:=(YQI+1A-YQIA)/HQIA;
1112  END;
1122  D20:=(DELQIA-DELQ0A) / (XQ2A-XQ0A);
1132  D21:=(DELQ2A-DELQ1A) / (XQ3A-XQ1A);
1142  D2N4:=(DELQN-3A-DELQN-4A) / (XQN-2A-XQN-4A);
1152  D2N3:=(DELQN-2A-DELQN-3A) / (XQN-1A-XQN-3A);
1162  D30:=(D21-D20) / (XQ3A-XQ0A);
1172  D3N4:=(D2N3-D2N4) / (XQN-1A-XQN-4A);
1182  ALFQ0A:=-HQA;
1192  BEIQ0A:=HQA**2*D30;
1202  FOR I:=1 STEP 1 UNTIL N-2 DO
1212  BEGIN
1222  ALFQIA:=2*(HQI-1A+HQIA) - HQI-1A**2/ALFQI-1A;
1232  BEIQIA:=(DELQIA-DELQI-1A) - HQI-1A*BEIQI-1A/ALFQI-1A;
1242  END;
1252  ALFQN-1A:=-HQN-2A* (1 + HQN-2A/ALFQN-2A);
1262  BEIQN-1A:=-HQN-2A* (HQN-2A*D3N4 + BEIQN-2A/ALFQN-2A);
1272  SIGQN-1A:=BEIQN-1A/ALFQN-1A;
1282  FOR I:=N-2 STEP -1 UNTIL 0 DO
1292  SIGQIA:=(BEQIA-HQIA*SIGQI+1A) / ALFQIA;
1302  FOR I:=0 STEP 1 UNTIL N-2 DO
1312  BEGIN
1322  BQIA:=(YQI+1A - YQIA) / HQIA - HQIA*(SIGQI+1A+2*SIGQIA);
1332  CQIA:=3*SIGQIA;
1342  DQIA:=(SIGQI+1A-SIGQIA)/HQIA;
1352  END;
1362  END;
1372  REAL PROCEDURE YCX(XD,X,Y,B,C,D,N,JX);
1382  REAL XD;
1392  INTEGER N,JX;
1402  ARRAY X,Y,B,C,DQ*A;
1412  BEGIN
1422  INTEGER I;
1432  FOR I:=0 STEP 1 WHILE I LSS N DO
1442  IF XD GEQ XQIA AND XD LEQ XQI+1A THEN
1452  BEGIN
1462  YCX:=YQIA + BQIA*(XD-XQIA) + CQIA*(XD-XQIA)**2 + DQIA*
1472  (XD-XQIA)**3;
1482  JX:=I;
1492  I:=N+1;
1502  END;
1512  END;
1522  REAL PROCEDURE INTPARAB(XD,X,Y,N);
1532  REAL XD;
1542  INTEGER N;
1552  ARRAY X,YQ*A;
1562  BEGIN
```

```
1572 REAL A0,A1,A2,Y1,Y2;
1582 INTEGER I;
1592 BOOLEAN CHAVE;
1602 CHAVE:=FALSE;
1612 FOR I:=0 STEP 1 WHILE I LSS N-1 DO
1622     IF XD GEQ XGI AND XD LEQ XGI+1A THEN
1632         BEGIN
1642             IF I EQL N-2 THEN
1652                 BEGIN
1662                     I:=I+1;
1672                     CHAVE:=TRUE;
1682                     END;
1692     X
1702     A0:= (-YGI+1A*XGI+2A**2*XGIA + YGI+1A*XGI+2A*XGIA**2
1712         + YGIA*XGI+2A**2*XGI+1A - YGIA*XGI+2A*XGI+1A**2 +
1722         XGI+1A**2*XGIA*YGI+2A - XGI+1A*XGIA**2*YGI+2A) /
1732         (XGI+2A**2*XGI+1A - XGI+2A**2*XGIA - XGI+2A*XGI+1A
1742         **2 + XGI+2A**2*XGIA**2 + XGI+1A**2*XGIA - XGI+1A*
1752         XGIA**2);
1762     X
1772     A1:= (YGI+1A*XGI+2A**2 - YGI+1A*XGIA**2 - YGIA*XGI+2A
1782         **2 + YGIA*XGI+1A**2 - XGI+1A**2*YGI+2A + XGI+1A**2*
1792         YGI+2A) / (XGI+2A**2*XGI+1A - XGI+2A**2*XGIA -
1802         XGI+2A*XGI+1A**2 + XGI+2A*XGIA**2 + XGI+1A**2*
1812         XGIA - XGI+1A*XGIA**2);
1822     X
1832     A2:= (-YGI+1A*XGI+2A + YGI+1A*XGIA + YGIA*XGI+2A -
1842         YGIA*XGI+1A + XGI+1A*YGI+2A - XGIA*YGI+2A) /
1852         (XGI+2A**2*XGI+1A - XGI+2A**2*XGIA - XGI+2A*
1862         XGI+1A**2 + XGI+2A*XGIA**2 + XGI+1A**2*XGIA -
1872         XGI+1A*XGIA**2);
1882     V
1892     Y1:= A0 + A1*XD + A2*XD**2;
1902     IF CHAVE THEN
1912         I:=N-2;
1922     IF I EQL 0 OR I EQL N-2 THEN
1932         Y2:=Y1
1942     ELSE
1952         BEGIN
1962     X
1972     A0:= (-YGIA*XGI+1A**2*XGI-1A + YGIA*XGI+1A*XGI-1A**2
1982         + YGI-1A*XGI+1A**2*XGIA - YGI-1A*XGI+1A*XGIA**2 +
1992         XGIA**2*XGI-1A*YGI+1A - XGIA*XGI-1A**2*YGI+1A) /
2002         (XGI+1A**2*XGIA - XGI+1A**2*XGI-1A - XGI+1A*XGIA
2012         **2 + XGI+1A*XGI-1A**2 + XGIA**2*XGI-1A - XGIA*
2022         XGI-1A**2);
2032     X
2042     A1:= (YGIA*XGI+1A**2 - YGIA*XGI-1A**2 - YGI-1A*XGI+1A
2052         **2 + YGI-1A*XGIA**2 - XGIA**2*YGI+1A + XGI-1A**2*
2062         YGI+1A) / (XGI+1A**2*XGIA - XGI+1A**2*XGI-1A -
2072         XGI+1A*XGIA**2 + XGI+1A*XGI-1A**2 + XGIA**2*
2082         XGI-1A - XGIA*XGI-1A**2);
2092     X
2102     A2:= (-YGIA*XGI+1A + YGIA*XGI-1A + YGI-1A*XGI+1A -
2112         YGI-1A*XGIA + YGIA*YGI+1A - XGI-1A*YGI+1A) /
2122         (XGI+1A**2*XGIA - XGI+1A**2*XGI-1A - XGI+1A*
2132         XGIA**2 + XGI+1A*XGI-1A**2 + XGIA**2*XGI-1A -
2142         XGIA*XGI-1A**2);
2152     X
2162     Y2:= A0 + A1*XD + A2*XD**2;
```

```
2172      END;  
2182      INTPARAB:=(Y1 + Y2)/2;  
2192      I:=N+1;  
2202      END;  
2212      END;
```

INTEGRACAO (02/26/87)

```
1005 PROCEDURE INTEGRAC(NEQN,X,Y,DY;II,H,FIM);
1015   INTEGER NEQN,II;
1025   REAL H;
1035   ARRAY XG*3, YG**A;
1045   REAL PROCEDURE DY;
1055   BOOLEAN PROCEDURE FIM;
1065   BEGIN
1075     INTEGER I,J,L;
1085     ARRAY E,YP,YC,AUX,A,B,CQ1:NEQN;
1095     PROCEDURE RK(NEQN,X,Y,DY,H,JJ);
1105       INTEGER NEQN,JJ;
1115       REAL H;
1125       ARRAY XG*3,YG**A;
1135       REAL PROCEDURE DY;
1145       BEGIN
1155         INTEGER J;
1165         ARRAY KQ1:4,1:12,X,Y0,Y1,Y2,Y3Q1:12,JJ:JJ,XOQJ:JJ;
1175         XOQJ:=XGJJ;
1185         FOR J:=1 STEP 1 UNTIL NEQN DO
1195           YQJ,JJ:=YGJ,JJ;
1205         FOR J:=1 STEP 1 UNTIL NEQN DO
1215           BEGIN
1225             KQ1,JJ:=DY(J,X0,Y0,JJ);
1235             Y1QJ,JJ:=YQJ,JJ + H/2*KQ1,JJ;
1245           END;
1255           XOQJ:=XOQJ + H/2;
1265           FOR J:=1 STEP 1 UNTIL NEQN DO
1275             BEGIN
1285               KQ2,JJ:=DY(J,X0,Y1,JJ);
1295               Y2QJ,JJ:=YQJ,JJ + H/2*KQ2,JJ;
1305             END;
1315             FOR J:=1 STEP 1 UNTIL NEQN DO
1325               BEGIN
1335                 KQ3,JJ:=DY(J,X0,Y2,JJ);
1345                 Y3QJ,JJ:=YQJ,JJ + H*KQ3,JJ;
1355               END;
1365               XOQJ:=XOQJ + H/2;
1375               FOR J:=1 STEP 1 UNTIL NEQN DO
1385                 BEGIN
1395                   KQ4,JJ:=DY(J,X0,Y3,JJ);
1405                   YQJ,JJ+1:=YQJ,JJ + H/6*(KQ1,JJ + 2*KQ2,JJ + 2*KQ3,JJ +
1415                     KQ4,JJ);
1425                 END;
1435               END;
1445             FOR I:=II STEP 1 WHILE I LEQ II+2 AND NOT FIM(I) DO
1455               BEGIN
1465                 RK(NEQN,X,Y,DY,H,I);
1475                 XQI+1:=XQI + H;
1485               END;
1495             FOR J:=1 STEP 1 UNTIL NEQN DO
1505               BEGIN
1515                 AUXQJ:=0;
1525                 AQJ:=DY(J,X,Y,I-2);
1535                 BQJ:=DY(J,X,Y,I-1);
1545                 CQJ:=DY(J,X,Y,I);
1555               END;
1565             FOR I:=II+3 STEP 1 WHILE NOT FIM(I) DO
```

Doc 25106187
PAC RC

```
1575 BEGIN
1585 X9I+1A:=X9IA+H;
1595 FOR J:=1 STEP 1 UNTIL NEQN DO
1605 BEGIN
1615 Y99JA:=Y9J,I-3A + H*(2*C9JA - B9JA + 2*A9JA) *4/3;
1625 Y9J,I+1A:=Y99JA + 112/121*AUX99JA;
1635 END;
1645 FOR J:=1 STEP 1 UNTIL NEQN DO
1655 BEGIN
1665 YC9JA:=(9*Y9J,I - Y9J,I-2A + 3*H*(DY(J,X,Y,I+1) +
1675 2*C9JA - B9JA)) /8;
1685 AUX99JA:=YC9JA - Y99JA;
1695 E9JA:=9/121*AUX99JA;
1705 Y9J,I+1A:=YC9JA - E9JA;
1715 A9JA:=B9JA;
1725 B9JA:=C9JA;
1735 C9JA:=DY(J,X,Y,I+1);
1745 END;
1755 END;
1765 II:=1;
1775 END;
```

5-K12-72

1967